

อภินันทนาการ



การศึกษาระบบกัดวัสดุระดับไมโครด้วยไฟฟ้าเคมี
Study of Electrochemical Micromachining

สำนักหอสมุด มหาวิทยาลัยแม่สอด	๕๗๒.๓๖
วันออกทะเบียน.....	๑๙๑๖๘
อายุทะเบียน.....	
เลขที่เอกสารที่รับ.....	

นายภานุเดช ตัวงทำ รหัส 55360772

นายจักรพงศ์ จับแสงจันทร์ รหัส 55362950

นายพฤตินัย มูลณี รหัส 55363360

ผู้
ก.๔๓/ก
๒๕๕๘

ปริญญาในพนธน์เป็นส่วนหนึ่งของการศึกษาตามหลักสูตรวิศวกรรมศาสตรบัณฑิต
สาขาวิชาวิศวกรรมเครื่องกล ภาควิชาวิศวกรรมเครื่องกล
คณะวิศวกรรมศาสตร์มหาวิทยาลัยแม่สอด
ปีการศึกษา 2558



ใบรับรองปริญญาบัตร

หัวข้อโครงการ

: การศึกษาระบบทั่วศุภะดับไมโครด้วยไฟฟ้าเคมี

ผู้ดำเนินโครงการ

: นายภาณุเดช ด้วงทำ	รหัส 55360772
: นายจักรพงศ์ จับแสงจันทร์	รหัส 55362950
: นายพุฒินัย มูลณี	รหัส 55363360

อาจารย์ที่ปรึกษาโครงการ

: ดร.สุเมธ เทมะวัฒนาชัย

อาจารย์ที่ปรึกษาร่วม

: ดร.ภนรัตน์ จันธรรม

สาขาวิชา

: วิศวกรรมเครื่องกล

ภาควิชา

: วิศวกรรมเครื่องกล

ปีการศึกษา

: 2558

คณะวิศวกรรมศาสตร์ มหาวิทยาลัยนเรศวร อนุมัติให้ปริญญาบัตรนี้เป็นส่วนหนึ่งของการศึกษาตามหลักสูตรวิศวกรรมศาสตรบัณฑิต สาขาวิชาวิศวกรรมเครื่องกล

คณะกรรมการสอบโครงการ

.....ที่ปรึกษาโครงการ
(ดร.สุเมธ เทมะวัฒนาชัย)

.....ที่ปรึกษาร่วม
(ดร.ภนรัตน์ จันธรรม)

.....กรรมการ
(ดร.พิยัพน์ เจริญสวัสดิ์)

.....กรรมการ
(อาจารย์ชูพงศ์ ช่วยเพ็ญ)

หัวข้อโครงการ	: การศึกษาระบบทัวสตูร์ดับไมโครด้วยไฟฟ้าเคมี		
ผู้ดำเนินโครงการ	: นายภานุเดช ด้วงทำ	รหัส	55360772
	: นายจักรพงศ์ จับแสงจันทร์	รหัส	55362950
	: นายพฤตินัย มูลณี	รหัส	55363360
อาจารย์ที่ปรึกษาโครงการ	: ดร.สุเมร เหมะวัฒนาชัย		
อาจารย์ที่ปรึกษาร่วม	: ดร.ภัมรัตตน์ จันธรรม		
สาขาวิชา	: วิศวกรรมเครื่องกล		
ภาควิชา	: วิศวกรรมเครื่องกล		
ปีการศึกษา	: 2558		

บทคัดย่อ

งานวิจัยนี้เป็นการอุดหนาและพัฒนาระบบทัวสตูร์ดับไมโครด้วยไฟฟ้าเคมี โดยระบบที่พัฒนาขึ้นนี้ประกอบด้วย 4 ส่วนหลักคือ (1) ระบบควบคุมการเคลื่อนที่ในระบบ X-Y ซึ่งมีความละเอียด 40 ไมโครเมตร ขับเคลื่อนด้วย stepping motors ร่วมกับ lead screws โดยควบคุมการเคลื่อนที่ผ่านไมโครคอนโทรลเลอร์ (2) ระบบควบคุมการเคลื่อนที่ในแนวแกน Z มีความละเอียด 1 ไมโครเมตร ทำได้โดยนำเครื่องทดสอบแรง UTM รุ่น H50KS มาประยุกต์ใช้เพื่อควบคุมความเร็วในการเจาะรูระดับไมโครได้อย่างเหมาะสม (3) ระบบฉีดและควบคุมสารละลายอีเล็กโทรไลต์โดยใช้ peristaltic pump ร่วมกับการควบคุมผ่านไมโครคอนโทรลเลอร์ และ (4) โปรแกรมควบคุมการทำงานของกระบวนการซึ่งพัฒนาด้วยภาษา LabVIEW โดยในการทดลองเพื่อศึกษาปัจจัยที่มีผลกระทบต่อการเจาะวัสดุด้วยไฟฟ้าเคมี ทำโดยการนำระบบที่พัฒนาขึ้นมาใช้ในการเจาะรูบนแผ่นสแตนเลสหนา 0.5 มิลลิเมตร โดยใช้แท่งอีเล็กโทรดขนาดเส้นผ่านศูนย์กลาง 550 ไมโครเมตร สารละลายอีเล็กโทรไลต์ที่ใช้มี 3 ชนิดคือ NaCl, H₂SO₄ และ NaNO₃ ซึ่งมีความเข้มข้น 0.1 โมลาร์ สำหรับปัจจัยด้านศักย์ไฟฟ้านั้นมีการปรับค่าเป็นสีระดับคือ 4.5, 6, 7.5 และ 9 โวลต์ ด้านอัตราการเคลื่อนที่ของแท่งอีเล็กโทรดแบ่งเป็น 2 ระดับคือ 10 และ 20 ไมโครเมตรต่อนาที โดยใช้กล้องจุลทรรศน์ในการประเมินขนาดของเส้นผ่านศูนย์กลาง และคุณภาพรูเจาะด้วยภาพถ่ายจากมุมมองด้านบน

ผลการทดลองบ่งชี้ว่าระบบที่พัฒนาขึ้นนี้สามารถนำมาใช้ในการเจาะรูระดับไมโครได้สำเร็จ โดยมีขนาดเส้นผ่านศูนย์กลางตั้งแต่ 363-1026 ไมโครเมตร โดยในการศึกษาปัจจัยที่มีผลต่อขนาดและคุณภาพของรูเจาะพบว่า ความต่างศักย์จะมีผลต่ออัตราการเกิดปฏิกิริยา โดยหากความต่างศักย์สูงจะทำให้ใช้เวลาในการเจาะนานอยกว่า โดยระยะเวลาที่ใช้ในกระบวนการนั้นจะส่งผลกระทบต่อขนาด

ของรูเจาะ ถ้าใช้เวลามากจะทำให้รูเจาะมีขนาดเส้นผ่านศูนย์กลางใหญ่ขึ้นด้วย การใช้อัตราเร็วในการเคลื่อนที่ของแท่งอีเล็กโทรดที่เหมาะสมนั้น จะรักษาช่องว่างระหว่างชิ้นงานกับอีเล็กโทรดให้พอเหมาะสม หากเคลื่อนที่เร็วเกินไปจะทำให้เกิดการสัมผัสกันของแท่งอีเล็กโทรดกับชิ้นงาน ทำให้ปฏิกริยาไฟฟ้าเคมีหยุด ทั้งนี้หากเคลื่อนที่ช้าจะทำให้รูเจาะมีขนาดใหญ่ขึ้นได้เนื่องจากมีเวลาในการเกิดปฏิกริยามาก ในส่วนของการเลือกใช้สารละลายพบว่า การใช้โซเดียมไนเตรทควบคู่กับการใช้ความต่างศักย์ที่ 9 โวลต์ และความเร็วในการเคลื่อนที่ของอีเล็กโทรดเป็น 10 ไมโครเมตรต่อนาทีจะทำให้ได้คุณภาพของรูเจาะดีที่สุด



Project Title	: Study of electrochemical micro machining		
Name	: Mr.Phanudate Dongtam	ID. 55360772	
	: Mr.Jukkapong Jubsangjun	ID. 55362950	
	: Mr.Phuretinai Moonnee	ID. 55363360	
Project advisor	: Dr.Sumet Heamawatanachai		
Project advisor	: Dr.Pamonrat Juntam		
Major	: Mechanical Engineering		
Department	: Mechanical Engineering		
Academic year	: 2558		

Abstract

This research is the design and development of an electrochemical micromachining system. The developed system consists of: (1) an XY motion control system with resolution of 40 μm actuated by 2 stepping motors; (2) a Z-axis motion control using a UTM model H50KS which has resolution of 1 μm ; (3) an electrolyte flow control system using 2 peristaltic pumps; and (4) a control software coding with LabVIEW program. To study the effects of machining parameters, the developed system were used to drill micro-holes on stainless steel with thickness of 0.5 mm. The tool electrode diameter was 550 μm . Three types of electrolyte (NaCl H_2SO_4 and NaNO_3) with concentration of 0.1 M were used. There were 4 steps of DC supply voltages in this experiment which were 4.5V, 6V, 7.5V and 9V. The using tool feed rates were 10 and 20 $\mu\text{m}/\text{min}$. The size and quality of holes were analyzed using a microscope.

The results from experiments reveal that the system was capable to drill micro-holes ranging from 363-1026 μm . Increment of supply voltage will increase the rate of reaction result in reducing of drilling time. The feed rate should be adjusted to a suitable value to maintain the gap between the electrode and the work piece. In case of too high feed rate, the electrode would touch the work piece, then the electrochemical reaction stop. Lower feed rate will increase the reaction time and make the drilled holes larger. In conclusion, the best quality of the drilled holes occurs using NaNO_3 as electrolyte with 9V power supply and feed rate of 10 $\mu\text{m}/\text{min}$.

กิตติกรรมประกาศ

โครงการศึกษาระบบทิวทัศน์ด้วยไฟฟ้าเคมีฉบับนี้สำเร็จได้ด้วยความอนุเคราะห์ของบุคคลหลายท่านซึ่งไม่อาจจะนำมากล่าวได้ทั้งหมด ซึ่งผู้มีพระคุณท่านแรกในกรอบพระคุณคือท่าน ดร.สุเมธ เหมะวัฒนาชัย อาจารย์ที่ปรึกษา ได้ให้ความรู้ คำแนะนำตรวจสอบและแก้ไขข้อบกพร่องต่างๆ ด้วยความอาใจใส่ทุกขั้นตอน เพื่อให้การเขียนโครงการศึกษาระบบทิวทัศน์ด้วยไฟฟ้าเคมีนี้ถูกต้องสมบูรณ์ที่สุด ท่านที่สอง ท่าน ดร.กมรรัตน์ จันธรรม อาจารย์ที่ปรึกษาร่วมที่ให้คำแนะนำในการพัฒนาโครงสร้าง

ขอขอบพระคุณกรรมการสอบ ท่านแรก ท่าน รศ.ดร.ปิยะนันท์ เจริญสวรรค์ ท่านที่สอง ท่าน อาจารย์ชูพงศ์ ช่วยเพ็ญที่ได้ให้ความรู้คำแนะนำและแก้ไขข้อบกพร่องต่างๆ ของรูปเล่มโครงการศึกษาระบบทิวทัศน์ด้วยไฟฟ้าเคมี

ขอขอบคุณหน่วยงานหลายหน่วยงานซึ่งหน่วยงานแรกของกรอบของพระคุณหน่วยวิจัยเทคโนโลยีด้านวิศวกรรมความเที่ยงตรงและการแพทย์ (PMET) ที่ได้ให้ความรู้คำแนะนำต่างๆ ห้องที่ใช้ในการทำโครงการ อุปกรณ์อำนวยความสะดวกต่างๆ หน่วยงานที่สอง คือ ภาควิชา วิศวกรรมเครื่องกลที่ได้ให้ความรู้คำแนะนำต่างๆ เทคนิคการนำเสนอรายงานปากเปล่า และเทคนิคในการใช้เครื่องมือช่าง ด้วยความอาใจใส่ทุกขั้นตอน หน่วยงานที่สาม คือ ภาควิชาวิศวกรรมอุตสาหการ สาขาวิชากรรมเคมี ที่ได้ให้สารประกอบเคมีเพื่อผสมเป็นสารละลายอีเล็กโทรไลต์

สุดท้ายนี้ผู้ศึกษาขอขอบพระคุณบิดามารดา และครอบครัว ซึ่งเปิดโอกาสให้ได้รับการศึกษา เล่าเรียน ตลอดจนเคยช่วยเหลือและให้กำลังใจผู้ศึกษาเสมอมา ผู้ศึกษาคร่ำคร่อมของพระคุณเป็นอย่างสูง ไว้ ณ โอกาสนี้

คณะผู้จัดทำโครงการ

สารบัญ

หน้า

บทคัดย่อ	๙
Abstract	๑
กิตติกรรมประกาศ	๑
สารบัญ	๒
สารบัญตาราง	๗
สารบัญกราฟ	๘
สารบัญรูป	๙
บทที่ ๑ บทนำ	๑
1.1 ความเป็นมาและความสำคัญของโครงการ	๑
1.2 วัตถุประสงค์ของการศึกษา	๒
1.3 ประโยชน์ที่คาดว่าจะได้รับ	๒
1.4 ขอบเขตของโครงการ	๓
1.5 ขั้นตอนการดำเนินงาน	๓
1.6 แผนการดำเนินงาน	๔
1.7 รายละเอียดงบประมาณตลอดโครงการ	๔
บทที่ ๒ ทฤษฎีและวรรณกรรมปริทัศน์	๕
2.1 ทฤษฎี	๕
2.1.1 สารละลายน้ำอิเล็กโทรไลต์ (Electrolyte)	๕
2.1.2 กระบวนการกัดวัสดุด้วยวิธีการทางไฟฟ้าเคมี (ECM)	๖
2.1.3 กระบวนการกัดวัสดุด้วยกระแสไฟฟ้า (EDM)	๖
2.2 วรรณกรรมปริทัศน์	๗
บทที่ ๓ วิธีการดำเนินงาน	๒๐
3.1 ศึกษาและออกแบบระบบเจาะวัสดุระดับไมโคร	๒๐

สารบัญ(ต่อ)

	หน้า
3.2 วิธีการทดลอง	25
3.2.1 การทดลองรูปแบบที่ 1 แผ่นสแตนเลสกับน้ำเกลือ (NaCl).....	26
3.2.2 การทดลองรูปแบบที่ 2 แผ่นสแตนเลสกับกรดซัลฟิวริก (H_2SO_4).....	28
3.2.3 การทดลองรูปแบบที่ 3 แผ่นสแตนเลสกับโซเดียมไนเตรต (NaNO_3).....	30
3.3 เครื่องมือและอุปกรณ์ที่ใช้	32
3.4 วิธีการวิเคราะห์ข้อมูล	40
บทที่ 4 ผลการทดลอง และวิเคราะห์ผลการทดลอง	41
4.1 ผลการทดลองชุดที่ 1โซเดียมคลอไรด์ (NaCl).....	41
4.2 ผลการทดลองชุดที่ 2 กรดซัลฟิวริก (H_2SO_4)	45
4.3 ผลการทดลองชุดที่ 3โซเดียมไนเตรท (NaNO_3)	48
บทที่ 5 สรุปโครงการ และข้อเสนอแนะ	52
5.1 สรุปผล	52
5.2 ข้อเสนอแนะ	53
อ้างอิง.....	55
ภาคผนวก ก ตารางบันทึกผลการทดลอง	56
ภาคผนวก ข ตัวอย่างการคำนวณ.....	62
ภาคผนวก ค รูปภาพแสดงการสร้างเครื่อง และโปรแกรม	66
ภาคผนวก ง การทดสอบ Pump	76
ภาคผนวก จ ทดลองเพิ่มเติมกับวัสดุชนิดอื่นๆ.....	78
ประวัติผู้จัดทำ	85

สารบัญตาราง

หน้า

ตารางที่ 1.1	แสดงแผนการดำเนินงาน	4
ตารางที่ 2.1	ตารางเปรียบเทียบกระบวนการ EDM กับ ECM	7
ตารางที่ 3.1	แสดงลำดับการทดสอบการเจาะรูของการทดลองรูปแบบที่ 1	26
ตารางที่ 3.2	แสดงลำดับการทดสอบการเจาะรูของการทดลองรูปแบบที่ 2	28
ตารางที่ 3.3	แสดงลำดับการทดสอบการเจาะรูของการทดลองรูปแบบที่ 3	30
ตารางที่ 3.4	แสดงเครื่องมือและอุปกรณ์ที่ใช้ในการทดลอง	32
ตารางที่ 4.1	ระยะห่างของว่าระหว่างอีเล็กโทรดกับผิวชั้นงาน (NaCl)	44
ตารางที่ 4.2	ระยะห่างของว่าระหว่างอีเล็กโทรดกับผิวชั้นงาน (H_2SO_4)	48
ตารางที่ 4.3	ระยะห่างของว่าระหว่างอีเล็กโทรดกับผิวชั้นงาน (NaNO_3)	51
ตาราง ก.1	รูปแบบการทดลองชุดที่ 1	57
ตาราง ก.2	ผลการทดลองการเจาะรูครั้งที่ 1-16 (แผ่นที่ 1)	57
ตาราง ก.3	ผลการทดลองการเจาะรูครั้งที่ 17-32 (แผ่นที่ 2)	58
ตาราง ก.4	รูปแบบการทดลองชุดที่ 2	59
ตาราง ก.5	ผลการทดลองการเจาะรูครั้งที่ 1-12 (แผ่นที่ 3) ใช้อัตราการเคลื่อนที่ของอีเล็กโทรด 20 ไมโครเมตรต่อนาที	59
ตาราง ก.6	ผลการทดลองการเจาะรูครั้งที่ 13-28 (แผ่นที่ 4) ใช้อัตราการเคลื่อนที่ของอีเล็กโทรด 10 ไมโครเมตรต่อนาที	60
ตาราง ก.7	รูปแบบการทดลองชุดที่ 3	60
ตาราง ก.8	ผลการทดลองการเจาะรูครั้งที่ 1-8 (แผ่นที่ 5) ใช้อัตราการเคลื่อนที่ของอีเล็กโทรด 10 ไมโครเมตรต่อนาที	61
ตาราง ก.1	ผลการทดสอบ pump (หมุนตามเข็มนาฬิกา)	77
ตาราง ก.2	ผลการทดสอบ pump (หมุนทวนเข็มนาฬิกา)	77

สารบัญกราฟ

หน้า

กราฟที่ 4.1 แสดงกราฟเปรียบเทียบระหว่างความต่างศักย์ และขนาดของรูเจาะ 1-32 (NaCl).....	42
กราฟที่ 4.2 แสดงกราฟเปรียบเทียบระหว่างความต่างศักย์ และเวลาที่ใช้ (NaCl).....	43
กราฟที่ 4.3 แสดงกราฟเปรียบเทียบระหว่างความต่างศักย์ และระยะความลึกของอีเล็กโตรดที่ทำให้ชิ้นงานทะลุ (NaCl)	44
กราฟที่ 4.4 แสดงกราฟเปรียบเทียบระหว่างความต่างศักย์ และขนาดของรูเจาะ (H_2SO_4).....	46
กราฟที่ 4.5 แสดงกราฟเปรียบเทียบระหว่างความต่างศักย์ และเวลา (H_2SO_4).....	47
กราฟที่ 4.6 แสดงกราฟเปรียบเทียบระหว่างความต่างศักย์ และระยะที่ชิ้นงานทะลุ (H_2SO_4)	47
กราฟที่ 4.7 แสดงกราฟเปรียบเทียบระหว่างความต่างศักย์ และขนาดของรูเจาะ ที่อัตราการเคลื่อนที่ของอีเล็กโตรด 10 ($NaNO_3$)	49
กราฟที่ 4.8 แสดงกราฟเปรียบเทียบระหว่างความต่างศักย์ และเวลาที่ใช้ ที่อัตราการเคลื่อนที่ของอีเล็กโตรด 10 ไมโครเมตรต่อนาที ($NaNO_3$).....	50
กราฟที่ 4.9 แสดงกราฟเปรียบเทียบระหว่างความต่างศักย์ และระยะความลึกที่ทำให้ชิ้นงานทะลุ ที่อัตราการเคลื่อนที่ของอีเล็กโตรด 10 ไมโครเมตรต่อนาที ($NaNO_3$).....	50

สารบัญรูป

หน้า

รูปที่ 1.1	แสดงส่วนประกอบหลักของกระบวนการกัดวัสดุด้วยไฟฟ้าเคมี.....	2
รูปที่ 2.1	แสดงสารละลายอีเล็ก trode	5
รูปที่ 2.2	แสดงอุปกรณ์ที่ใช้ในการทดลอง SEDCM [2]	7
รูปที่ 2.3	ชิ้นงานจากการกัดด้วยกระบวนการ EDM และ ECM [2]	8
รูปที่ 2.4	แสดงกราฟแสดงค่าระหว่างอัตราการเคลื่อนที่ของอีเล็ก trode และระเบียบความลึกของการกัด [2]	8
รูปที่ 2.5	แสดงกระบวนการ TSECDD [3]	9
รูปที่ 2.6	แสดง Cross section of a micro-hole machined [3]	9
รูปที่ 2.7	แสดงชิ้นงานจากการ EDM และ TSECDD [3]	10
รูปที่ 2.8	แสดงกระบวนการสร้างไมโครอีเล็ก trode ด้วย ECM [4]	11
รูปที่ 2.9	แสดงชิ้นงานที่ได้ [4]	11
รูปที่ 2.10	แสดงการกำหนดตัวแปรต่างๆ [5]	12
รูปที่ 2.11	แสดงการสะท้อนออกชิ้นงาน ไว้ที่บริเวณมุ่งระหว่าง PDMS mask กับชิ้นงาน [5].....	12
รูปที่ 2.12 a	แสดงรูที่ได้จากการใช้ PDMS mask หนา 50 ไมโครเมตร [4] b แสดงรูที่ได้จากการใช้ PDMS mask หนา 250 ไมโครเมตร [5].....	13
รูปที่ 2.13	แสดงกราฟแสดงความลึกเมื่อเพิ่มเวลาเรือยๆ [5]	13
รูปที่ 2.14	แสดงกราฟแสดงความลึกเมื่อเพิ่มความต่างหักย์ชิ้นเรือยๆ [5]	14
รูปที่ 2.15	แสดงกระบวนการเจาะด้วยไฟฟ้าเคมีและการขัด [6]	14
รูปที่ 2.16	แสดงรูเจาะที่เสร็จสิ้นกระบวนการเรียบร้อยแล้ว [6]	15
รูปที่ 2.17	แสดงภาพตัดต้านข้างของรูเจาะ [6]	15
รูปที่ 2.18	แสดงแผนผังของระบบ [7]	16
รูปที่ 2.19	แสดงชิ้นงานที่ขึ้นรูปด้วยกระบวนการ EDM และ ECM ตามลำดับจากซ้ายไปขวา บนลงล่าง [7]	17
รูปที่ 2.20	แสดงลักษณะการเจาะรู [8]	18
รูปที่ 2.21	แสดงลักษณะการหุ้มฉนวน [8]	18
รูปที่ 2.22	แสดงลักษณะเครื่อง ECM [9]	19
รูปที่ 2.23	แสดงการเปรียบเทียบของพื้นผิวหลังจาก pulsed [9]	19
รูปที่ 3.1	แสดงการทำงานทั้งหมดของระบบการกัดวัสดุด้วยไฟฟ้าเคมี	20
รูปที่ 3.2	แสดงแผนภาพการทำงานของกระบวนการกัดวัสดุด้วยไฟฟ้าเคมี	21

สารบัญรูป (ต่อ)

หน้า

รูปที่ 3.3 แสดงการออกแบบเครื่องที่ในแนวระนาบ	21
รูปที่ 3.4 แสดงชุดการเคลื่อนที่ในแนวระนาบ XY	22
รูปที่ 3.5 แสดงบอร์ดชุดควบคุมการทำงาน	22
รูปที่ 3.6 แสดงปีมที่ใช้ในการฉีดสารละลายอีเล็กโทรไลต์	23
รูปที่ 3.7 แสดงชุดลดแรงดันภายในท่อสายยางของระบบการฉีดสารละลายอีเล็กโทรไลต์	23
รูปที่ 3.8 แสดงโปรแกรมควบคุมระบบด้วยภาษา Labview	24
รูปที่ 3.9 แสดงการติดตั้งชุดทดลองเข้ากับเครื่อง UTM	24
รูปที่ 3.10 แสดงภาพระหว่างกระบวนการเจาะ	25
รูปที่ 3.11 แสดงลำดับในการออกแบบการเจาะรูที่ 1-16 บนแผ่นสแตนเลส	27
รูปที่ 3.12 แสดงลำดับในการออกแบบการเจาะรูที่ 17-32 บนแผ่นสแตนเลส	27
รูปที่ 3.13 แสดงลำดับในการออกแบบการเจาะรูที่ 1-12 บนแผ่นสแตนเลส	29
รูปที่ 3.14 แสดงลำดับในการออกแบบการเจาะรูที่ 13-28 บนแผ่นสแตนเลส	29
รูปที่ 3.15 แสดงลำดับในการออกแบบการเจาะรูที่ 1-8 บนแผ่นสแตนเลส	30
รูปที่ 3.16 แสดงบอร์ดไมโครคอนโทรลเลอร์ Arduino	33
รูปที่ 3.17 แสดงบอร์ดขับมอเตอร์ รุ่น L298N	33
รูปที่ 3.18 แสดงปีมที่ใช้ในการฉีดสารอีเล็กโทรไลต์ชนิด Peristaltic pump	33
รูปที่ 3.19 แสดงห่อ PVC ที่ใช้ในการทำชุดลดแรงดันภายในสายยาง	34
รูปที่ 3.20 แสดงภาพสายยางที่ใช้ในการลำเลียงสารอีเล็กโทรไลต์	34
รูปที่ 3.21 แสดงภาพของเข็มฉีดยาที่ใช้เป็นอีเล็กโทรด	34
รูปที่ 3.22 แสดงภาพของเครื่อง UTM รุ่น H50KS	35
รูปที่ 3.23 แสดงภาพวัสดุที่ใช้ในการทดสอบชนิด Stainless Steel	35
รูปที่ 3.24 แสดงภาพ Linear Ball Bearing Block	35
รูปที่ 3.25 แสดงภาพ Lead Screw	36
รูปที่ 3.26 แสดงภาพเพลาที่ใช้มีขนาดเส้นผ่านศูนย์กลาง 8 มิลลิเมตร	36
รูปที่ 3.27 แสดงภาพ Stepper Motor ที่ใช้ในการขับ XY Stage	36
รูปที่ 3.28 แสดงรูป Coupling ขนาด 5 มิลลิเมตร – 8 มิลลิเมตร	37
รูปที่ 3.29 แสดงภาพ Support ที่มีช่องสามเหลี่ยมขนาด 8 มิลลิเมตร	37
รูปที่ 3.30 แสดงภาพ Limit Switch	37
รูปที่ 3.31 แสดงภาพของหัวสว่านที่ใช้ในการจับอีเล็กโทรด	38

สารบัญรูป (ต่อ)

หน้า

รูปที่ 3.32 แสดงภาพของนื้อตที่ใช้ในการจับยึด XY Stage.....	38
รูปที่ 3.33 แสดงภาพของสายไฟที่ใช้ต่อวงจรภายในระบบ	38
รูปที่ 3.34 แสดงภาพ Power Supply ที่ใช้ในการจ่ายกระแสไฟฟ้าให้กับระบบ	39
รูปที่ 3.35 แสดงภาพของบีกเกอร์ที่ใช้ในการบรรจุสารอีเล็ก trofilet	39
รูปที่ 3.36 แสดงภาพของมัลติมิเตอร์ที่ใช้ตรวจสอบวัสดุโอลต์ และกระแสไฟฟ้าของระบบ	39
รูปที่ 4.1 แสดงรูเจาะครั้งที่ 1-16 (แผ่นที่ 1).....	41
รูปที่ 4.2 แสดงรูเจาะครั้งที่ 17-32 (แผ่นที่ 2)	42
รูปที่ 4.3 แสดงรูเจาะครั้งที่ 1-12 (แผ่นที่ 3).....	45
รูปที่ 4.4 แสดงรูเจาะครั้งที่ 13-28 (แผ่นที่ 4)	45
รูปที่ 4.5 แสดงภาพรูเจาะ 1-8 (แผ่นที่ 5).....	49
รูปที่ 4.6 แสดงภาพจำลองช่องว่างระหว่างปลายเข็มกับระยะที่เกิดการกัดขึ้นงานลงไปได้จริง	51
รูป ค.1 แสดงกระบวนการรับสารอีเล็ก trofilet และแท่นจับขึ้นงานแบบพร้อมใช้งานแล้ว	67
รูป ค.2 แสดงตัวลือคกระบวนการรับสารอีเล็ก trofilet และแท่นจับขึ้นงาน	67
รูป ค.3 แสดง stage XY ด้านหน้า	68
รูป ค.4 แสดง stage XY ด้านหลัง.....	68
รูป ค.5 แสดง stage XY ข้างขวา	69
รูป ค.6 แสดง stage XY ข้างซ้าย.....	69
รูป ค.7 แสดงการวัดและตัดแผ่นสแตนเลส	70
รูป ค.8 แสดงการマーคทำแน่งเพื่อเจาะรู	70
รูป ค.9 แสดงการเจาะรู.....	71
รูป ค.10 แสดงการเชื่อมฐาน stage XY	71
รูป ค.11 แสดงการตั้งระดับน้ำเพื่อทำการเจาะรูเบริ่งเข้ากับฐาน stage XY	72
รูป ค.12 แสดงชุดหัวเจาะเพื่อยึดกับเครื่อง UTM ที่ทำจากเครื่อง 3D Printer	72
รูป ค.13 แสดงอุปกรณ์ใช้ทำแท่นจับขึ้นงาน	73
รูป ค.14 แสดงแท่นจับขึ้นงาน.....	73
รูป ค.15 แสดงชุดลดแรงดันภายในสายยาง.....	74
รูป ค.16 กล่องบอร์ดควบคุมการทำงานของ Stage และ Pump	74
รูป ค.17 แสดงปั๊มในการดูดสารละลายอีเล็ก trofilet ไปยังเข็มฉีดยา	74
รูป ค.18 แผนภาพโปรแกรมควบคุมชุดทดลอง 1	75
รูป ค.19 แผนภาพโปรแกรมควบคุมชุดทดลอง 2	75

สารบัญรูป (ต่อ)

หน้า

รูป จ.1 ภาพรูเจาะ แผ่นสแตนเลส 4000 ไมโครเมตร – โซเดียมคลอไรด์	79
รูป จ.2 ภาพรูเจาะ แผ่นสแตนเลส 4000 ไมโครเมตร – โซเดียมไนเตรท.....	80
รูป จ.3 ภาพรูเจาะ แผ่นทองแดง 1300 ไมโครเมตร – โซเดียมคลอไรด์	80
รูป จ.4 ภาพรูเจาะ แผ่นทองแดง 1300 ไมโครเมตร – โซเดียมไนเตรท.....	81
รูป จ.5 ภาพรูเจาะแผ่นอลูมิเนียม 400 ไมโครเมตร – โซเดียมคลอไรด์	81
รูป จ.6 ภาพรูเจาะแผ่นอลูมิเนียม 400 ไมโครเมตร – โซเดียมไนเตรท.....	82
รูป จ.7 แสดงการเปรียบเทียบเวลาที่ใช้ในการวนการของแต่ละสารอีเล็ก trode	82
รูป จ.8 แสดงการเปรียบเทียบระยะเวลาทั้งช่องว่างระหว่างอีเล็ก trode กับผิวชิ้นงานของแต่ละสารอีเล็ก trode.....	83
รูป จ.9 แสดงการเปรียบเทียบขนาดเส้นผ่านศูนย์กลางของแต่ละสารอีเล็ก trode	83

บทที่ 1

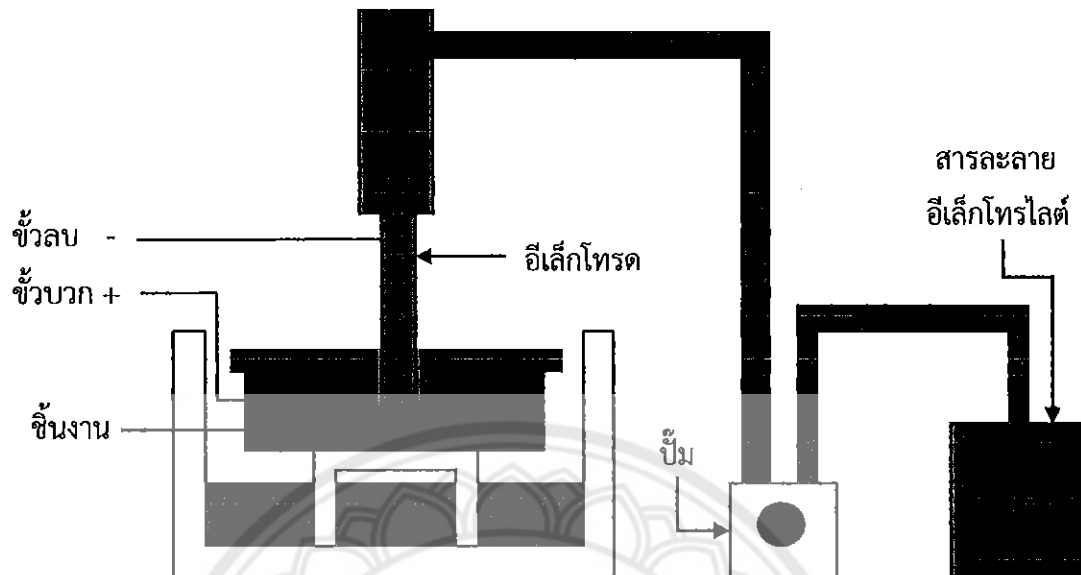
บทนำ

1.1 ความเป็นมาและความสำคัญของโครงการ

ในปัจจุบันเทคโนโลยีระดับไมโคร ได้มีบทบาทในการดำเนินชีวิตประจำวันเป็นอย่างมาก โดยเทคโนโลยีดังกล่าวมีส่วนสำคัญต่อการพัฒนาในหลายด้าน ทั้งด้านอิเล็กทรอนิกส์ ด้านวัสดุศาสตร์ ด้านการแพทย์ และเทคโนโลยีการบิน โดยในปัจจุบันนั้นเทคโนโลยีต่างๆ ได้มีการพัฒนาไปอย่างรวดเร็ว ซึ่งวิธีการผลิตขึ้นส่วนในระดับไมโคร คือการขึ้นรูปหรือสร้างรูปร่างต่างๆ ที่มีขนาดเล็กกว่าหนึ่งมิลลิเมตร ลงบนวัสดุต่างๆ มีหลายวิธี เช่น การกัดวัสดุเชิงกลระดับไมโคร (Micro-milling) การกัดวัสดุด้วยไฟฟ้า (Electrical Discharge Machining) และการกัดวัสดุด้วยไฟฟ้าเคมี (Electrochemical machining) เป็นต้น โดยในงานวิจัยนี้เป็นการศึกษากระบวนการกัดวัสดุด้วยไฟฟ้าเคมี (Electrochemical Machining) ซึ่งเป็นกระบวนการที่อาศัยกระแสไฟฟ้าร่วมกับการเกิดปฏิกิริยาเคมีในการกัดหรือเจาะวัสดุประเภทโลหะ โดยมีข้อดีคือ

1. เป็นกระบวนการที่ไม่อาศัยแรงในการกัดวัสดุทำให้สามารถสร้างรูปร่างบนวัสดุบาง หรืองานระดับไมโครได้
2. ไม่ทำให้เกิดความร้อนสูงบนวัสดุ ทำให้วัสดุไม่เกิดรอยแตกร้าวภายใน
3. โดยทฤษฎีแล้วไม่ทำให้เกิดความสึกหรอต่อแผ่นอิเล็กโทรดที่ใช้ ทำให้สามารถใช้อิเล็กโทรดเดิมในการกัดวัสดุได้หลายครั้ง ส่งผลให้มีค่าใช้จ่ายในการดำเนินการต่ำ

ส่วนประกอบหลักของการกัดวัสดุด้วยไฟฟ้าเคมีนั้นแสดงในรูปที่ 1 โดยมีแหล่งจ่ายไฟกระแสตรง สารละลายอิเล็กโทรไลต์ (Electrolyte) ปั๊มที่ใช้ในการฉีดสารละลาย อิเล็กโทรด (Tool) วัสดุชิ้นงาน (Work piece) ซึ่งหลักการทำงานนี้จะเริ่มจากต่อขั้วแอดโนด (Anode) ไปที่ชิ้นงาน และต่อขั้วแคโทด (Cathode) ไปที่อิเล็กโทรด จากนั้นก็จะมีการฉีดอิเล็กโทรไลต์ไปที่ชิ้นงานตลอดเวลาด้วยปั๊ม



รูปที่ 1.1 แสดงส่วนประกอบหลักของกระบวนการกัดวัสดุด้วยไฟฟ้าเคมี

ปฏิกรรมทางเคมีจะเกิดขึ้นเมื่อกระแสไฟฟ้าถูกจ่ายเข้าไปที่ชิ้นงานและตัวอีเล็กโทรด จะทำให้อิเล็กตรอนเกิดการเคลื่อนที่ ทำให้วัสดุชิ้นงานและสารละลายเกิดการแตกตัว และจับกันเป็นสารใหม่ ด้วยกระบวนการกัดวัสดุด้วยไฟฟ้าเคมีนี้สามารถสนับสนุนกระบวนการการขึ้นรูปของวัสดุที่มีขนาดระดับไมโครได้

1.2 วัตถุประสงค์ของการศึกษา

- 1.2.1 เพื่อสร้างส่วนประกอบสำคัญของกระบวนการกัดวัสดุด้วยไฟฟ้าเคมี
- 1.2.2 เพื่อศึกษาการเจาะรูที่เล็กระดับไมโครสเกล
- 1.2.3 เพื่อศึกษาปัจจัยที่มีผลต่อการเจาะเช่น ความต่างศักย์ สารละลายอีเล็กโทรไลต์ และอัตราการเคลื่อนที่ของอีเล็กโทรด
- 1.2.4 เพื่อวิเคราะห์ขนาดของเส้นผ่านศูนย์กลาง และระยะเวลาที่ใช้ในการดำเนินการ
- 1.2.5 เพื่อศึกษาแนวทางในการออกแบบและพัฒนาเครื่องเจาะรูระดับไมโครด้วยกระบวนการไฟฟ้าเคมี

1.3 ประโยชน์ที่คาดว่าจะได้รับ

- 1.3.1 ได้ชุดทดลองกระบวนการกัดวัสดุด้วยไฟฟ้าเคมี เพื่อการเจาะรูระดับไมโคร
- 1.3.2 ได้ความรู้ด้านปัจจัยต่างๆที่มีผลต่อกระบวนการกัดวัสดุด้วยไฟฟ้าเคมี

1.4 ขอบเขตของโครงการ

1.4.1 สารละลายน้ำยาที่ใช้มี 3 ชนิด คือ โซเดียมคลอไรด์ (NaCl) กรดซัลฟิวริก (H_2SO_4) และโซเดียมไนเตรท (NaNO_3) ที่ความเข้มข้น 0.1 มोลาร์

1.4.2 ศักย์ไฟฟ้าที่ใช้ในการทดลองเป็นกระระยะ 4 ระดับ

1.4.3 ทดลองปรับความเร็วในการเคลื่อนที่อีเล็กโทรด 2 ระดับ คือ 10 และ 20 ไมโครเมตรต่อนาที

1.4.4 วัสดุชิ้นงานหนึ่งชนิดคือ สเตนเลสแผ่นบาง 0.5 มิลลิเมตร

1.5 ขั้นตอนการดำเนินงาน

1.5.1 ศึกษาหลักการและทฤษฎีที่เกี่ยวข้อง

1.5.2 ติดตั้ง และสร้างแท่นจับยึดอุปกรณ์ 1 ต่างๆ ปั๊ม, ถังรองรับสารละลายน้ำอีเล็กโทรไลต์, อีเล็กโทรด, กรอง, ขึ้นงาน, แหล่งจ่ายไฟฟ้ากระระยะ เข้ากับเครื่อง UTM

1.5.3 พัฒนาโปรแกรมควบคุม

1.5.4 ทำการทดลอง

1.5.5 วิเคราะห์และสรุปผลที่ได้

1.5.6 จัดทำรูปเล่มปริญญา呢พนธ์

1.6 แผนการดำเนินงาน

ตารางที่ 1.1 แสดงแผนการดำเนินงาน

กิจกรรม	2558				2559			
	ก.ย.	ต.ค.	พ.ย.	ธ.ค.	ม.ค.	ก.พ.	มี.ค.	เม.ย.
1. ศึกษาลักษณะและทฤษฎีที่เกี่ยวข้อง								
2. ติดตั้ง และสร้างแท่นจับยึดอุปกรณ์ต่างๆ เข้ากับเครื่องUTM								
3. พัฒนาโปรแกรมควบคุม								
4. ทำการทดลอง								
5. วิเคราะห์และสรุปผลที่ได้								
6. จัดทำรูปเล่มปริญญา นิพนธ์								

1.7 รายละเอียดงบประมาณตลอดโครงการ

- | | |
|-----------------------|----------|
| 1.7.1 กระดาษ | 500 บาท |
| 1.7.2 จัดทำรูปเล่ม | 2000 บาท |
| 1.7.3 ค่าวัสดุไฟฟ้า | 3000 บาท |
| 1.7.4 ค่าอุปกรณ์อื่นๆ | 1500 บาท |

บทที่ 2

ทฤษฎีและวาระนกรรมบริหัศน์

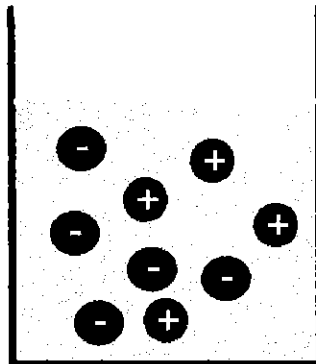
2.1 ทฤษฎี

2.1.1 สารละลายอีเล็กโทรไลต์ (Electrolyte)

อีเล็กโทรไลต์ หมายถึง สารที่เมื่อละลายในน้ำจะนำไฟฟ้าได้ เนื่องจากมีไอออนซึ่งอาจจะเป็น ไอออนบวก หรือไอออนลบเคลื่อนที่อยู่ในสารละลาย สารละลายอีเล็กโทรไลต์นี้อาจเป็นสารละลายกรด เบส หรือเกลือกได้ ตัวอย่างเช่น สารละลายโซเดียมคลอไรด์ (NaCl) สารละลายกรดซัลฟิวริก (H_2SO_4) และสารละลายโซเดียมไนเตรท (NaNO_3) เป็นต้น โดยในสารละลายดังกล่าวประกอบด้วย ไอออน H^+ , Cl^- , Na^+ และ OH^- ตามลำดับ ดังที่แสดงในรูปที่ 2.1 สารละลายอีเล็กโทรไลต์ต่างๆ นำไฟฟ้าได้ไม่เท่ากัน เนื่องจากการแตกตัวเป็นไอออนของอีเล็กโทรไลต์ไม่เท่ากัน อีเล็กโทรไลต์ที่แตกตัวเป็นไอออนได้มากกว่า ก็จะนำไฟฟ้าได้ดีกว่าอีเล็กโทรไลต์ที่แตกตัวเป็นไอออนได้น้อยกว่า อีเล็กโทรไลต์แบ่งออกได้เป็น 2 ประเภท ดังนี้

1. อีเล็กโทรไลต์แกร่ง (strong electrolyte) หมายถึง สารที่ละลายน้ำแล้วแตกตัวเป็นไอออนได้มาก อาจจะแตกตัวได้ 100% และนำไฟฟ้าได้ดีมาก เช่น กรดแกร่ง และเบสแกร่ง และเกลือส่วนใหญ่จะแตกตัวได้ 100% เป็นต้น

2. อีเล็กโทรไลต์อ่อน (weak electrolyte) หมายถึง สารที่ละลายน้ำแล้วแตกตัวได้บางส่วนนำไฟฟ้าได้น้อย



รูปที่ 2.1 แสดงสารละลายอีเล็กโทรไลต์

2.1.2 กระบวนการกัดวัสดุด้วยวิธีการทางไฟฟ้าเคมี (ECM)

กระบวนการกัดวัสดุด้วยวิธีการทางไฟฟ้าเคมี^[1] (electrochemical machining) หรือ ECM ถือเป็นหนึ่งในกระบวนการกัดวัสดุด้วยวิธีการขั้นสูง ที่นิยมใช้ในอุตสาหกรรมการผลิตชิ้นส่วนที่มีขีดความสามารถ เล็ก เช่น ในอุตสาหกรรมอิเล็กทรอนิกส์หรือชิ้นส่วนที่มีโครงสร้างขนาดเล็กและซับซ้อน เช่น การขีดรูปใบพัด (turbine blade) หรืออาจเป็นการกัดวัสดุบนแผ่นงานที่มีความบางมากๆ และยากแก่การใช้ กรรมวิธีอื่นๆ ในการกัด เอาเนื้อวัสดุออกในปริมาณน้อยๆ โดยไม่ก่อให้เกิดความเคร้นทางกลหรือทาง ความร้อนภายใต้โครงสร้างวัสดุ

ECM ประกอบไปด้วยส่วนประกอบหลักๆ ที่เนื่องกับการขูบโลหะด้วยไฟฟ้า คือมีแหล่งจ่ายไฟฟ้ากระแสตรงสารละลายอิเล็กโทรไลต์วัสดุงาน และวัสดุต้นแบบ หรือ อิเล็กโทรด แต่จะมีความแตกต่างกันตรงที่กระบวนการ ECM จะจ่ายกระแสไฟฟ้าขึ้นบวก (anode) เข้าที่ขึ้นงานและขึ้นลบ (cathode) ที่อิเล็กโทรด โดยทั้งขึ้นงานและอิเล็กโทรดจะถูกจุ่มลงในสารละลายที่เรียกว่าอิเล็กโทรไลต์ รูปแบบเช่นนี้คือกระบวนการแยกสารเคมีด้วยไฟฟ้าหรือ Electrolysis นั่นเอง

ปฏิกริยาทางเคมีจะเกิดขึ้นเมื่อกระแทกไฟฟ้าถูกจ่ายเข้าไปที่ขั้นงาน และตัวอีเล็กโทรด ทำให้อิเล็กตรอนเกิดการเคลื่อนที่ ทำให้วัสดุงานและสารละลายเกิดการแตกตัวและจับตัวกันเป็นสารใหม่ ยกตัวอย่างเช่นวัสดุงานที่เป็นโลหะ Fe เมื่อเกิดการแตกตัวจะกลายเป็น Fe^{2+} ซึ่งจะไปรวมตัวกับอ่อน Cl^- และ OH^- ในสารละลายตามลำดับจนได้ผลิตภัณฑ์สุดท้ายเป็น $Fe(OH)_2$ ตกลงกอนเป็นผงอยู่ในสารละลายดังแสดงในสมการที่ 2.1 และจะมีฟองกําชีโตรเจน (H_2) เกิดขึ้นที่ขั้วลบ



และจากปฏิกริยาทางเคมีที่เกิดขึ้นนี้จะทำให้น้ำเกิดการแตกตัวในขณะที่ NaCl หรือเกลือไม่ได้หายไปจากระบบดังนั้นเมื่อกระบวนการกัดดำเนินไปได้ในระยะเวลาหนึ่งจะทำให้ความเข้มข้นของสารละลายมีมากขึ้นการเติมน้ำเข้าไปในระบบเพื่อชดเชยน้ำที่หายไปและรักษาระดับความเข้มข้นของสารละลายอีเล็กโทรไลต์จึงเป็นอีกปัจจัยหนึ่งที่สำคัญในกระบวนการกัดแบบ ECM

2.1.3 กระบวนการกัดวัสดุด้วยกระแสไฟฟ้า (EDM)

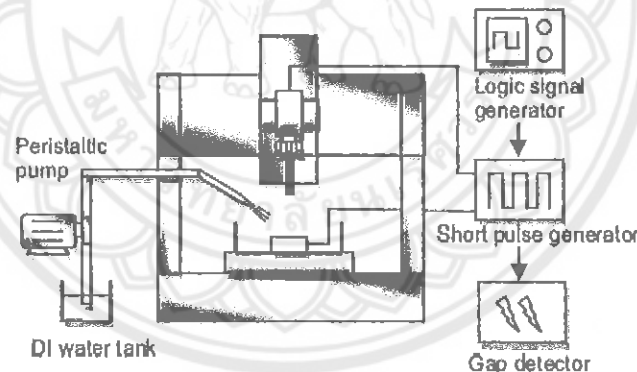
EDM หรือ Electrical Discharge Machine นั้นหมายถึง เครื่องกัดเนื้อโลหะด้วยหลักการทำงานของกระแสไฟฟ้ามีความต่างศักย์สูง โดยการปล่อยให้กระแสไฟฟ้าไหลผ่านวัสดุที่เป็นโลหะสองชิ้น ได้แก่ ชิ้นงานและอีเล็กโทรดขณะที่อีเล็กโทรดเข้าใกล้ชิ้นงานก็จะเกิดการสباركระหว่างอีเล็กโทรดและชิ้นงาน ทำให้ชิ้นงานที่เป็นเหล็กเกิดความร้อนและละลายออกมานจเกิดรูปทรงตามอีเล็กโทรด งานที่เหมาะสมกับการใช้ EDM นั้น ส่วนมากจะเป็นงานที่ต้องการความเที่ยงตรง งานที่ไม่สามารถขึ้นรูปหรือตัดเฉือนด้วยวิธีปกติได้ เช่น กล่องไม้ได้ กัดด้วยมิลลิ่ง (Milling) ไม่ได้ เจียรนัยไม่ได้ หรือทำได้แต่ทำได้ยาก เพราะมีรูปร่างซับซ้อน หรือเป็นชิ้นงานที่ผ่านการขับแข็งมาแล้ว เช่น เป้าแม่พิมพ์

ตารางที่ 2.1 ตารางเปรียบเทียบกระบวนการ EDM กับ ECM

EDM	ECM
ใช้เวลาต์สูง	เวลาต์ต่ำ
เกิดความร้อน สมบัติเชิงกลเปลี่ยนแปลง	ไม่เกิดความร้อน สมบัติเชิงกลไม่เปลี่ยนแปลงใช้
มีความเที่ยงตรงมากกว่า	เที่ยงตรงน้อยกว่า, มีความคลาดเคลื่อน
อีเล็กโทรดเสียหายเร็ว	ใช้อีเล็กโทรดได้นานกว่า

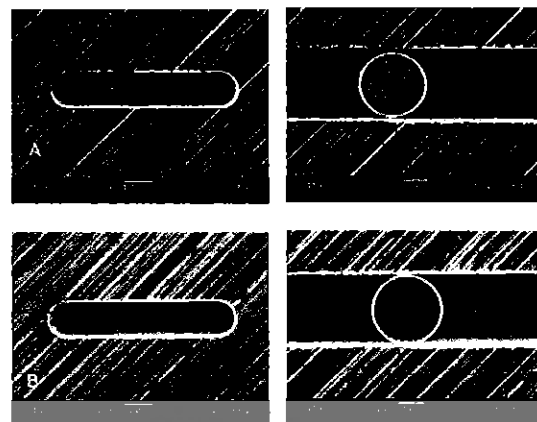
2.2 วัสดุกรรมปริทัศน์

จากการวิจัยของ DangNguyen et al. [2] แสดงให้เห็นการเปรียบเทียบกระบวนการ EDM กับ ECM เป็นการวิเคราะห์กลไกการกัดวัสดุด้วยกระบวนการต่างๆ micro-EDM (กัดด้วยไฟฟ้า), SEDCM (กัดด้วยกระแสไฟฟ้าและไฟฟ้าเคมี), และ micro-ECM (กัดด้วยไฟฟ้าเคมี) โดยใช้ชุดทดลองเดียวกัน ดังที่แสดงในรูปที่ 2.2 ทำให้เราเห็นความแตกต่างของแต่ละกระบวนการ โดยกระบวนการ ECM ที่เราสนใจจะให้ขั้นงานที่รอยกัดเรียบกว่า ดังที่แสดงในรูปที่ 2.3 และใช้อัตราการเคลื่อนที่ของอีเล็กโทรดต่ำกว่าดังที่แสดงในรูปที่ 2.4



รูปที่ 2.2 แสดงอุปกรณ์ที่ใช้ในการทดลอง SEDCM [2]

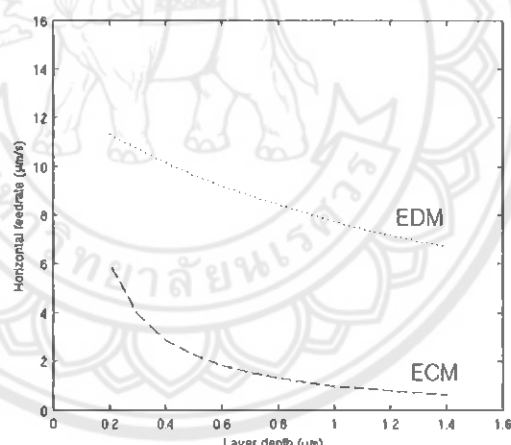
ทดลองโดยการเปลี่ยนค่าอัตราการเคลื่อนที่ของอีเล็กโทรดไปเรื่อยๆ โดยแสดงให้เห็นว่าเมื่ออีเล็กโทรดยิ่งมีการเคลื่อนที่เร็ว จะทำให้การกัดน้ำยากระทำด้วยความต่างศักย์ของไฟฟ้า ดังที่แสดงในรูปที่ 2.3 (A) ซึ่งก็คือกระบวนการ EDM แต่ถ้าหากอีเล็กโทรดยิ่งมีการเคลื่อนที่ช้าลงการกัดก็จะถูกกระทำด้วยปฏิกิริยาทางเคมี ดังที่แสดงในรูปที่ 2.3 (B) ซึ่งก็คือกระบวนการ ECM นั้นเอง



รูปที่ 2.3 ขั้นงานจากการกัดด้วยกระบวนการ EDM และ ECM [2]

A แสดงขั้นงานจากการกัดด้วยกระบวนการ EDM

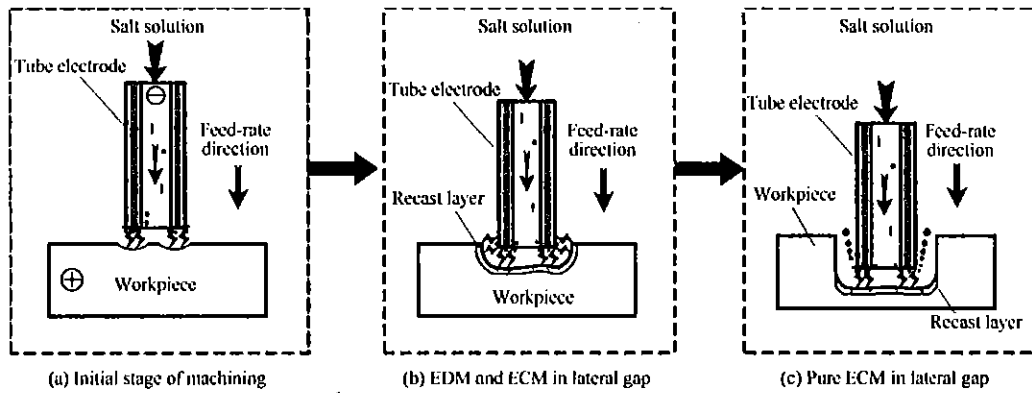
B แสดงขั้นงานจากการกัดด้วยกระบวนการ ECM



รูปที่ 2.4 กราฟแสดงค่า率ห่วงอัตราการเคลื่อนที่ของอีเล็กโตรดและระยะความลึกของการกัด [2]

จากการวิจัยของ Zhang Yan et al. [3] ซึ่งประยุกต์ใช้กระบวนการ ECM ร่วมกับ EDM โดยเป็นการนำเสนองานขึ้นรูปวัสดุ single-crystal super alloy ที่ใช้ในการผลิตใบพัดกังหันของเครื่องยนต์ไอพ่น ซึ่งมีความแข็งแรงมาก ขึ้นรูปกระบวนการ tube electrode high-speed electrochemical discharge drilling (TSECDD) คือการประยุกต์ใช้กระบวนการ ECM ร่วมกับ EDM

หลักการคือ กระบวนการ TSECDD จะเริ่มกัดวัสดุด้วยกระบวนการ EDM ต่อมาก็ใช้ EDM ผสมกับ ECM จนเมื่อขนาดของช่องว่างรอบๆ อีเล็กโตรดขยายมากขึ้น ระบบก็จะเปลี่ยนไปใช้กระบวนการ ECM อีกครั้งเดียวดังที่แสดงในรูปที่ 2.5

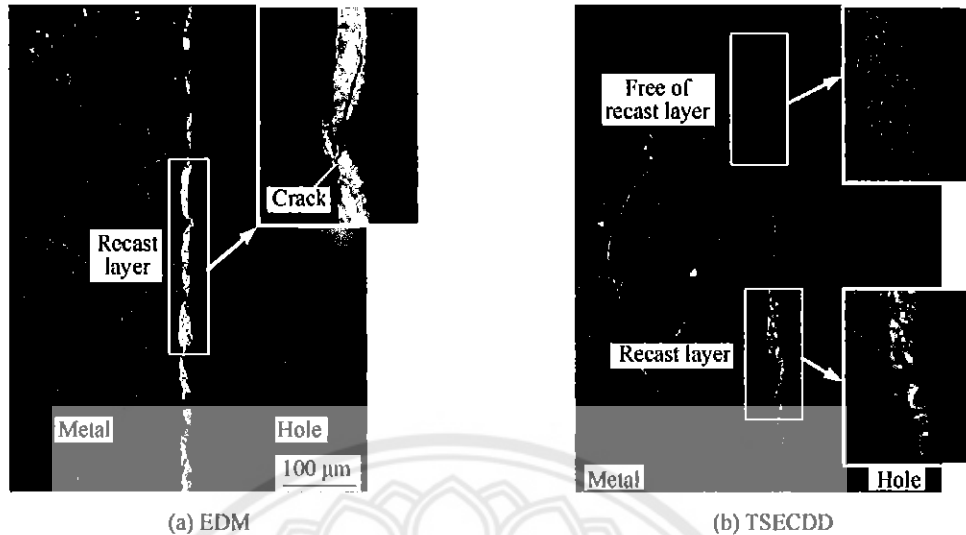


รูปที่ 2.5 แสดงกระบวนการ TSECDD [3]

ทำการทดลองโดยการเจาะรูได้ชิ้นงานดังที่แสดงในรูปที่ 2.6



รูปที่ 2.6 แสดง Cross section of a micro-hole machined [3]

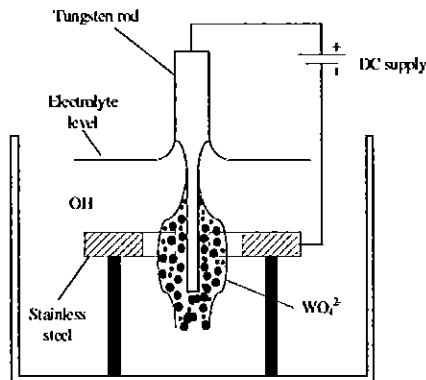


รูปที่ 2.7 แสดงขั้นจากการ EDM และ TSECDD [3]

จากรูปที่ 2.7 จะเห็นได้ว่าชิ้นงานที่ได้จากการ TSECDD นั้นมีรอย Crack ที่น้อยกว่า กระบวนการ EDM

จากการวิจัยของ Yong Liu et al. [4] กระบวนการ ECM ในการสร้างไมโครอีเล็ก trode โดยการสร้างอีเล็ก trode ทรงกระบอกสำหรับใช้ในกระบวนการ ECM สามารถทำได้ด้วยกระบวนการ ECM เช่นกัน แต่จะต่างจากการกัดวัสดุตรงที่เราจะใช้อีเล็ก trode ที่มีลักษณะเป็นแผ่นมีรูทรงกลาง โดยขนาดของรูนี้จะเป็นตัวกำหนดขนาดของอีเล็ก trode ที่เราจะได้

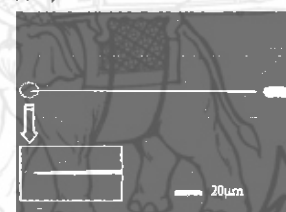
หลักการคืออีเล็ก trode ที่เป็นแผ่นมีรูต่อเข้ากับขั้วลบ จะเชื่อมต่อในสารอีเล็ก trode และชิ้นงานคือแท่งทั้งสتينต่อเข้ากับขั้วบวก ดังที่แสดงในรูปที่ 2.8 จะค่อยๆ เคลื่อนที่ลงผ่านรูบนแผ่น ปฏิกิริยาที่เกิดขึ้นก็เหมือนกระบวนการ ECM ทั่วไป แท่งทั้งสتينที่ต่อ กับ ขั้วบวกจะถูกกัดออก ทำให้อีเล็ก trode ที่มีขนาดระดับไมโคร ดังที่แสดงในรูปที่ 2.9



รูปที่ 2.8 แสดงกระบวนการสร้างไมโครอีเล็กโตรดด้วย ECM [4]



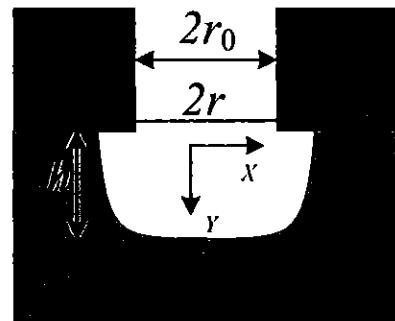
(a) a cylindrical electrode with diameter of 20 μm .



(b) a cylindrical electrode with diameter of 5 μm .

รูปที่ 2.9 แสดงชิ้นงานที่ได้ [4]

จากการวิจัยของ Xiaolei Chen et al. [5] การลดความคลาดเคลื่อนขนาดของหลุมระดับไมโครที่สร้างโดย Electrochemical micro-machining ด้วย Oxygen produced at anode เป็นการนำเสนอว่าฟอง oxygen produced at anode ที่เกิดระหว่างการขึ้นรูปจะช่วยลดร่องรอยขรุขระบริเวณข้างๆหลุมที่ทำการเจาะ เพื่อรักษาฟองออกซิเจน ไว้ที่บริเวณผิวของชิ้นงาน จะทำการกัดด้วยการวาง PDMS mask ที่มีรูระดับไมโครอยู่ร่วงบนชิ้นงานแล้วทำการฉีดสารอีเล็กโตรไลต์ให้ไหลผ่าน ซึ่งต่างจากกระบวนการ ECM แบบปกติที่จะให้อีเล็กโตรดเคลื่อนที่เข้าหา ชิ้นงานตัวปรับต่างๆแสดงในรูปที่ 2.10



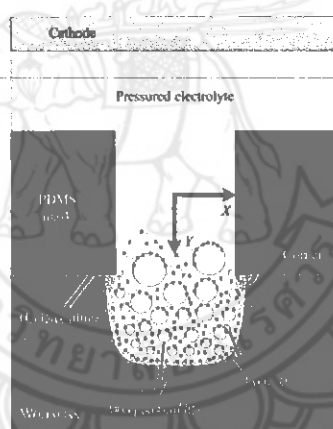
รูปที่ 2.10 แสดงการกำหนดตัวแปรต่างๆ [5]

Δr = ความคลาดเคลื่อน

h = ความลึกของหลุม

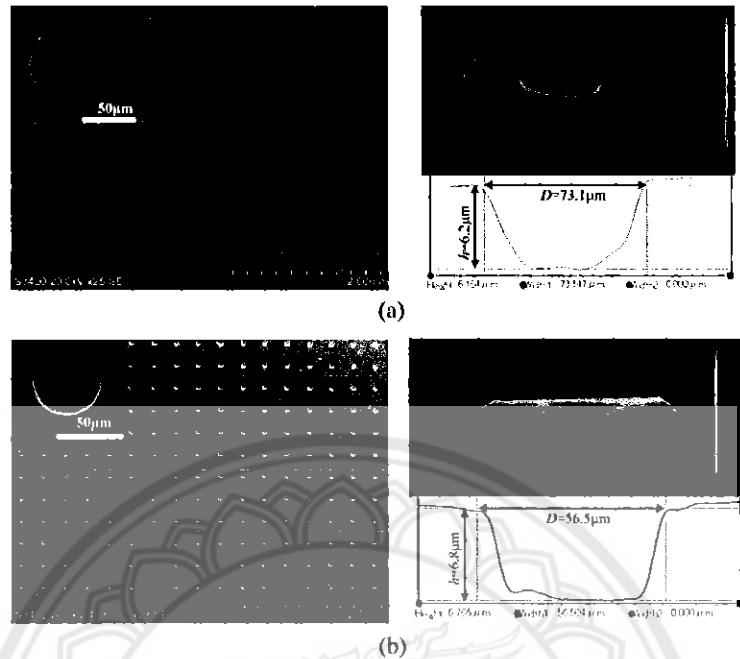
r_0 = รัศมีของหลุมบน PDMS mask

r = รัศมีของหลุมบนชิ้นงาน



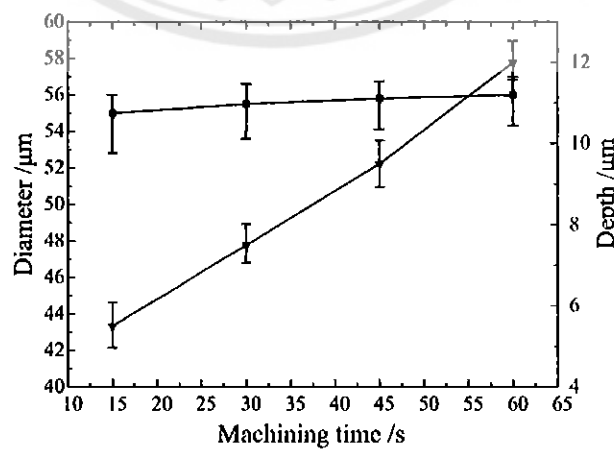
รูปที่ 2.11 แสดงการสะสูฟองออกซิเจน ไว้ที่บริเวณมุมะระหว่าง PDMS mask กับชิ้นงาน [5]

ทดลองโดยการใช้ PDMS mask ที่มีรูขนาด 50 ไมโครเมตร ความต่างศักย์ 12 โวลต์ หนา 50 และ 250 ไมโครเมตร ได้ชิ้นงานตั้งที่แสดงในรูปที่ 2.12 a และ b

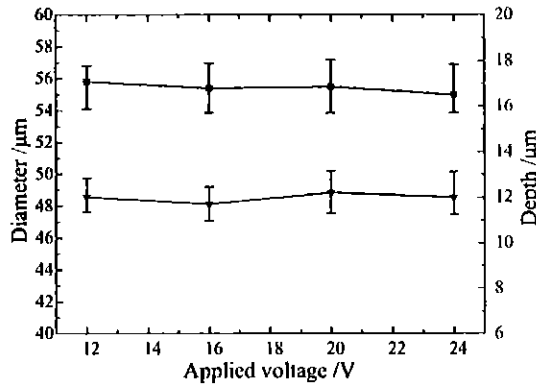


รูปที่ 2.12 a แสดงรูที่ได้จากการใช้ PDMS mask หนา 50 ไมโครเมตร [4]
b แสดงรูที่ได้จากการใช้ PDMS mask หนา 250 ไมโครเมตร [5]

จากการทดสอบพบว่าหลุมมีขนาดความคลาดเคลื่อนเล็กน้อย และจะไม่มีขนาดเพิ่มขึ้นเมื่อเพิ่มความต่างศักย์ และเพิ่มระยะเวลาในการกัด พบรูที่มีเพิ่มความต่างศักย์ความลึกของหลุมจะเพิ่มขึ้นอย่างมากๆ (แบบไม่มีผล) แสดงในรูปที่ 2.14 แต่เมื่อเพิ่มระยะเวลาในการดำเนินกระบวนการ ความลึกของหลุมจะเพิ่มขึ้นเรื่อยๆ แสดงในรูปที่ 2.13 ดังนั้นการจะสร้างหลุมที่ความลึกต่างๆนั้นจะควบคุมได้โดยเวลา

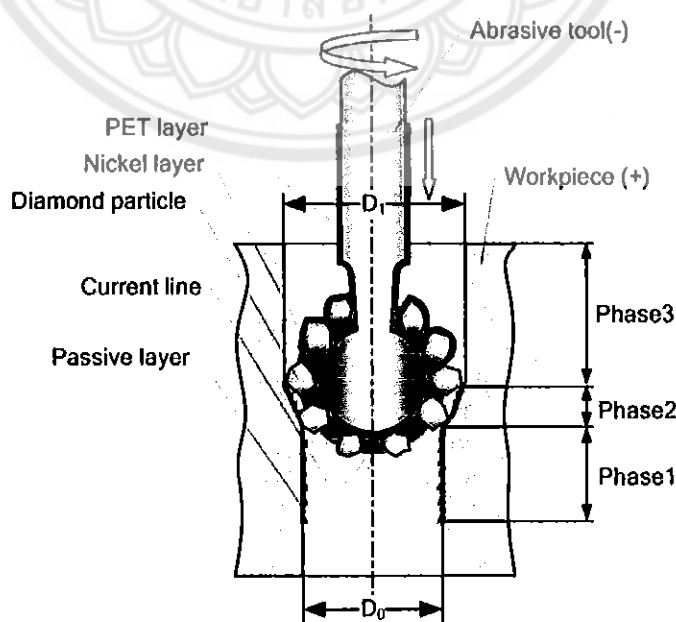


รูปที่ 2.13 แสดงกราฟแสดงความลึกเมื่อเพิ่มเวลาเรื่อยๆ [5]



รูปที่ 2.14 แสดงกราฟแสดงความลึกเมื่อเพิ่มความต่างศักย์ขึ้นเรื่อยๆ [5]

จากการวิจัย D. Zhu et al. [6] ความลະເອີດຂອງຮູຈາະນາດເລັກໂດຍພສມພສານ กระบวนการຂາຍໄຟຟ້າເຄມີແລກຂັດ ເປັນການນໍາເສນອຫລັກການຂອງกระบวนการພສມພສານຂອງເຈາະແບບໄຟຟ້າເຄມີ ແລກຂັດໂດຍອື່ເລັກໂຮດມີລັກຂະນະເປັນແກນເຫຼັກຕຽບປາຍ ເປັນທຽງກລມເຄລືອບດ້ວຍອຸນຸກເພິ່ງ ມູນດ້ວຍຄວາມເວົ້ວສູງແລກກຳຈັດເນື້ອວັດດ້ວຍกระบวนการໄຟຟ້າເຄມີ ແລກໃຫ້ຫລັກການທາງແນກຄານຒກເພື່ອນໍາຮ່ວມຮູຈາະ ໂດຍຮູຈາະທີ່ນໍາຮ່ວມຈະມີເສັ້ນຜ່ານສູນຍົກລາງ D_0 ສ່ວນຮູຈາະທີ່ເສົ້າສິນຮຽນການແລ້ວມີເສັ້ນຜ່ານສູນຍົກລາງ D_1 ໃນຮ່ວມງານເຈາະອື່ເລັກໂຮດຈະຕ່ອກັບ ຫຼັກ ສ່ວນຫຼັງຈານຈະຕ່ອຫຼັບວັກໂດຍທີ່ປາຍຂອງອື່ເລັກ-ໂຮດຈະມີອຸນຸກເພິ່ງຢືນອອກມາຈັກຫຼັງຜົວຂອງນິເກີລ ແລະຈະມີໜ່ອງວ່າຮ່ວມງານຂອງນິເກີລ ແລກຜົນງານຂອງຮູຈາະເພື່ອທີ່ຈະເກີດປົງກິຈາຍຂອງໄຟຟ້າເຄມີ ຮະຫວ່າງຜົວຂອງຮູຈາະ ແລກຜົວຂອງນິເກີລ



รูปที่ 2.15 แสดงกระบวนการເຈາະດ້ວຍໄຟຟ້າເຄມີແລກຂັດ [6]

ในขั้นตอนการกำจัดวัสดุของกระบวนการจะเกิดขึ้นในระยะที่ 2 ซึ่งให้เห็นตามรูปที่ 2.15
ปฏิกิริยาจะเริ่มต้นขึ้นเมื่อช่องว่างเต็มไปด้วยสารอีเล็กโทรไลต์ (NaNO_3)
ระยะที่ 1 จะเริ่มมีการเกิดปฏิกิริยาเล็กน้อย
ระยะที่ 2 จะเกิดกระบวนการทางไฟฟ้าเคมีและกระบวนการขัดไปพร้อมๆ กัน
ระยะที่ 3 จะเป็นระยะที่กระบวนการเสร็จสิ้น
ผลการทดลองแสดงดังรูปที่ 2.16 และรูปที่ 2.17

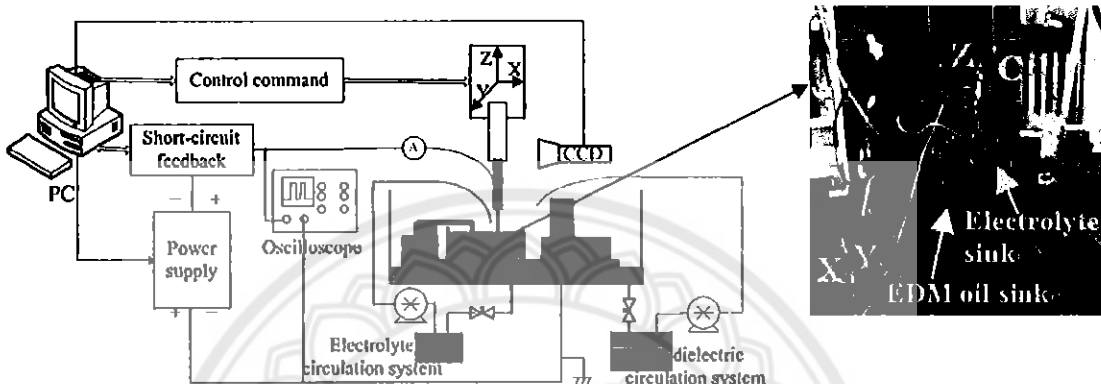


รูปที่ 2.16 แสดงรูเจาะที่เสร็จสิ้นกระบวนการเรียบร้อยแล้ว [6]



รูปที่ 2.17 แสดงภาพตัดด้านข้างของรูเจาะ [6]

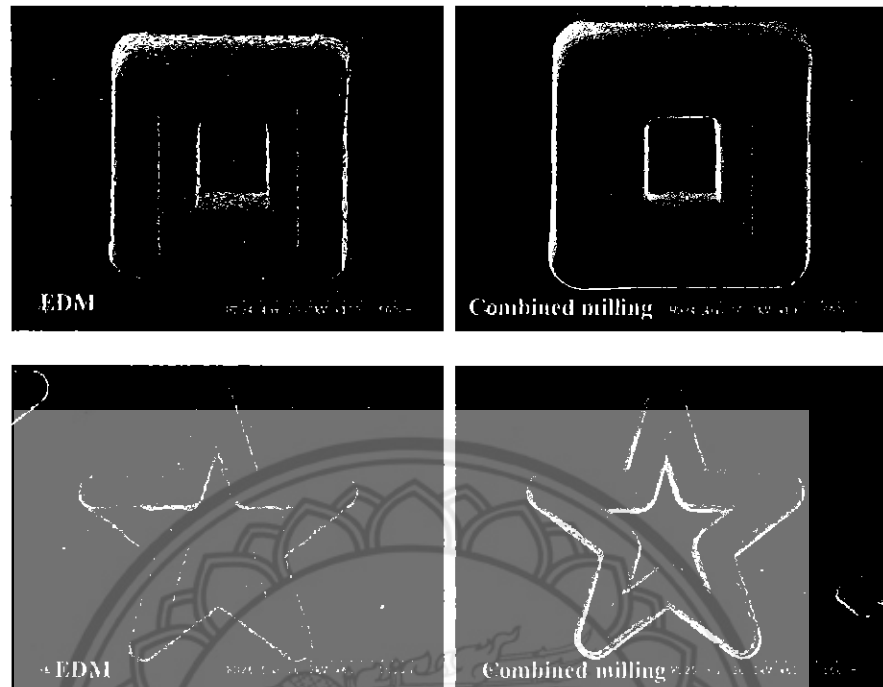
จากการวิจัย Zenga et al. [7] การศึกษาการทำงานร่วมกันของกระบวนการกัดวัสดุด้วยกระแสไฟฟ้าในระดับไมโคร (μ EDM) และกระบวนการกัดวัสดุด้วยไฟฟ้าเคมี (μ ECM) สำหรับโครงสร้างโลหะ 3 มิติในระดับไมโคร ในบทความนี้เป็นการศึกษาระบวนการกัดวัสดุด้วยกระแสไฟฟ้าในระดับไมโคร (μ EDM) กับกระบวนการกัดวัสดุด้วยไฟฟ้าเคมี (μ ECM)



รูปที่ 2.18 แสดงแผนผังของระบบ [7]

จากรูปที่ 2.18 จะมีการควบคุมแกน X และแกน Y ด้วยเซอร์โวมอเตอร์ ส่วนแกน Z ขับเคลื่อนด้วยลิเนียร์มอเตอร์ อิเล็กโทรดเป็นหั่งสแตนนิล์ด้วยความเร็วในช่วง 0 ถึง 4000 รอบต่อนาที อิเล็กโทรไลต์ที่ใช้คือ NaClO_3 เพื่อใช้ในกระบวนการกัดวัสดุด้วยไฟฟ้าเคมี และใช้ EDM oil ในกระบวนการกัดวัสดุด้วยกระแสไฟฟ้า จ่ายสัญญาณในรูปแบบ pulse แรงดัน 3-15 โวลต์

โดยจะขึ้นรูปด้วยกระบวนการกัดวัสดุด้วยกระแสไฟฟ้าในระดับไมโคร (μ EDM) ก่อนจะได้ขึ้นงานที่มีความเที่ยงตรง และแม่นยำแต่พื้นผิวของขึ้นงานจะมีลักษณะขรุขระและเกิดรอยแตกขนาดเล็ก จึงต้องใช้กระบวนการกัดวัสดุด้วยไฟฟ้าเคมีในระดับไมโคร (μ ECM) เพื่อที่จะลบอยขรุขระ และรอยแตกของขึ้นงานให้ดูเรียบเนียนขึ้น



รูปที่ 2.19 แสดงชิ้นงานที่ขึ้นรูปด้วยกระบวนการ EDM และ ECM ตามลำดับจากซ้ายไปขวา บนลงล่าง [7]

จากรูปที่ 2.19 จะเห็นได้ว่าเมื่อขึ้นรูปสุดด้วยวิธี EDM แล้วผิวของชิ้นงานจะมีลักษณะขรุขระ จึงให้วิธีการ EDM เพื่อลดรอยขรุขระด้วยความดัน 8 โวลต์ แล้วก็เพิ่มแรงดันเป็น 9 โวลต์ และ 10 โวลต์ จนทำให้พื้นผิวของชิ้นงานดูเรียบเนียน

จากการวิจัย L. Yong et al. [8] การกัดวัสดุด้วยไฟฟ้าเคมีของรูหัวฉีดเชือเพลิงกระบวนการ กัดวัสดุด้วยไฟฟ้าเคมี (ECM) ของรูสำหรับหัวฉีดเชือเพลิงในเครื่องบินไอพ่น จากรูปที่ 2.20 หลังจากได้รูที่เป็นทรงกระบอกเจาะตรงโดยใช้เครื่อง EDM เจาะนำร่องก่อนขึ้นตอนที่ 2 จะเจาะด้วยกระบวนการ ECM แล้วเคลื่อนที่อีเล็ก trod ลงอย่างอย่างช้าๆ จากรูปที่ 2.21 จะหุ้มฉนวนที่อีเล็ก trod เพื่อจะทำให้อีเล็ก trod ทำปฏิกิริยาเฉพาะตรงปลายอีเล็ก trod เท่านั้นจะได้รูเจาะที่เรียวและมีพื้นผิวที่เรียบขึ้น

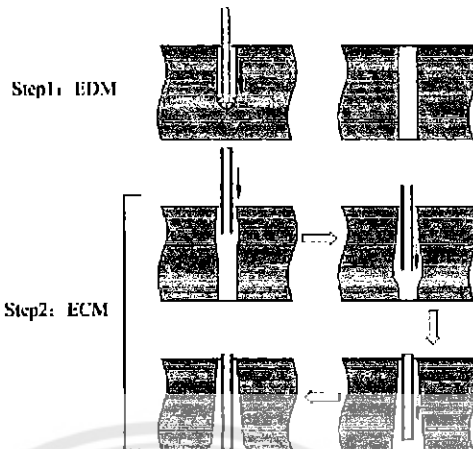
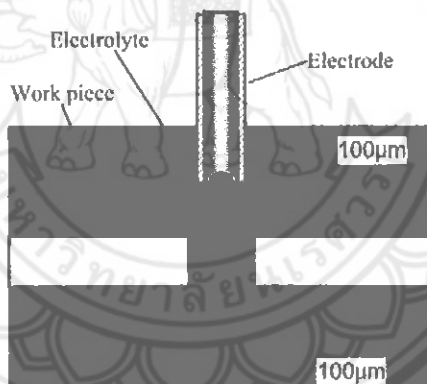


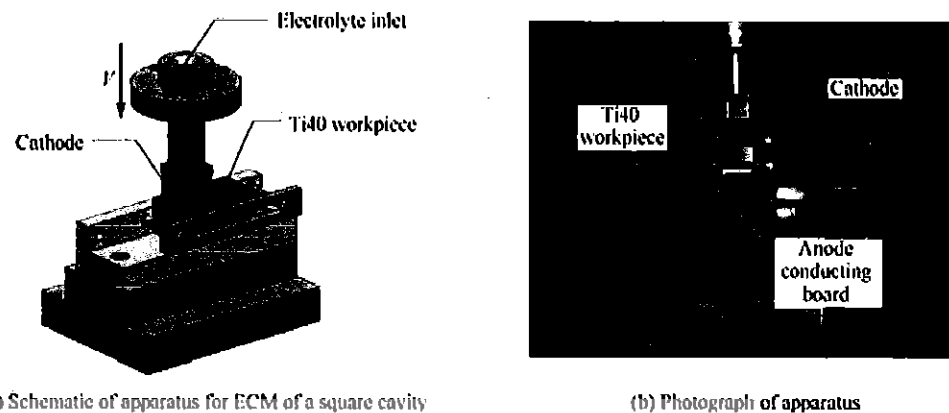
Fig.1 Micro ECM scheme for tapered hole machining

รูปที่ 2.20 แสดงลักษณะการเจาะรูแบบเอียง [8]



รูปที่ 2.21 แสดงลักษณะการหุ้มฉนวนอีเล็กโทรด [8]

จากการวิจัย Zhenyang et al. [9] การกัดวัสดุด้วยไฟฟ้าเคมีของไทยเนี่ยมอัลลอยที่ทนต่อการเผาไหม้ ศึกษาระบวนการกัดวัสดุโดยใช้ไฟฟ้าเคมี (ECM) ในการผลิตชิ้นส่วนที่สำคัญจากโลหะผสมไทยเนี่ยมอัลลอยที่ทนต่อการเผาไหม้ จากรูปที่ 2.22 แสดงการกัดวัสดุด้วยไฟฟ้าเคมีของไทย-เนี่ยมอัลลอยที่ทนต่อการเผาไหม้ซึ่งจะทำให้ลดค่าใช้จ่ายในการบำรุงรักษา และช่วยเพิ่มประสิทธิภาพในการทำงานมากขึ้น โดยปัจจัยที่มีผลต่อคุณภาพของรูที่เจาะด้วยกระบวนการ ECM ขึ้นอยู่กับแรงดันไฟฟ้า อัตราการไหลของสารอีเล็กโทรลิต อัตราเร็วของอีเล็กโทรด และความเข้มข้นของสารละลาย จากรูปที่ 2.23 แสดงการเปรียบเทียบของพื้นผิวหลังจากการกัดด้วยแหล่งจ่ายไฟกระแสตรง และแหล่งจ่ายไฟแบบ pulsed



รูปที่ 2.22 แสดงลักษณะเครื่อง ECM [9]



รูปที่ 2.23 แสดงการเปรียบเทียบของพื้นผิวหลังจาก pulsed [9]

บทที่ 3

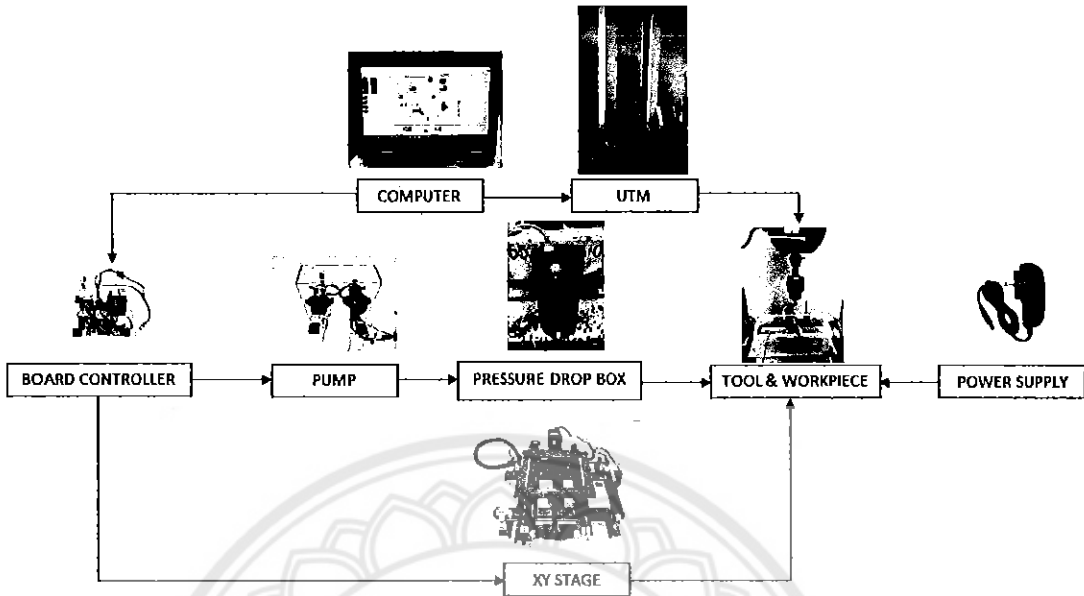
วิธีการดำเนินงาน

ในการทดลองโครงการนี้ เป็นการทดลองการเจาะวัสดุระดับไมโครด้วยไฟฟ้าเคมี โดยทำการเจาะบนวัสดุสแตนเลสแผ่นบาง 0.5 มิลลิเมตร โดยใช้สารละลาย โซเดียมคลอไรด์ (NaCl) สารละลาย กรดซัลฟิวริก (H_2SO_4) และสารละลาย โซเดียมไนเตรท (NaNO_3) ที่ความเข้มข้น 0.1 โมลาร์ โดยออกแบบระบบการเจาะเองทั้งหมด เช่น ออกแบบระบบควบคุมการเคลื่อนที่ของชิ้นงานในแนวแกน X แกน Y ออกแบบชุดควบคุมการทำงาน ออกแบบปั๊มออกแบบชุดลดแรงดันภายในสาย ออกแบบชุดหัวเจาะที่จะม้ายึดกับเครื่อง UTM เป็นต้น จากนั้นทำการสร้างอุปกรณ์ ทำการทดลอง วิเคราะห์ผลการทดลอง และสรุปผลการทดลอง

3.1 ศึกษาและออกแบบระบบเจาะวัสดุระดับไมโคร

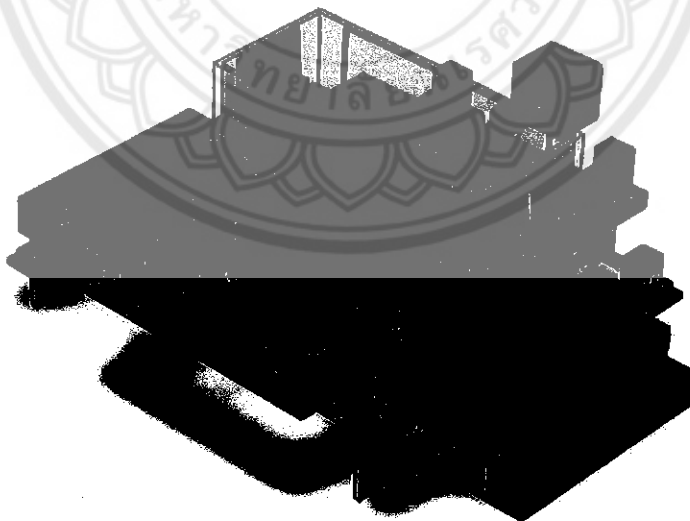


รูปที่ 3.1 แสดงการทำงานทั้งหมดของระบบการกัดวัสดุด้วยไฟฟ้าเคมี

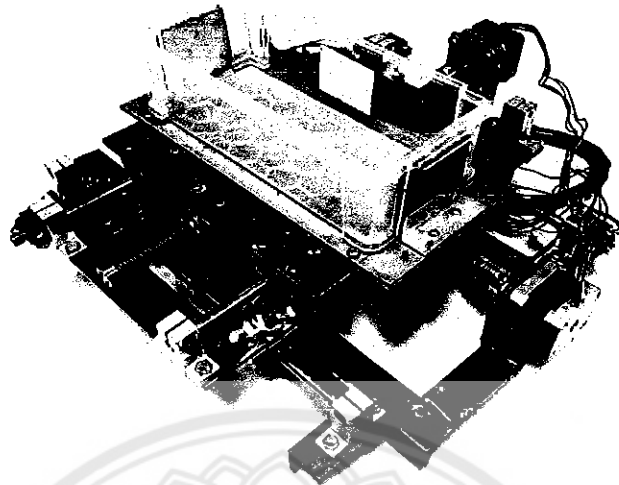


รูปที่ 3.2 แสดงแผนภาพการทำงานของระบบการกัดวัสดุด้วยไฟฟ้าเคมี

จากรูปที่ 3.2 กระบวนการเริ่มต้นโดยใช้คอมพิวเตอร์ควบคุมเครื่อง UTM ในการเคลื่อนที่ขึ้นลง และสั่งการบอร์ดคอนโทรลเลอร์ที่ใช้ควบคุมปั๊ม แล้วอีเล็กโทรด และชิ้นงานติดตั้งเข้าไปที่เครื่อง UTM และใช้ Power Supply เป็นแหล่งจ่ายไฟฟ้าให้กับอีเล็กโทรด และชิ้นงาน

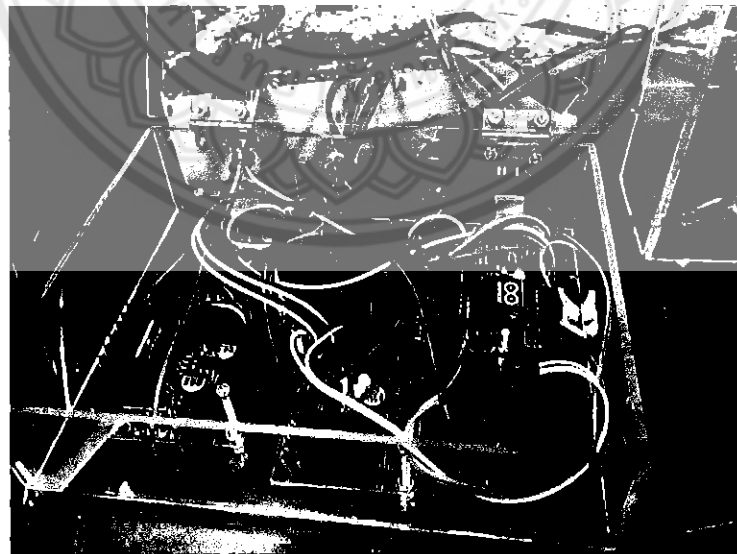


รูปที่ 3.3 แสดงการออกแบบการเคลื่อนที่ในแนวระนาบ



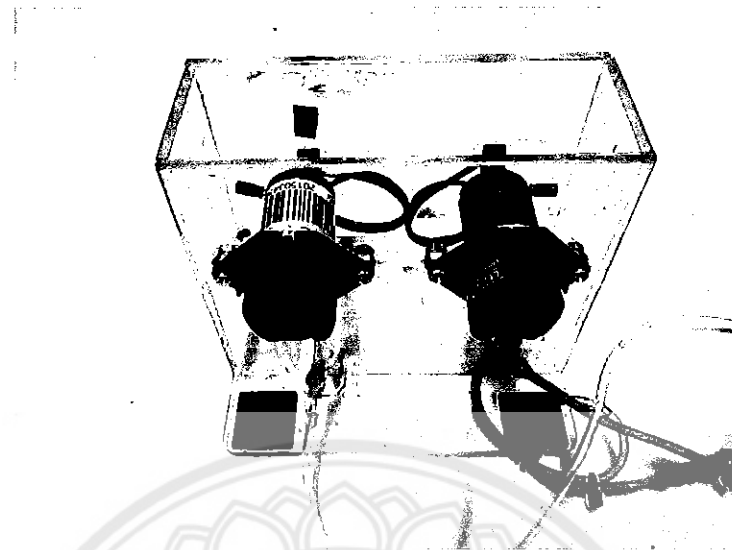
รูปที่ 3.4 แสดงชุดการเคลื่อนที่ในแนวระนาบ XY

ทำการออกแบบ XY stage ของชุดทดลองด้วยโปรแกรม Solidwork ดังแสดงในรูปที่ 3.3 และสร้างชุดทดลองตามแบบ มีการติดตั้ง step motor และกล่องสำหรับรองรับสารอีเล็กโทรไลต์ดัง แสดงในรูปที่ 3.4



รูปที่ 3.5 แสดงบอร์ดชุดควบคุมการทำงาน

ระบบควบคุมประมวลผลด้วย บอร์ด Arduino 1 บอร์ด และ L298N 3 บอร์ดซึ่งมีหน้าที่ ควบคุมการทำงานของ XY Stage และ Peristaltic Pump



รูปที่ 3.6 แสดงปั๊มที่ใช้ในการฉีดสารละลายอีเล็กโทรไลต์

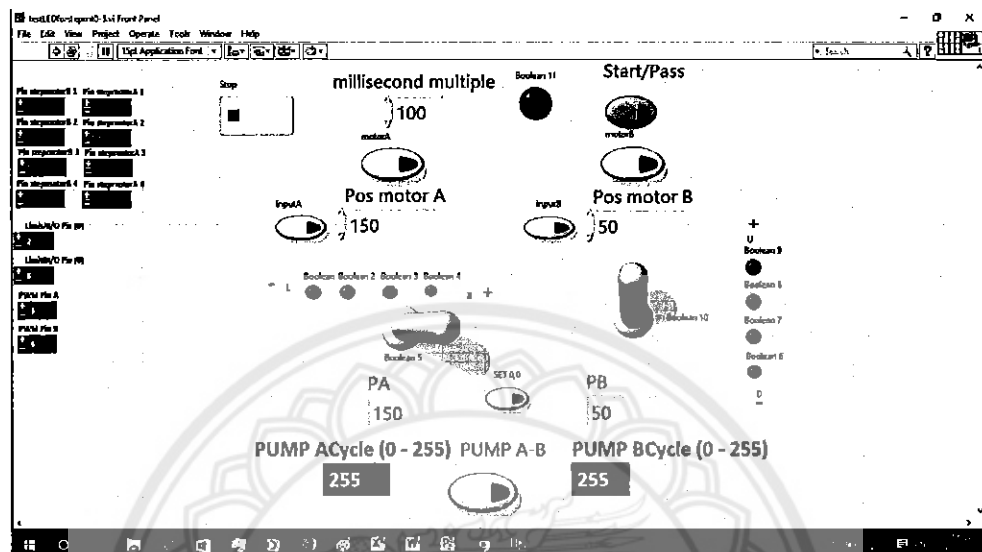
จากรูปที่ 3.6 เป็น Peristaltic Pump 2 ตัว มีการทำแท่นจับยึดด้วยแผ่นอะคริลิคเพื่อเป็นฐานให้กับปั๊ม โดยมีการควบคุมการทำงานของปั๊มด้วยบอร์ด Arduino และ L298N ตามรูปที่ 3.5



รูปที่ 3.7 แสดงชุดลดแรงดันภายในท่อสายยางของระบบการฉีดสารละลายอีเล็กโทรไลต์

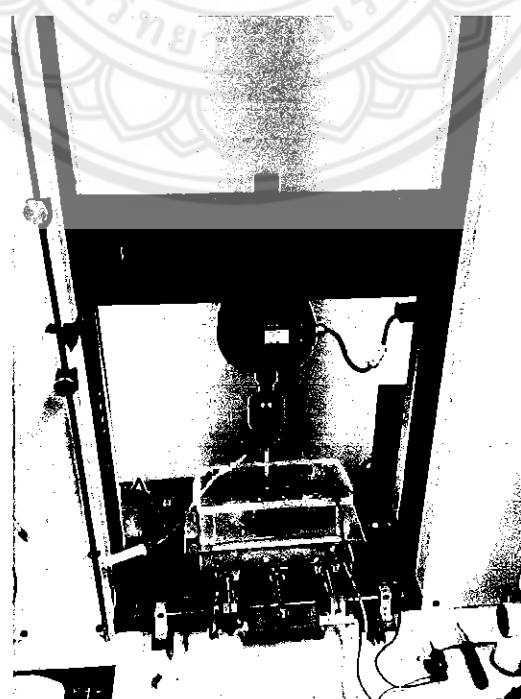
จากรูปที่ 3.7 แสดงชุดลดแรงดันภายในท่อสายยางโดยจะมีทางเข้าของสารละลาย อีเล็กโทรไลต์ 1 ทาง (ด้านบนของชุดลดแรงดัน) ทางออกของสารละลายอีเล็กโทรไลต์ 2 ทาง

(ด้านล่างทางซ้ายและขวาของชุดลดแรงดัน) โดยที่ทางด้านขวาจะໄหลไปสู่เข็มส่วนทางด้านซ้ายจะให้ไปกลับมาสู่บีกเกอร์บรรจุสารละลาย และมีการวัดระดับน้ำภายในด้วย (ด้านหน้าของชุดลดแรงดัน)



รูปที่ 3.8 แสดงโปรแกรมควบคุมระบบด้วยภาษา Labview

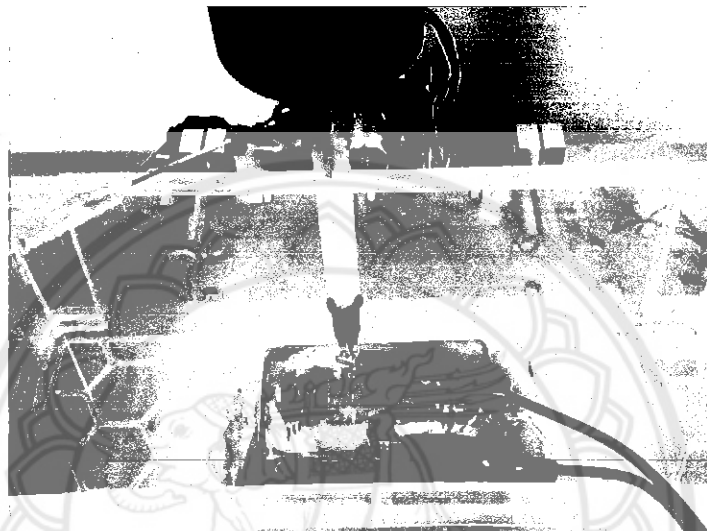
จากรูปที่ 3.8 แสดงโปรแกรมที่ใช้ในการควบคุมการเคลื่อนที่ของ XY stage และการหมุนของ Peristaltic Pump สามารถกำหนดตำแหน่งการเคลื่อน XY stage และอัตราเร็วของ Peristaltic Pump ได้



รูปที่ 3.9 แสดงการติดตั้งชุดทดลองเข้ากับเครื่อง UTM



จากรูปที่ 3.9 แสดงการตัดชุดทดลองเข้ากับเครื่อง UTM โดย Stage XY จะยึดน็อตไว้ ส่วนล่างเพื่อไว้ใช้ในการเคลื่อนที่ชิ้นงานในแนวแกน X-Y ส่วนเครื่องมือที่ใช้ในการจับอีเล็กโทรดก็จะใช้น็อตยึดติดเข้ากับส่วนคานบนของเครื่อง UTM



รูปที่ 3.10 แสดงภาพระหว่างกระบวนการเจาะ

จากรูปที่ 3.10 แสดงถึงกระบวนการในการเจาะรูระดับไมโครด้วยกระบวนการเจาะวัสดุด้วยไฟฟ้าเคมี โดยจะใช้อีเล็กโทรดคือ เข็มฉีดยาขนาด 550 ไมโครเมตร ชิ้นงานเป็นแผ่นสเตนเลสหนา 0.5 มิลลิเมตร มีการต่อขั้วลงไปที่อีเล็กโทรด ขั้วบวกไปที่ชิ้นงาน

3.2 วิธีการทดลอง

3.2.1 นำขั้วบวกหนีบเข้ากับชิ้นงานและขั้วลบหนีบเข้ากับเข็มฉีดยา (ชุดหัวเจาะ) ซึ่งติดอยู่ กับเครื่อง UTM

3.2.2 ปั๊มสารละลายผ่านชุดลดแรงดันเข้ามาที่เข็มฉีดยา

3.2.3 จ่ายกระแสไฟฟ้าที่ 0.5 แอม培ร์

3.3.4 ก่อนทำการเจาะปลายเข็มฉีดยากับชิ้นงานห่างกัน 50 ไมโครเมตร

3.3.5 ค่อยๆเคลื่อนเครื่อง UTM ลงมาตามความเร็วที่กำหนดจนกระทั่งชิ้นงานทะลุ เมื่อทะลุแล้วจึงจะสามารถลอกไขว้ออก 10 ไมโครเมตร จึงจะยกเข็มฉีดยาขึ้น

ในการทดลองจะทำการศึกษาปัจจัยต่างๆ ที่ส่งผลต่อการเจาะรูระดับไมโครด้วยไฟฟ้าเคมี ซึ่ง ปัจจัยที่ทำการศึกษา มี ความเร็วในการเคลื่อนที่อีเล็กโทรดความต่างศักย์ไฟฟ้า และชนิดของ

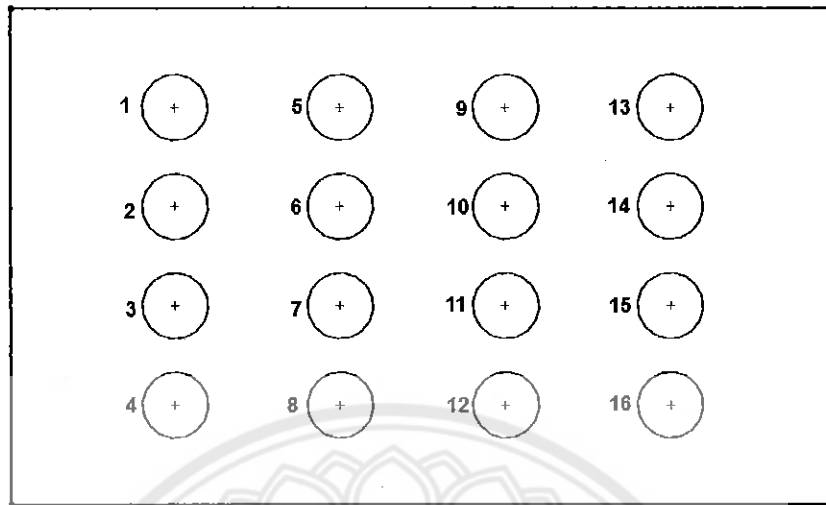
สารละลายน้ำอีเล็กโทรไลต์ ซึ่งขึ้นงานที่ใช้ในการทดสอบ คือ แผ่นสแตนเลสหนา 0.5 มิลลิเมตร กระแทกไฟฟ้าที่ใช้ 0.5 แอมป์ อัตราการไฟลอกสารอีเล็กโทรไลต์ 14 มิลลิตรต่อนาที มีการทดสอบ 2 รูปแบบ โดยมีรายละเอียดตารางที่ 1 และตารางที่ 2 ตามลำดับดังนี้

3.2.1 การทดลองรูปแบบที่ 1 แผ่นสแตนเลสกับน้ำเกลือ (NaCl)

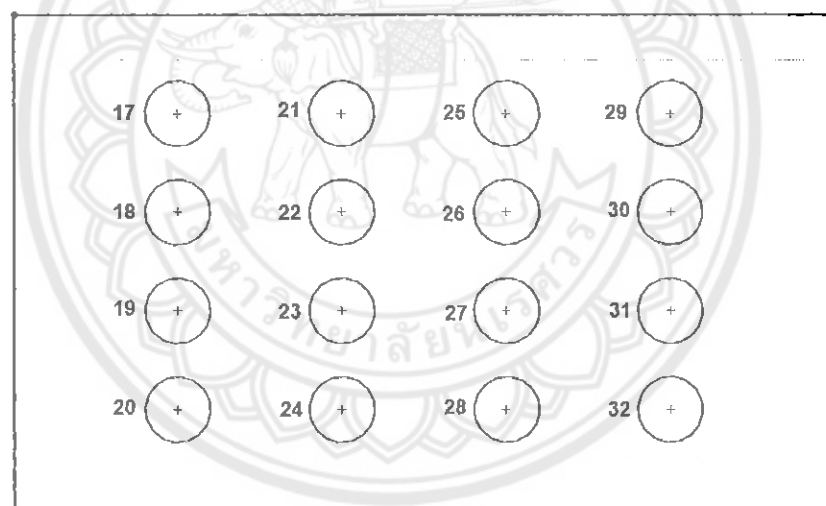
ตารางที่ 3.1 แสดงลำดับการทดสอบการเจาะรูของการทดลองรูปแบบที่ 1

การทดลองที่	ความต่างศักย์ (โวลต์)	ความเร็วในการเคลื่อนอีเล็กโทรด (เมตรเมตรต่อนาที)
1-4	4.5	20
5-8	4.5	10
9-12	6	20
13-16	6	10
17-20	7.5	20
21-24	7.5	10
25-28	9	20
28-32	9	10

จากตารางที่ 3.11 แสดงลำดับในการทดสอบการเจาะรู โดยวัดที่ใช้เป็นแผ่นสแตนเลสความหนา 0.5 มิลลิเมตรและใช้น้ำเกลือความเข้มข้น 0.1 มอลาร์ เป็นสารอีเล็กโทรไลต์ แล้วเริ่มเจาะจากบันลงล่างขึ้นไปตามรูปที่ 3.11 และ 3.12 ดังนี้



รูปที่ 3.11 แสดงลำดับในการออกแบบการเจาะรูที่ 1-16 บนแผ่นสแตนเลส



รูปที่ 3.12 แสดงลำดับในการออกแบบการเจาะรูที่ 17-32 บนแผ่นสแตนเลส

จากรูปที่ 3.11 และ 3.12 แสดงลำดับการเจาะรูบนแผ่นสแตนเลส โดยมีระยะห่างของแต่ละแฉวเท่ากับ 2.4 มิลลิเมตร และระยะห่างของแต่ละหลักเท่ากับ 4 มิลลิเมตร แต่ละรูจะรายล้อมเอียงตั้งนี้

- รูที่ 1-4 จะใช้ความต่างศักย์ 4.5 โวลต์ ความเร็วในการเคลื่อนที่ 20 ไมโครเมตรต่อนาที
- รูที่ 5-8 จะใช้ความต่างศักย์ 4.5 โวลต์ ความเร็วในการเคลื่อนที่ 10 ไมโครเมตรต่อนาที
- รูที่ 9-12 จะใช้ความต่างศักย์ 6 โวลต์ ความเร็วในการเคลื่อนที่ 20 ไมโครเมตรต่อนาที
- รูที่ 13-16 จะใช้ความต่างศักย์ 6 โวลต์ ความเร็วในการเคลื่อนที่ 10 ไมโครเมตรต่อนาที

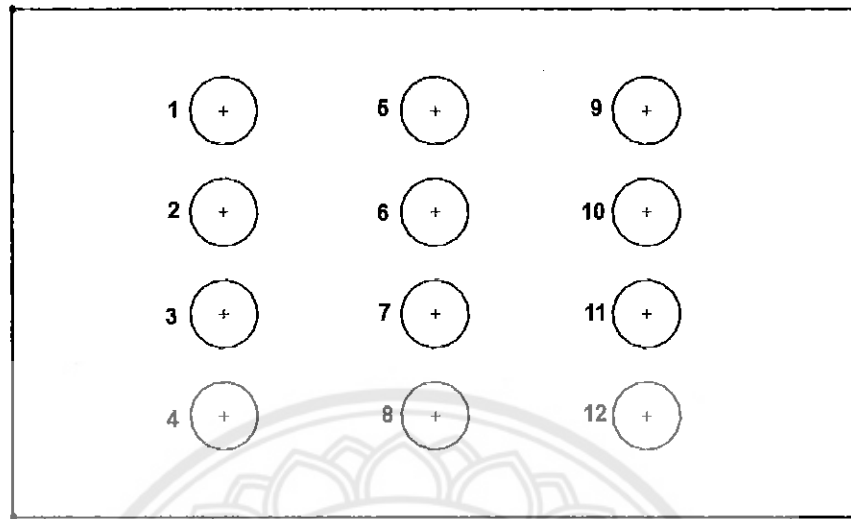
- รูที่ 17-20 จะใช้ความต่างศักย์ 7.5 โวลต์ ความเร็วในการเคลื่อนที่ 20 ไมโครเมตรต่อนาที
- รูที่ 21-24 จะใช้ความต่างศักย์ 7.5 โวลต์ ความเร็วในการเคลื่อนที่ 10 ไมโครเมตรต่อนาที
- รูที่ 25-28 จะใช้ความต่างศักย์ 9 โวลต์ ความเร็วในการเคลื่อนที่ 20 ไมโครเมตรต่อนาที
- รูที่ 29-32 จะใช้ความต่างศักย์ 9 โวลต์ ความเร็วในการเคลื่อนที่ 10 ไมโครเมตรต่อนาที

3.2.2 การทดลองรูปแบบที่ 2 แผ่นสแตนเลสกับกรดซัลฟิวริก (H_2SO_4)

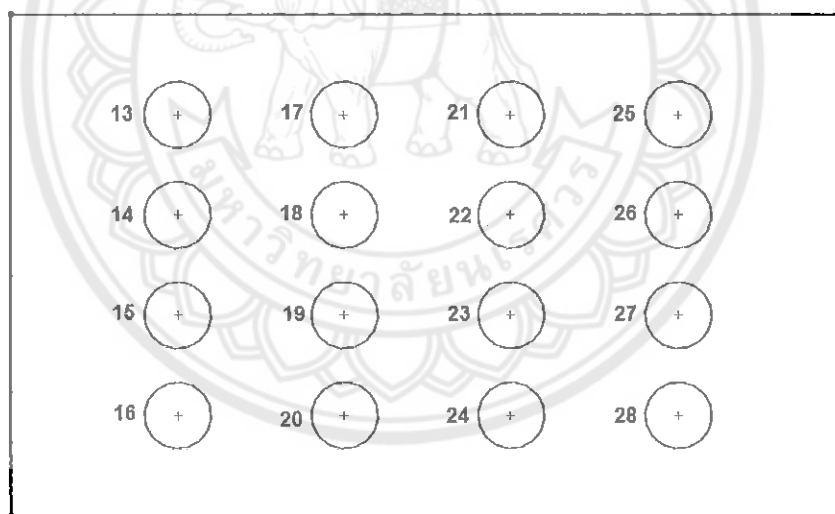
ตารางที่ 3.2 แสดงลำดับการทดสอบการเจาะรูของการทดลองรูปแบบที่ 2

การทดลองที่	ความต่างศักย์ (โวลต์)	ความเร็วในการเคลื่อนอิเล็กโทรด (ไมโครเมตรต่อนาที)
1-4	6	20
5-8	7.5	20
9-12	9	20
13-16	4.5	10
17-20	6	10
21-24	7.5	10
25-28	9	10

จากตารางที่ 3.2 แสดงลำดับในการทดสอบการเจาะรู โดยวัดดูที่ใช้เป็นแผ่นสแตนเลสความหนา 0.5 มิลลิเมตร และใช้กรดซัลฟิวริก ความเข้มข้น 0.1 โนมาร์ เป็นสารอิเล็กโทรไลต์ และเริ่มเจาะจากบนลงล่างซ้ายไปขวาตามรูปที่ 3.13 และ 3.14 ดังนี้



รูปที่ 3.13 แสดงลำดับในการออกแบบการเจาะรูที่ 1-12 บนแผ่นสแตนเลส



รูปที่ 3.14 แสดงลำดับในการออกแบบการเจาะรูที่ 13-28 บนแผ่นสแตนเลส

จากรูปที่ 3.13 และ 3.14 แสดงลำดับการเจาะรูบนแผ่นสแตนเลส โดยมีระยะห่างของแท่นแต่ละแท่นเท่ากับ 2.4 มิลลิเมตร และระยะห่างของแท่นหลักเท่ากับ 4 มิลลิเมตร แท่นรูเจาะรายละเอียดดังนี้

- รูที่ 1-4 จะใช้ความต่างศักย์ 6 โวลต์ ความเร็วในการเคลื่อนที่ 20 ไมโครเมตรต่อนาที
- รูที่ 5-8 จะใช้ความต่างศักย์ 7.5 โวลต์ ความเร็วในการเคลื่อนที่ 20 ไมโครเมตรต่อนาที
- รูที่ 9-12 จะใช้ความต่างศักย์ 9 โวลต์ ความเร็วในการเคลื่อนที่ 20 ไมโครเมตรต่อนาที

- รูที่ 13-16 จะใช้ความต่างศักย์ 4.5 โวลต์ ความเร็วในการเคลื่อนที่ 10 ไมโครเมตรต่อนาที
- รูที่ 17-20 จะใช้ความต่างศักย์ 6 โวลต์ ความเร็วในการเคลื่อนที่ 10 ไมโครเมตรต่อนาที
- รูที่ 21-24 จะใช้ความต่างศักย์ 7.5 โวลต์ ความเร็วในการเคลื่อนที่ 10 ไมโครเมตรต่อนาที
- รูที่ 25-28 จะใช้ความต่างศักย์ 9 โวลต์ ความเร็วในการเคลื่อนที่ 10 ไมโครเมตรต่อนาที

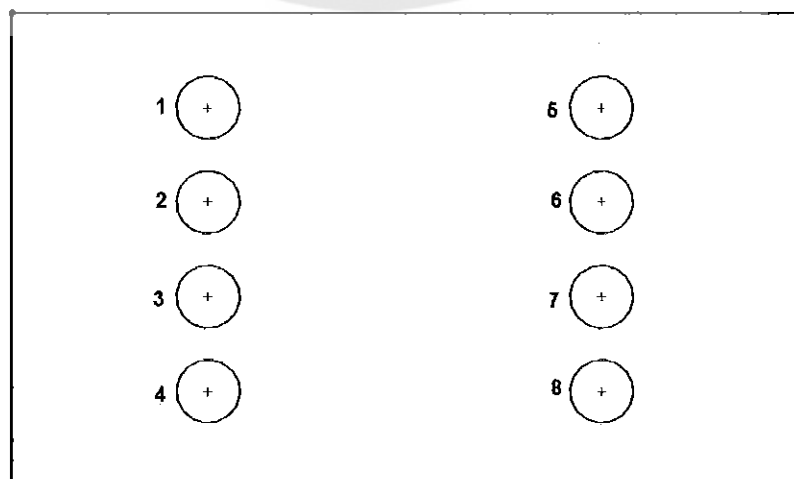
หมายเหตุ ในการทดลองที่ความต่างศักย์ 4.5 โวลต์ ความเร็วในการเคลื่อนที่ 20 ไมโครเมตรต่อนาที ไม่สามารถจะจะนทະลุได้ เนื่องจากปฏิกิริยาในการกัดวัสดุช้า ทำให้เกิดการชนกันระหว่าง อีเล็กโทรด (เข็มฉีดยา) กับแผ่นโลหะ (แผ่นสแตนเลส) ส่งผลให้ไม่เกิดปฏิกิริยา

3.2.3 การทดลองรูปแบบที่ 3 แผ่นสแตนเลสกับโซเดียมไนเตรต (NaNO_3)

ตารางที่ 3.3 แสดงลำดับการทดสอบการเจาะรูของการทดลองรูปแบบที่ 3

การทดลองที่	ความต่างศักย์ (โวลต์)	ความเร็วในการเคลื่อนอีเล็กโทรด (ไมโครเมตรต่อนาที)
1-4	9	10
5-8	12	10

จากตารางที่ 3.3 แสดงลำดับในการทดสอบการเจาะรู โดยวัสดุที่ใช้เป็นแผ่นสแตนเลสความหนา 0.5 มิลลิเมตร และใช้โซเดียมไนเตรต ความเข้มข้น 0.1 มอลาร์ เป็นสารอีเล็กโทรไลต์ แล้วเริ่มเจาะจากบนลงล่างซ้ายไปขวาตามรูปที่ 3.15 ดังนี้



รูปที่ 3.15 แสดงลำดับในการออกแบบการเจาะรูที่ 1-8 บนแผ่นสแตนเลส

จากรูปที่ 3.15 แสดงลำดับการเจาะรูบแพ่นสแตนเลส โดยมีระยะห่างของแต่ละแทบท่ากับ 2.4 มิลลิเมตร และระยะห่างของแต่ละหลักเท่ากับ 8.8 มิลลิเมตร แต่ละรูเจาะรายละเอียดดังนี้

- รูที่ 1-4 จะใช้ความต่างศักย์ 6 โวลต์ ความเร็วในการเคลื่อนที่ 20 ไมโครเมตรต่อนาที

- รูที่ 5-8 จะใช้ความต่างศักย์ 7.5 โวลต์ ความเร็วในการเคลื่อนที่ 20 ไมโครเมตรต่อนาที

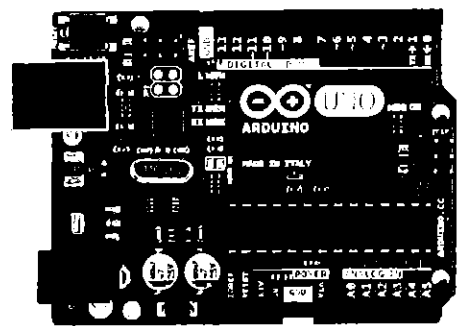
หมายเหตุ ในการทดลองที่ความต่างศักย์ 4.5, 6, 7.5 โวลต์ ความเร็วในการเคลื่อนที่ 10 และ 20 ไมโครเมตรต่อนาที และการทดลองที่ความต่างศักย์ 9, 12 โวลต์ ความเร็วในการเคลื่อนที่ 20 ไมโครเมตรต่อนาที ไม่สามารถเจาะจนทะลุได้ เนื่องจากปฏิกิริยาในการกัดวัสดุช้า ทำให้เกิดการชนกันระหว่างอีเล็กโทรด (เข็มฉีดยา) กับแพ่นโลหะ (แพ่นสแตนเลส) ส่งผลให้ไม่เกิดปฏิกิริยา



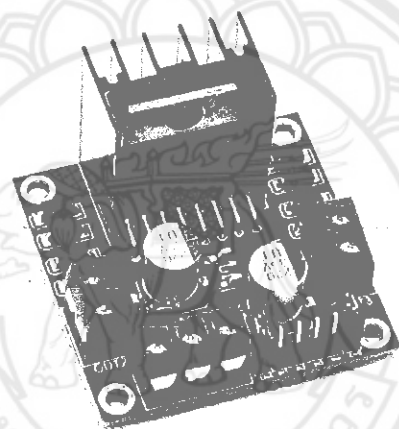
3.3 เครื่องมือและอุปกรณ์ที่ใช้

ตารางที่ 3.4 แสดงเครื่องมือและอุปกรณ์ที่ใช้ในการทดลอง

เครื่องมือ/อุปกรณ์	ยี่ห้อ/รุ่น	คุณสมบัติ
ระบบควบคุม	Arduino	บอร์ดไมโครคอนโทรลเลอร์ สำเร็จรูป
ระบบควบคุม	L298N	สามารถขับมอเตอร์ได้ถึง 2 ตัว
ปั๊ม	peristaltic pump	ไม่มีขี้นส่วนใดของปั๊มที่จะสัมผัส กับของเหลวในสายยาง
ท่อ PVC	ท่อน้ำไทย	แข็ง เหนียว
สายยาง	ท่อออกซิเจนตู้ปลา	หนา เหนียว
เข็มฉีดยา	NIPRO	ขนาด 24Gx1 (0.55x25 มิลลิเมตร)
เครื่อง UTM	รุ่น H50KS	เคลื่อนที่ลงทีละช้าๆได้
Stainless Steel หนา 5 มิลลิเมตร	เกรด 304	ไม่เป็นสนิม ทนต่อการกัดกร่อน
Linear Ball Bearing Block	-	สำหรับพลา 8 มิลลิเมตร
Lead Screw เส้นผ่านศูนย์กลาง 8 มิลลิเมตรยาว 300 มิลลิเมตร	THK	น็อตฟิดแบบเลื่อนมีความ เที่ยงตรงสูง
เพลาเส้นผ่านศูนย์กลาง 8 มิลลิเมตร	-	สำหรับการเคลื่อนที่
Step Motor	17HS54401	ทอร์กสูง
Coupling 5 มิลลิเมตร - 8 มิลลิเมตร	-	ต่อ step motor เข้ากับเพลา
Support 8 มิลลิเมตร	-	สำหรับพลา 8 มิลลิเมตร
Limit switch	TEMCO	สำหรับตัววงจร
หัวสว่าน	BOSCH	แข็งแรง ทนทาน
น็อต	SJ	เกลี้ยงแข็ง เหนียว
สายไฟจัมเปอร์	-	ต่อกับอุปกรณ์ได้ແเน່ນຍິ່ງຂຶ້ນ
Power Supply	SPECTRUM	อะแดปเตอร์ 3-12 โวลต์. 1000 มิลลิแอมป์
ปิกเกอร์	SCI	ใส่สารละลายอีเล็กโทรไลต์
มัลติมิเตอร์	UT30D	มีความแม่นยำในการวัดสูง



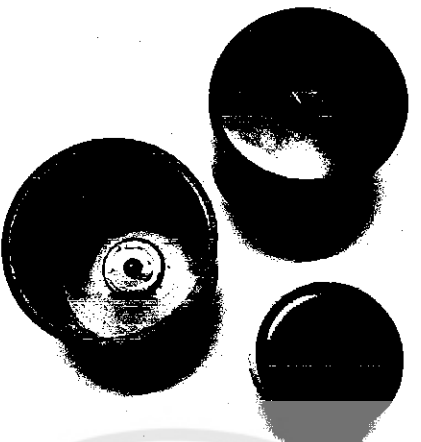
รูปที่ 3.16 แสดงบอร์ดไมโครคอนโทรลเลอร์ Arduino



รูปที่ 3.17 แสดงบอร์ดขับมอเตอร์ รุ่น L298N



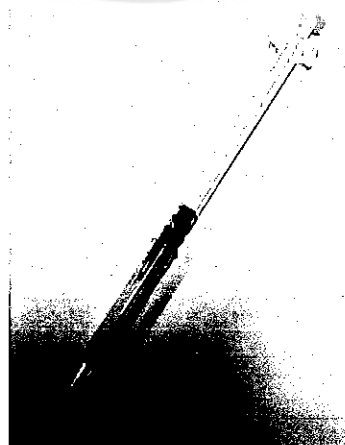
รูปที่ 3.18 แสดงบีมที่ใช้ในการฉีดสารอีเล็กโทรไลต์ชนิด Peristaltic pump



รูปที่ 3.19 แสดงห่อ PVC ที่ใช้ในการทำขุดลดแรงดันภายในสายยาง



รูปที่ 3.20 แสดงภาพสายยางที่ใช้ในการสำลีงสารอีเล็กโทรไลต์



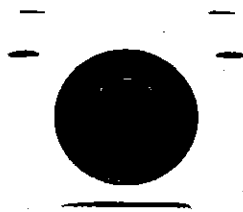
รูปที่ 3.21 แสดงภาพของเข็มฉีดยางที่ใช้เป็นอีเล็กโทรด



รูปที่ 3.22 แสดงภาพของเครื่อง UTM รุ่น H50KS



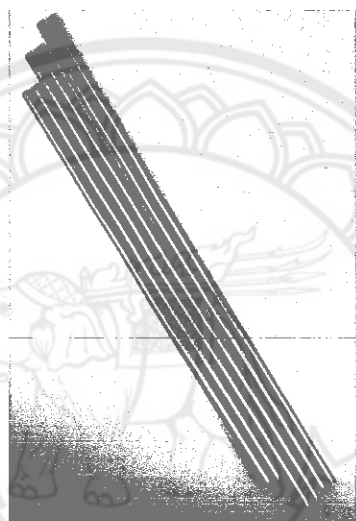
รูปที่ 3.23 แสดงภาพวัสดุที่ใช้ในการทดสอบชนิด Stainless Steel



รูปที่ 3.24 แสดงภาพ Linear Ball Bearing Block



รูปที่ 3.25 แสดงภาพ Lead Screw



รูปที่ 3.26 แสดงภาพเพลาที่ใช้มีขนาดเส้นผ่านศูนย์กลาง 8 มิลลิเมตร



รูปที่ 3.27 แสดงภาพ Stepper Motor ที่ใช้ในการขับ XY Stage

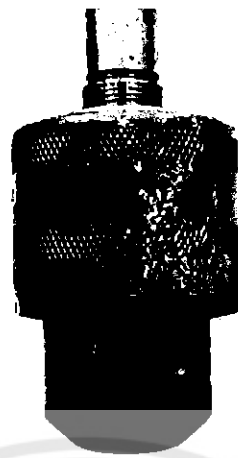


รูปที่ 3.28 แสดงรูป Coupling ขนาด 5 มิลลิเมตร – 8 มิลลิเมตร



รูปที่ 3.29 แสดงภาพ Support ที่มีช่องสวัมเพลาขนาด 8 มิลลิเมตร

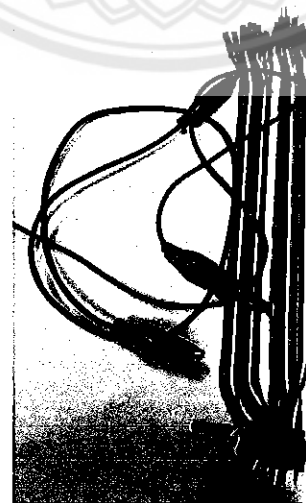
รูปที่ 3.30 แสดงภาพ Limit Switch



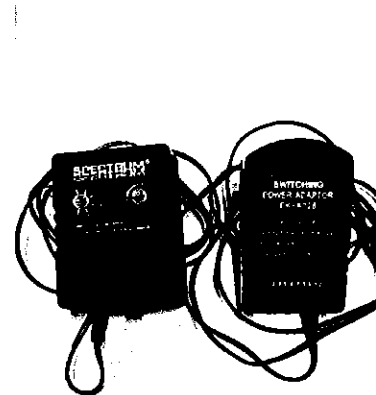
รูปที่ 3.31 แสดงภาพของหัวสว่านที่ใช้ในการจับอีเล็กโทรด



รูปที่ 3.32 แสดงภาพของน็อตที่ใช้ในการจับยึด XY Stage



รูปที่ 3.33 แสดงภาพของสายไฟที่ใช้ต่อวงจรภายในระบบ



รูปที่ 3.34 แสดงภาพ Power Supply ที่ใช้ในการจ่ายกระแสไฟฟ้าให้กับระบบ



รูปที่ 3.35 แสดงภาพของบีกเกอร์ที่ใช้ในการบรรจุสารอีเล็กโทรไลต์



รูปที่ 3.36 แสดงภาพของมัลติมิเตอร์ที่ใช้ตรวจวัดโวลต์ และกระแสไฟฟ้าของระบบ

3.4 วิธีการวิเคราะห์ข้อมูล

นำผลการทดลองที่ความต่างศักย์ต่างกัน (V) สารละลายอีเล็กโทรไลต์ต่างกัน และอัตราใน การเคลื่อนที่ของอีเล็กโทรดต่างกันมาเปรียบเทียบกับขนาดของรูเจาะ (D) เวลาที่ใช้ (t) และระยะ สิ้นสุดของกระบวนการเจาะ (S_e) มาวิเคราะห์หาปัจจัยที่ส่งผลกระทบต่อกุณภาพของรูเจาะ

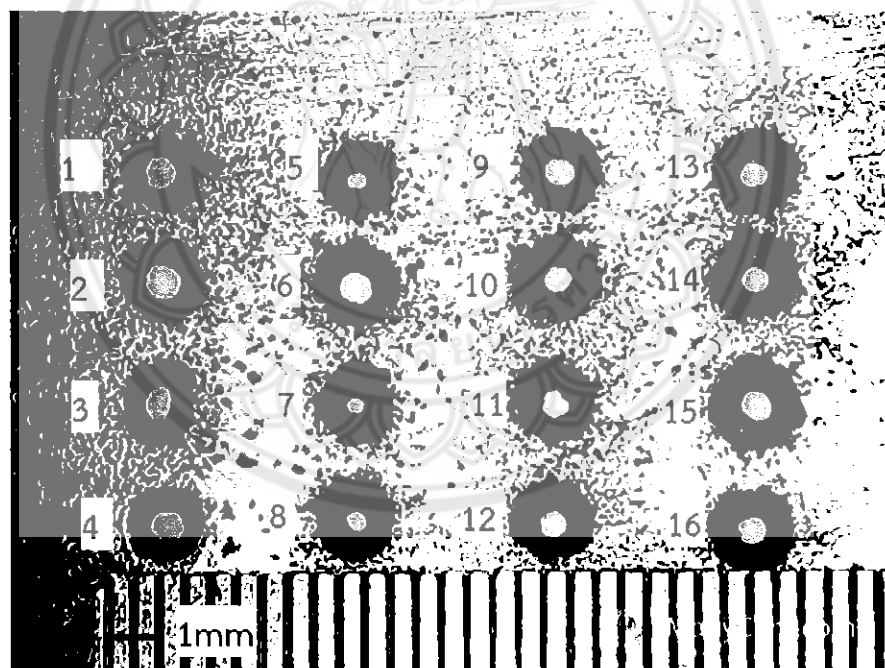


บทที่ 4

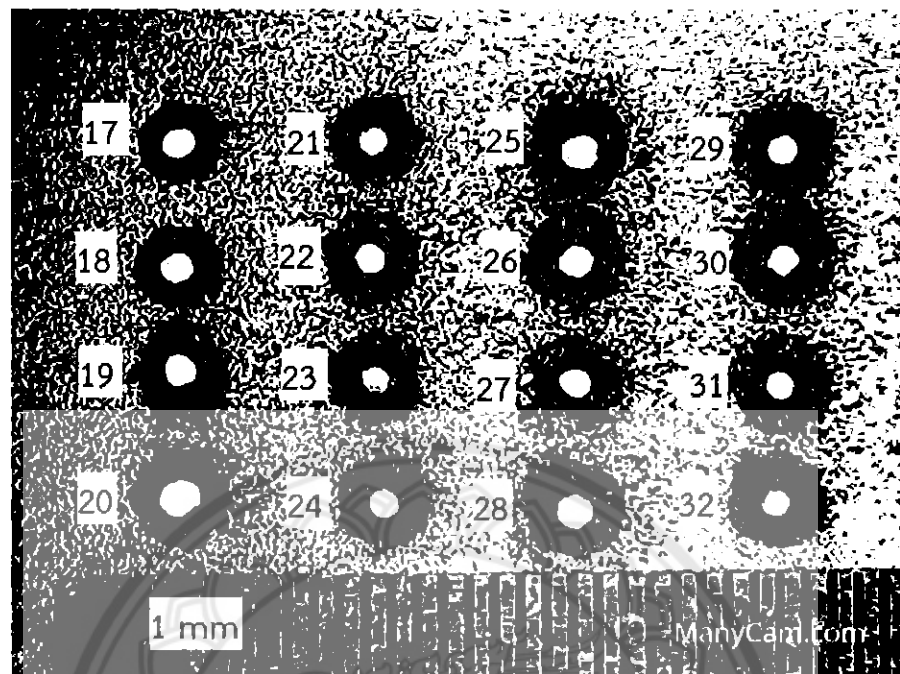
ผลการทดลอง และวิเคราะห์ผลการทดลอง

การวิเคราะห์ผลการทดลองของกระบวนการ ECM จากชุดทดลองที่ได้สร้างขึ้นนั้น ประกอบด้วยการเปรียบเทียบ ความต่างศักย์ที่ใช้ในกระบวนการ อัตราการเคลื่อนที่ลงของอิเล็กโทรด ซึ่งควบคุมด้วยเครื่อง UTM และชนิดของสารละลายอิเล็กโทรไลต์ใช้ เพื่อหาปัจจัยที่ส่งผลต่อคุณภาพ ของรูเจาะ คือ ขนาดของรูเจาะ และความเรียบของผิวชิ้นงานที่ดีที่สุด

4.1 ผลการทดลองขุดที่ 1โซเดียมคลอไรด์ (NaCl)

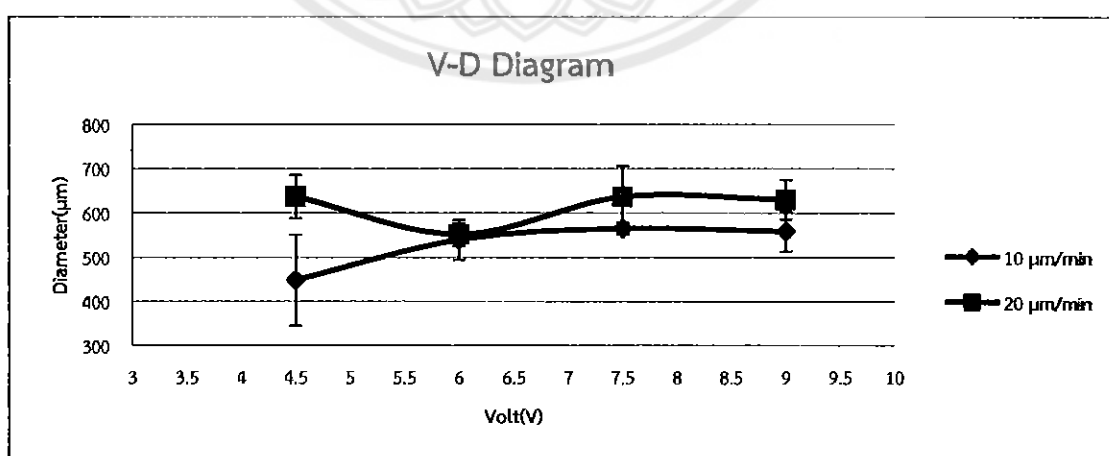


รูปที่ 4.1 แสดงรูเจาะครั้งที่ 1-16 (แผ่นที่ 1)



รูปที่ 4.2 แสดงรูเจาะครั้งที่ 17-32 (แผ่นที่ 2)

จากรูปที่ 4.1 และ 4.2 การเจาะโดยปรับปัจจัยต่างก็จะส่งผลต่อขนาดของรูต่างกันไป แต่ที่สังเกตได้ชัดคือ รูปที่ 4.2 ผิวของชิ้นงานนั้นจะมีรอยขรุขระมากกว่า รูปที่ 4.1 เนื่องจากแผ่นที่สองนั้นเป็นการทดลองที่ใช้ความต่างศักย์สูงกว่า แสดงว่าความต่างศักย์นั้นก็จะส่งผลต่อความเรียบของผิวนอกชิ้นงานด้วย



กราฟที่ 4.1 แสดงกราฟเปรียบเทียบระหว่างความต่างศักย์ และขนาดของรูเจาะ 1-32 (NaCl)

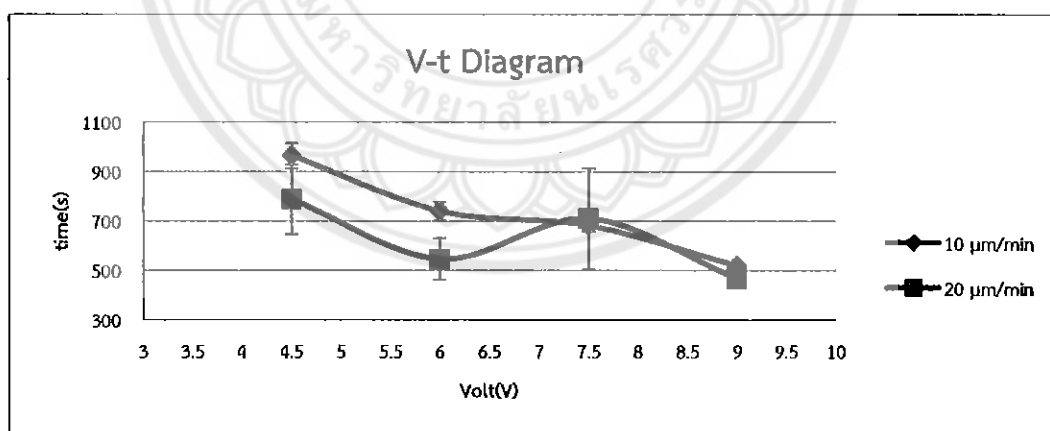
จากราฟที่ 4.1 สังเกตได้ว่าที่ระดับ ความต่างศักย์เดียวกันนั้น การใช้อัตราการเคลื่อนอีเล็กโตรดที่มากกว่า (20 ไมโครเมตรต่อนาที) จะทำให้เกิดขนาดรูเจาะที่ใหญ่กว่าเล็กน้อย โดยที่

20 ไมโครเมตรต่อนาที มีเส้นผ่านศูนย์กลางเฉลี่ย 613.625 ไมโครเมตร และที่ 10 ไมโครเมตรต่อนาที มีเส้นผ่านศูนย์กลางเฉลี่ย 527.5625 ไมโครเมตร

แต่ถ้าสังเกตเพียงอัตราเร็วของอีเล็กโทรดค่าไดค่าหนึ่งนั้น การปรับเปลี่ยนค่าความต่างศักย์ไปเรื่อยๆนั้นยังไม่สามารถบอกได้ว่าจะส่งผลต่อขนาดของรู

เนื่องจากได้ทำการทดลอง 4 ครั้งในแต่ละความต่างศักย์ ในกราฟที่ 4.1 มีการแสดงให้เห็นถึงการกระจายตัวของข้อมูลของแต่ละความต่างศักย์ สำหรับอัตราการเคลื่อนที่ของอีเล็กโทรด 20 ไมโครเมตรต่อนาที ข้อมูลมีการกระจายตัวมากที่สุดอยู่ที่ 7.5 โวลต์ และน้อยที่สุดอยู่ที่ 6 โวลต์ และอัตราการเคลื่อนที่ของอีเล็กโทรด 10 ไมโครเมตรต่อนาที ข้อมูลมีการกระจายตัวมากที่สุดอยู่ที่ 4.5 โวลต์ และน้อยที่สุดอยู่ที่ 7.5 โวลต์

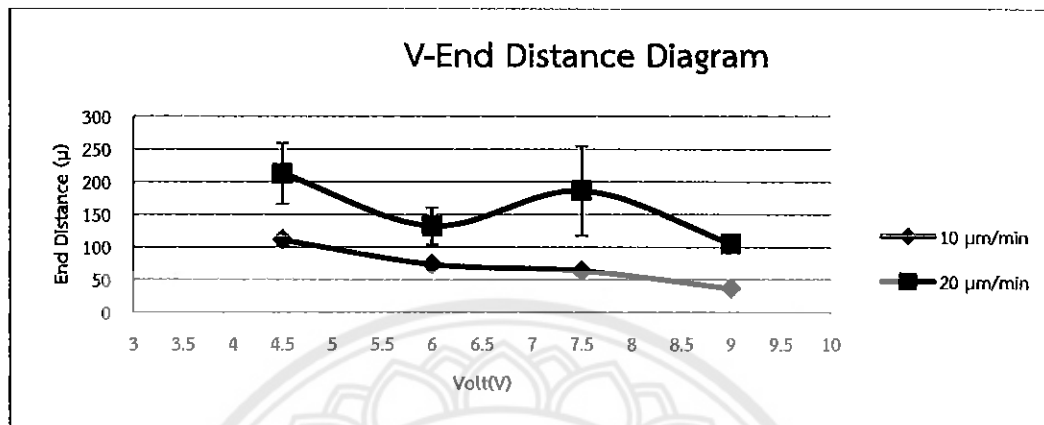
เห็นได้ว่าแนวโน้มของกราฟนี้น่าจะบอกได้ว่าความต่างศักย์ที่ใช้จะส่งผลต่อขนาดรูเจาะ จะสังเกตได้ว่าที่อัตราการเคลื่อนที่ของอีเล็กโทรด 20 ไมโครเมตรต่อนาที ความต่างศักย์ 6 โวลต์ นั้นขนาดเส้นผ่านศูนย์กลางของรูมีค่าที่น้อยกว่าที่ความต่างศักย์อื่นๆมาก ซึ่งอาจจะเกิดจากการที่เราสังเกตเห็นน้ำที่พุ่งลงมาเร็วกว่าปกติ เนื่องจากแต่ละรูเราจะหยุดกระบวนการเมื่อมองเห็นสายน้ำที่พุ่งทะลุชั้นงานลงมาข้างล่าง รูอีนๆที่มีขนาดเส้นผ่านศูนย์กลางมากกว่าเป็นเพราะเราไม่สังเกตเห็นสายน้ำโดยทันทีจึงทำให้รูมีขนาดเส้นผ่านศูนย์กลางใหญ่ขึ้นเรื่อยๆ



กราฟที่ 4.2 แสดงกราฟเปรียบเทียบระหว่างความต่างศักย์ และเวลาที่ใช้ (NaCl)

จากราฟที่ 4.2 สังเกตได้ชัดว่าเมื่อมีการเพิ่มความต่างศักย์ขึ้นเรื่อยๆนั้น เวลาที่ใช้ในการเจาะจะมีแนวโน้มลดลง แสดงว่าการใช้ความต่างศักย์ที่สูงขึ้นจะทำให้ชั้นงานเจาะทะลุเร็วขึ้น โดยเฉลี่ยแล้วที่อัตราการเคลื่อนที่ของอีเล็กโทรด 20 ไมโครเมตรต่อนาที จะใช้เวลาในการเจาะให้ทะลุ 627 วินาทีต่อหนึ่งรู น้อยกว่าที่อัตราการเคลื่อนที่ของอีเล็กโทรด 10 ไมโครเมตรต่อนาที ซึ่งใช้เวลา

เฉลี่ย 726 วินาทีต่อหนึ่งรู การกระจายตัวของข้อมูลที่ 10 ไมโครเมตรต่อนาที นั้นมีคุณภาพมากกว่า เนื่องจากมีการกระจายตัวที่น้อยกว่า และมีแนวโน้มดีขึ้นเรื่อยเมื่อใช้ความต่างศักย์ที่สูงขึ้น



กราฟที่ 4.3 แสดงกราฟเปรียบเทียบระหว่างความต่างศักย์ และระยะความลึกของอิเล็กโทรดที่ทำให้ ชั้นงานทะลุ (NaCl)

จากราฟที่ 4.3 ถ้าเปรียบเทียบระหว่างอัตราเร็วการเคลื่อนอิเล็กโทรดที่ต่างกัน ที่อัตราเร็ว 20 ไมโครเมตรต่อนาที จะทำให้เข้มลักษณะเคลื่อนที่ลงได้ลึกกว่าก่อนที่ชั้นงานจะทะลุ โดยมีค่าระยะลึกเฉลี่ย 159 ไมโครเมตร ที่อัตราเร็ว 10 ไมโครเมตรต่อนาที มีค่าระยะลึกเฉลี่ย 71 ไมโครเมตร และเมื่อ สังเกตในอัตราเร็วค่าได้ค่าหนึ่ง การใช้ความต่างศักย์ที่ต่ำกว่าจะทำให้เข้มลักษณะเคลื่อนที่ลงได้ลึกกว่า การกระจายตัวของข้อมูลที่ 10 ไมโครเมตรต่อนาที นั้นมีคุณภาพมากกว่า เนื่องจากมีการกระจายตัวที่ น้อยกว่า และมีแนวโน้มดีขึ้นเรื่อยๆ เมื่อใช้ความต่างศักย์ที่สูงขึ้น

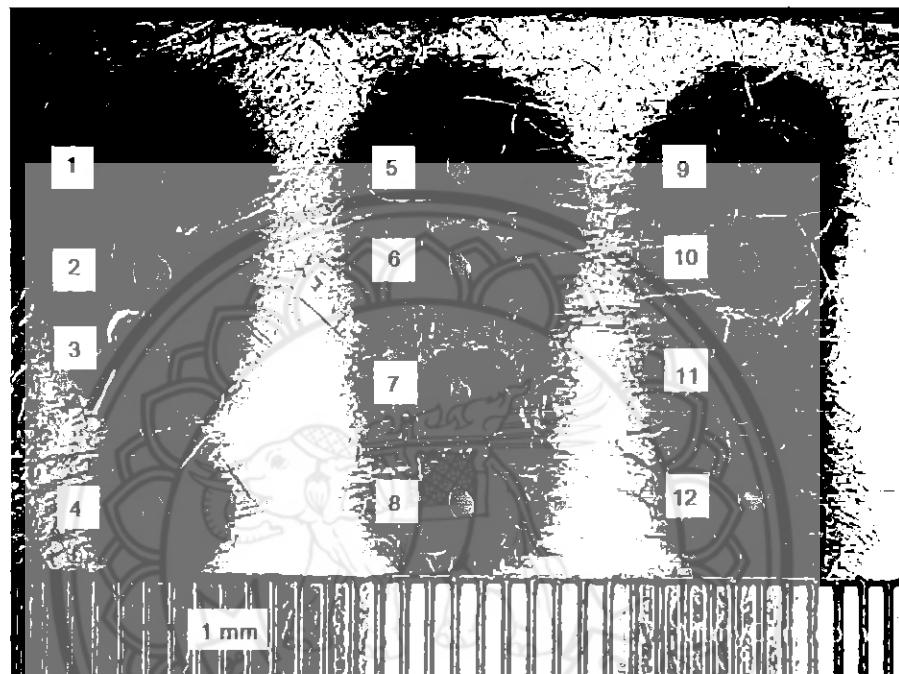
ตารางที่ 4.1 ระยะห่างซ่องว่างระหว่างอิเล็กโทรดกับผิวชั้นงาน (NaCl)

ความต่างศักย์ (โวลต์)	Gap (ไมโครเมตร)	
	10 ไมโครเมตร ต่อนาที	20 ไมโครเมตร ต่อนาที
4.5	389.25	287.5
6	426.75	367.75
7.5	436.5	313.5
9	463.5	394.5

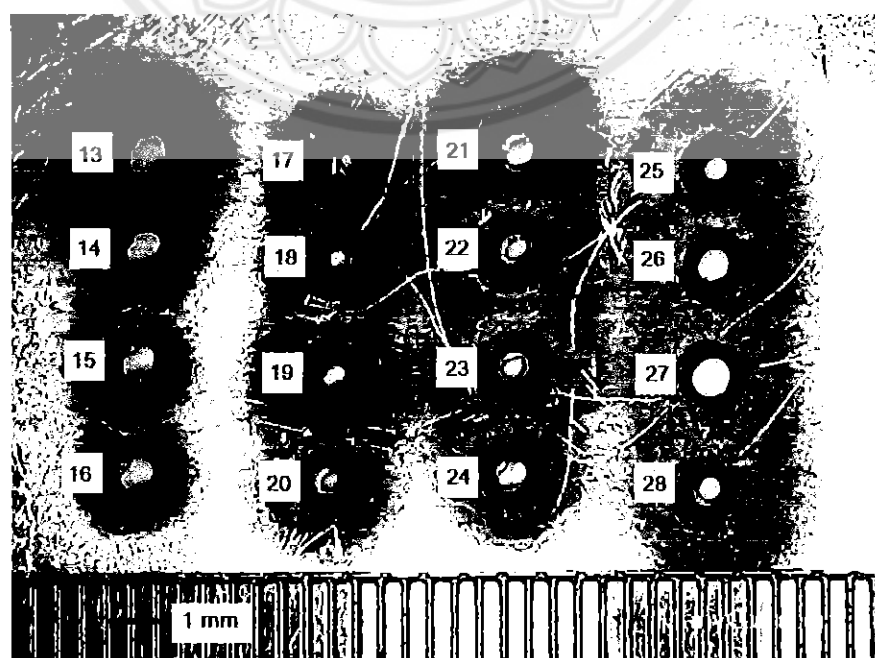
จากตารางที่ 4.1 แสดงระยะห่างซ่องว่างระหว่างอิเล็กโทรดกับผิวชั้นงานซึ่งประมาณจาก ความหนาของชั้นงานเทียบกับระยะความลึกที่อิเล็กโทรดเคลื่อนที่ลงในชั้นงาน ณ ตำแหน่งที่ ชั้นงานทะลุ โดยการใช้ความต่างศักย์ 4.5 โวลต์ อัตราการเคลื่อนที่อิเล็กโทรด 20 ไมโครเมตรต่อนาที จะทำให้เกิดซ่องว่างระหว่างอิเล็กโทรดกับผิวชั้นงานน้อยที่สุด มีค่า 287.5 ไมโครเมตร

4.2 ผลการทดลองชุดที่ 2 กรดซัลฟิวริก (H_2SO_4)

ที่อัตราการเคลื่อนที่ลงของอิเล็กโทรด 20 ในโครเมตต่อน้ำที่ เมื่อทดลองโดยใช้ความต่างศักย์ 4.5 โวลต์ นั้นไม่สามารถทำการเจาะชิ้นงานได้เนื่องจากเกิดการสัมผัสถกันของอิเล็กโทรดกับชิ้นงานขณะที่เคลื่อนที่ลงได้เพียงเล็กน้อย จึงจะเริ่มทำการทดลองที่ความต่างศักย์ 6 โวลต์

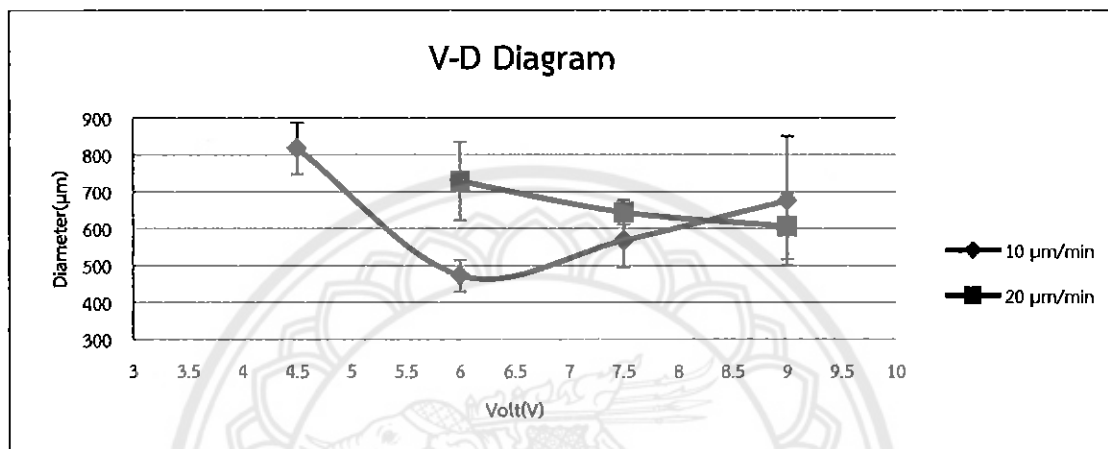


รูปที่ 4.3 แสดงรูเจาะครั้งที่ 1-12 (แผ่นที่ 3)



รูปที่ 4.4 แสดงรูเจาะครั้งที่ 13-28 (แผ่นที่ 4)

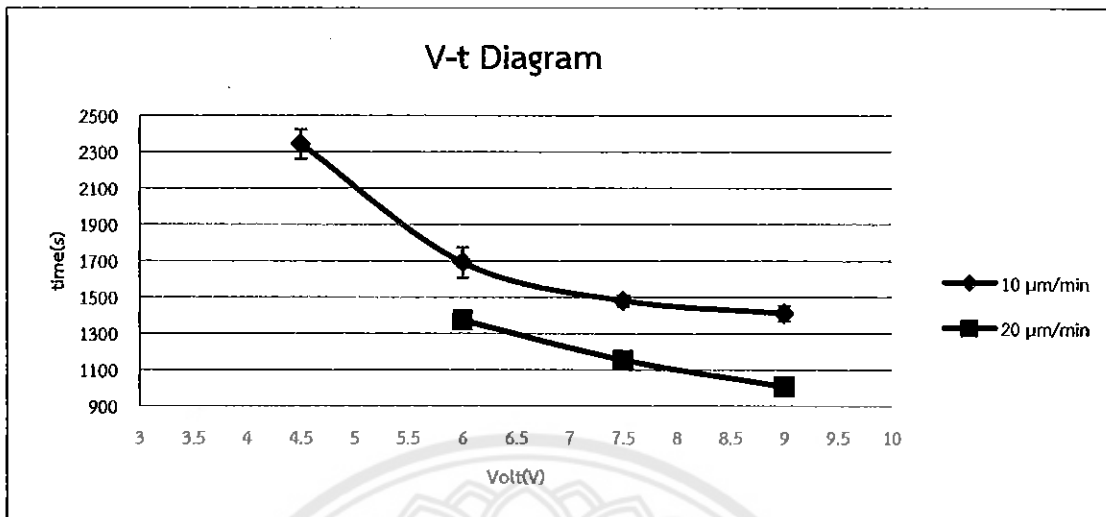
จากรูปที่ 4.3 และ 4.4 การเจาะโดยปรับปัจจัยต่างก็จะส่งผลต่อขนาดของรูต่างกันไป แต่ที่สังเกตได้ชัดคือการใช้ความต่างศักย์ที่สูงกว่านั้นจะทำให้ผิวของชิ้นงานมีรอยขุรฟรากมากกว่า แต่ทั้งนี้เนื่องจากกับการใช้โซเดียมคลอไรด์แล้วการใช้กรดซัลฟิวริกนั้นทำให้ได้ผิวที่เรียบเนียนกว่าอย่างเห็นได้ชัด



กราฟที่ 4.4 แสดงกราฟเปรียบเทียบระหว่างความต่างศักย์ และขนาดของรูเจาะ (H_2SO_4)

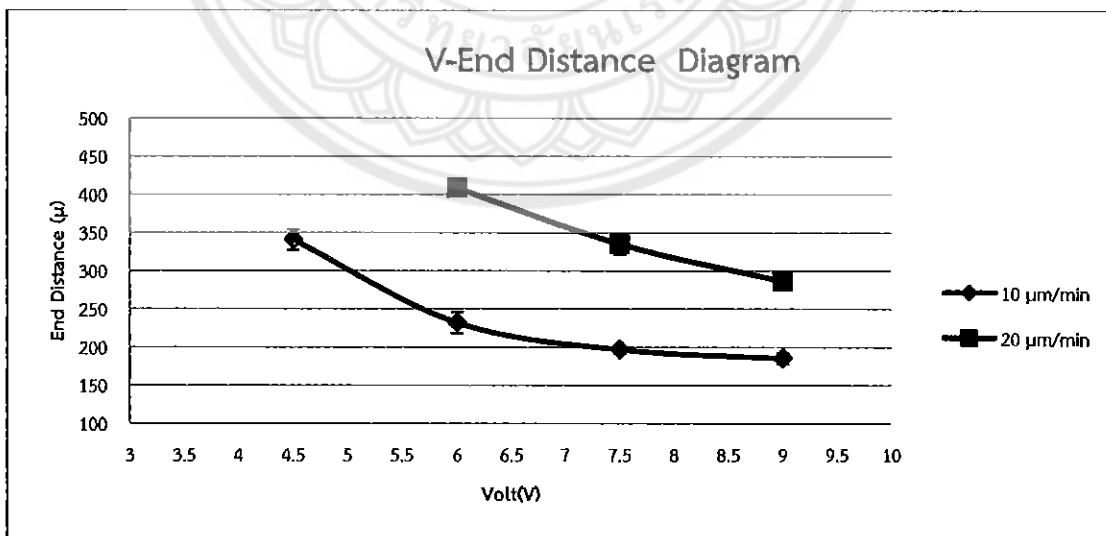
จากกราฟที่ 4.4 สังเกตได้ว่าขนาดของรูนั้นขึ้นลงไปมาเป็นค่าที่ไม่แน่นอนโดยเฉพาะเส้นสีน้ำเงินที่ใช้อัตราการเคลื่อนที่ของอีเล็กโทรด 10 ไมโครเมตรต่อนาที แสดงให้เห็นว่าการปรับเปลี่ยนค่าความต่างศักย์นั้นน่าจะมีผลต่อขนาดของรูเจาะ และการที่ขนาดของรูจะมากหรือน้อยนั้นน่าจะเป็นผลมาจากการระยะเวลาที่ใช้ในการเจาะ

เนื่องจากได้ทำการทดลอง 4 ครั้งในแต่ละความต่างศักย์ จากกราฟที่ 4.4 แสดงให้เห็นถึงการกระจายตัวของข้อมูลของแต่ละความต่างศักย์ สำหรับอัตราการเคลื่อนที่ของอีเล็กโทรด 20 ไมโครเมตรต่อนาที ข้อมูลมีการกระจายตัวมากที่สุดอยู่ที่ 6 โวลต์ , 9 โวลต์ และน้อยที่สุดอยู่ที่ 7.5 โวลต์ และอัตราการเคลื่อนที่ของอีเล็กโทรด 10 ไมโครเมตรต่อนาที ข้อมูลมีการกระจายตัวมากที่สุดอยู่ที่ 9 โวลต์ และน้อยที่สุดอยู่ที่ 6 โวลต์ เห็นได้ว่าแนวโน้มของกราฟนั้นยังไม่สามารถบอกได้ว่าความต่างศักย์ที่ใช้จะส่งผลต่อคุณภาพของขนาดรูเจาะ



กราฟที่ 4.5 แสดงกราฟเปรียบเทียบระหว่างความต่างศักย์ และเวลา (H_2SO_4)

จากการที่ 4.5 สังเกตได้ว่าเมื่อมีการเพิ่มความต่างศักย์ขึ้นเรื่อยๆ นั้นเวลาที่ใช้ในการเจาะจะมีแนวโน้มลดลง แสดงว่าการใช้ความต่างศักย์ที่สูงขึ้นจะทำให้ขั้นงานเจาะหลุดเร็วขึ้นโดยที่อัตราการเคลื่อนที่ของอีเล็กโทรด 20 ไมโครเมตรต่อนาที ใช้เวลาเฉลี่ย 1179 วินาที และที่อัตราการเคลื่อนที่ของอีเล็กโทรด 10 ไมโครเมตรต่อนาทีใช้เวลาเฉลี่ย 1731 วินาทีการกระจายตัวของข้อมูลที่ 10 และ 20 ไมโครเมตรต่อนาที นั้นมีคุณภาพใกล้เคียงกัน และมีแนวโน้มเดินเรื่อยเมื่อใช้ความต่างศักย์ที่สูงขึ้น



กราฟที่ 4.6 แสดงกราฟเปรียบเทียบระหว่างความต่างศักย์ และระยะที่ขั้นงานหลุด (H_2SO_4)

จากการที่ 4.6 ถ้าเปรียบเทียบอัตราเร็วการเคลื่อนอีเล็กโทรดที่ต่างกัน อัตราเร็วที่ 20 ไมโครเมตรต่อนาที จะทำให้เข้มฉีดยาเคลื่อนที่ลงได้เฉลี่ย 343 ไมโครเมตร ซึ่งสูงกว่าการใช้อัตราเร็วที่ 10 ไมโครเมตรต่อนาที ที่ทำให้เข้มฉีดยาเคลื่อนที่ลงได้เฉลี่ย 238 ไมโครเมตร และเมื่อ-

สังเกตในอัตราเร็วค่าไดค่าหนึ่งการใช้ความต่างศักย์ที่ต่ำกว่าจะทำให้เข้มขีดยาเคลื่อนที่ลงได้ลึกกว่า การกระจายตัวของข้อมูลที่ 10 ไมโครเมตรต่อนาที นั้นมีคุณภาพมากกว่าเล็กน้อยเนื่องจากมีการ กระจายตัวที่น้อยกว่า และมีแนวโน้มเดินเรื่อยเมื่อใช้ความต่างศักย์ที่สูงขึ้น

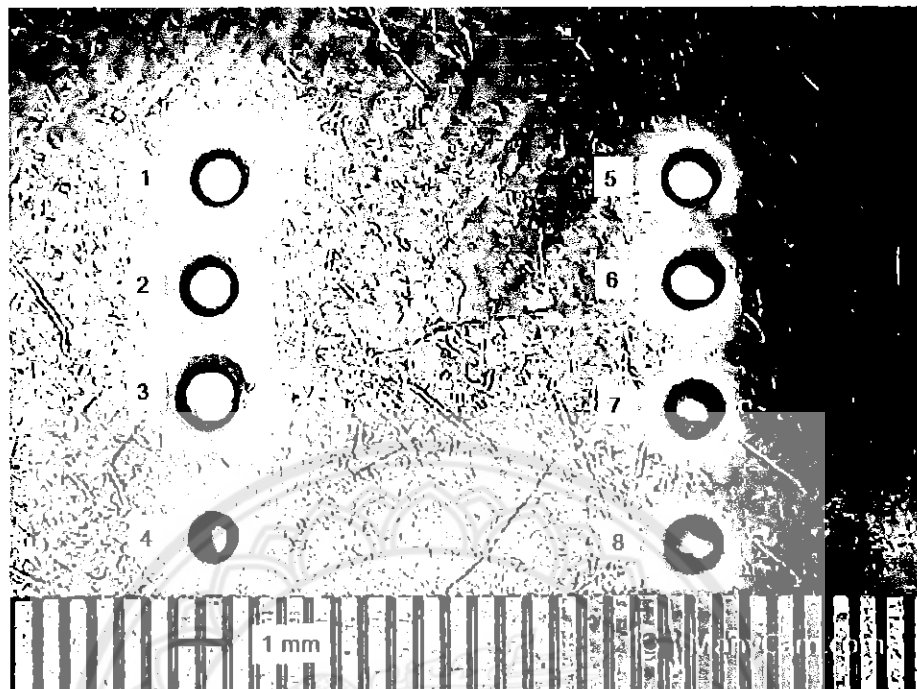
ตารางที่ 4.2 ระยะห่างซ่องว่างระหว่างอีเล็กโทรดกับผิวชิ้นงาน (H_2SO_4)

ความต่างศักย์ (โวลต์)	Gap (ไมโครเมตร)	
	10 ไมโครเมตรต่อนาที	20 ไมโครเมตรต่อนาที
4.5	159.5	-
6	268	91.75
7.5	303.25	165.25
9	314.75	213.75

จากตารางที่ 4.2 แสดงระยะห่างซ่องว่างระหว่างอีเล็กโทรดกับผิวชิ้นงาน โดยการใช้ความ ต่างศักย์ 6 โวลต์ อัตราการเคลื่อนที่อีเล็กโทรด 20 ไมโครเมตรต่อนาที จะทำให้เกิดซ่องว่างระหว่าง อีเล็กโทรดกับผิวชิ้นงานน้อยที่สุด มีค่า 91.75 ไมโครเมตร ซึ่งมีค่าน้อยกว่าการใช้โซเดียมคลอไรด์เป็น สารอีเล็กโทรลิต

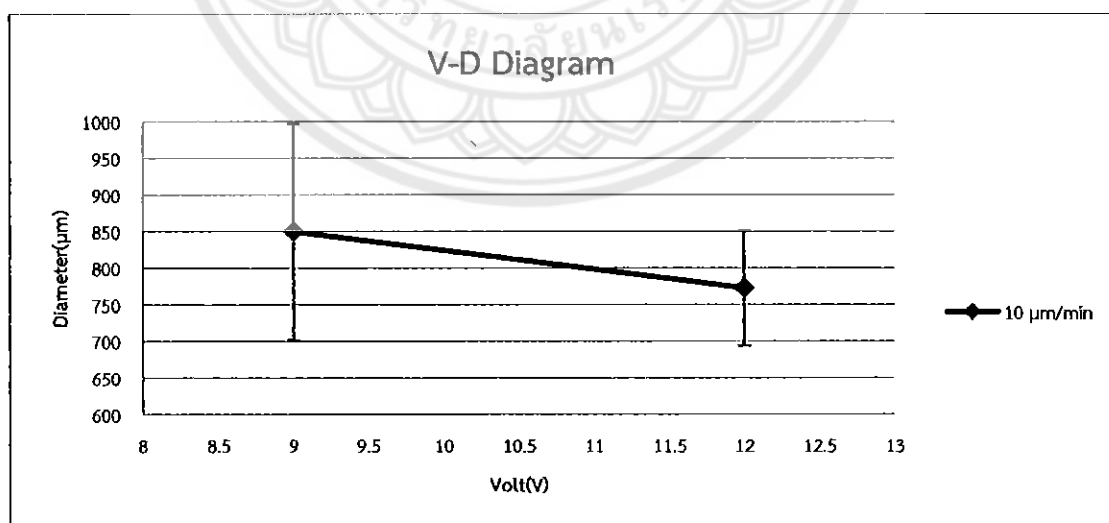
4.3 ผลการทดลองชุดที่ 3โซเดียมไนเตรท ($NaNO_3$)

การทดลองในส่วนของ โซเดียมไนเตรท ($NaNO_3$) เริ่มทำการเจาะไดที่ 9 โวลต์ จึงทำการ ทดลองปรับค่าความต่างศักย์สองระดับ คือ 9 โวลต์ และ 12 โวลต์ โดยใช้อัตราการเคลื่อนที่ของอีเล็ก โทรดระดับเดียว คือ 10 ไมโครเมตรต่อนาที



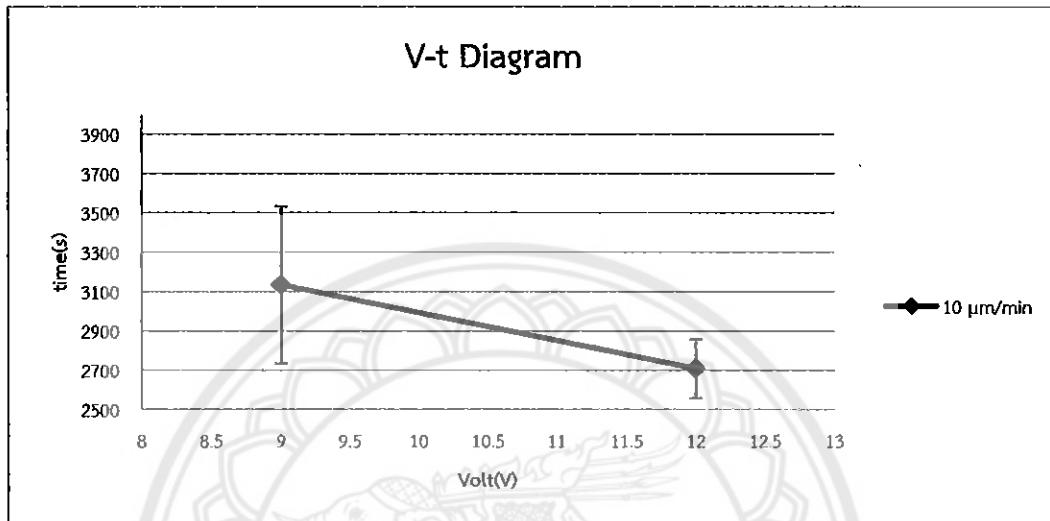
รูปที่ 4.5 แสดงภาชนะ 1-8 (แผ่นที่ 5)

จากรูปที่ 4.5 การเจาะด้วยการใช้โซเดียมไนเตรท (NaNO_3) น้ำให้มีผิวที่เรียบเนียนมาก สังเกตได้จากบริเวณรอบๆ ปากรูจะมีรอยการกัดกระหายออกเป็นวงน้อยมาก ต่างจากการทดลองก่อนหน้า ทำให้เกิดรอยบริเวณปากรูจะเป็นวงกว้าง



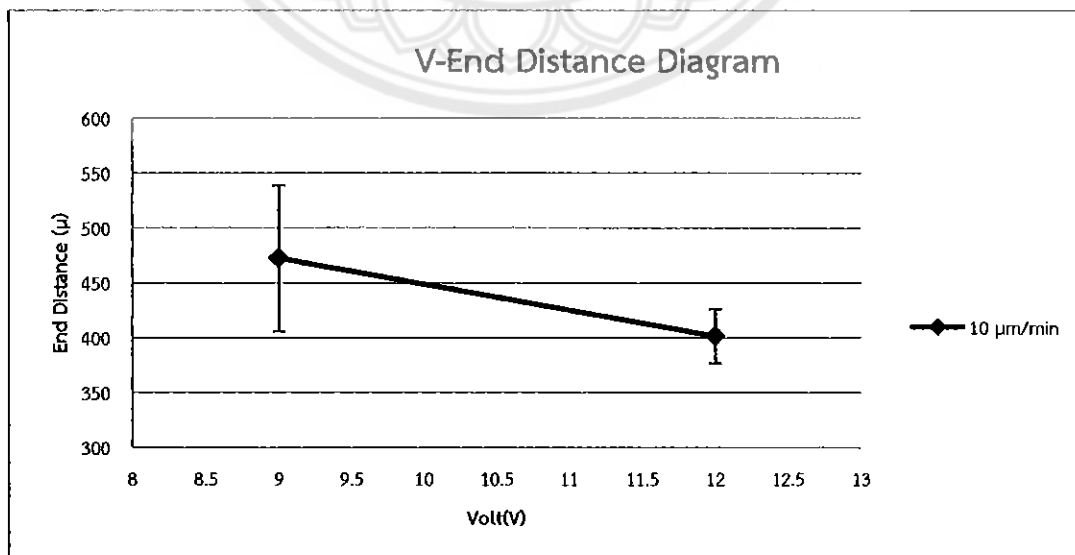
กราฟที่ 4.7 แสดงกราฟเปรียบเทียบระหว่างความต่างศักย์ และขนาดของรูเจาะ ที่อัตราการเคลื่อนที่ของอิเล็กโทรด 10 (NaNO_3)

จากราฟที่ 4.7 ที่ 12 โวลต์ มีค่าเฉลี่ยของขนาดรูที่น้อยกว่า การกระจายตัวของข้อมูลมีแนวโน้มเดินเข้าเมื่อใช้ความต่างศักย์ที่สูงขึ้น โดยเฉลี่ยแล้วที่ 9 โวลต์ ได้เส้นผ่านศูนย์กลางเฉลี่ย 849 ไมโครเมตร และที่ 12 โวลต์ ได้เส้นผ่านศูนย์กลางเฉลี่ย 772 ไมโครเมตร



กราฟที่ 4.8 แสดงกราฟเปรียบเทียบเที่ยบระหว่างความต่างศักย์ และเวลาที่ใช้ ที่อัตราการเคลื่อนที่ของอิเล็กโทรด 10 ไมโครเมตรต่อนาที (NaNO_3)

จากราฟที่ 4.8 สังเกตได้ว่าเมื่อมีการเพิ่มความต่างศักย์ขึ้นนั้น เวลาที่ใช้ในการเจาะจะมีแนวโน้มลดลง แสดงว่าการใช้ความต่างศักย์ที่สูงขึ้นจะทำให้ขั้นงานเจาะคลุ่เร็วขึ้นโดยเฉลี่ยแล้วที่ 9 โวลต์ ใช้เวลาเฉลี่ย 3133 วินาทีและที่ 12 โวลต์ ใช้เวลาเฉลี่ย 772 วินาที



กราฟที่ 4.9 แสดงกราฟเปรียบเทียบเที่ยบระหว่างความต่างศักย์ และระยะความลึกที่ทำให้ขั้นงานหลุด ที่อัตราการเคลื่อนที่ของอิเล็กโทรด 10 ไมโครเมตรต่อนาที (NaNO_3)

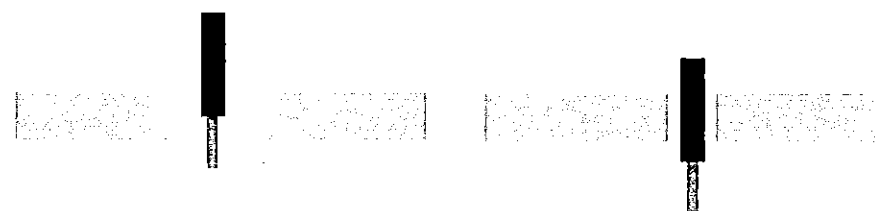
จากกราฟที่ 4.9 การใช้ความต่างศักย์ที่ต่ำกว่าจะทำให้เข็มวัดยาเคลื่อนที่ลงได้ลึกกว่า แต่มีช่วงการกระจายของข้อมูลที่มาก โดยที่ 9 โวลต์ มีระยะลีกเฉลี่ย 472 ไมโครเมตร และที่ 12 โวลต์ มีระยะลีกเฉลี่ย 401 ไมโครเมตร

ตารางที่ 4.3 ระยะห่างช่องว่างระหว่างอีเล็กโทรดกับผิวชิ้นงาน (NaNO_3)

ความต่างศักย์ (โวลต์)	Gap (ไมโครเมตร)	
	10 ไมโครเมตรต่อนาที	20 ไมโครเมตรต่อนาที
4.5	-	-
6	-	-
7.5	-	-
9	27.75	-
12	98.75	-

จากตารางที่ แสดงระยะห่างช่องว่างระหว่างอีเล็กโทรดกับผิวชิ้นงาน โดยการใช้ความต่างศักย์ 9 โวลต์ อัตราการเคลื่อนที่อีเล็กโทรด 10 ไมโครเมตรต่อนาที จะทำให้เกิดช่องว่างระหว่างอีเล็กโทรดกับผิวชิ้นงานน้อยที่สุด มีค่า 27.75 ไมโครเมตร ซึ่งมีค่าน้อยที่สุดเมื่อเทียบกับสองการทำลองก่อนหน้า

เนื่องจากชิ้นงานมีความหนา 500 ไมโครเมตร การที่เข็มวัดยาเคลื่อนที่ลงไประยะไม่ถึง 500 ไมโครเมตร แล้วชิ้นงานทะลุก่อน แสดงว่าเกิดช่องว่างระหว่างปลายเข็มกับระยะที่เกิดการกัดชิ้นงานลงไปได้จริง ฉะนั้นจากการทดลองทำให้ทราบว่าการจะลดช่องว่างนี้ลงจะต้องใช้อัตราการเคลื่อนที่ของอีเล็กโทรดที่สูงขึ้น ความต่างศักย์ต่ำลง แต่ทั้งนี้การเพิ่มอัตราการเคลื่อนที่อีเล็กโทรดที่มากเกินไป ก็จะทำให้ปลายเข็มวัดยาสัมผัสชิ้นงานก่อน



รูปที่ 4.6 แสดงภาพจำลองช่องว่างระหว่างปลายเข็มกับระยะที่เกิดการกัดชิ้นงานลงไปได้จริง

จากรูปที่ 4.6 ชิ้นงานทะลุขณะที่เข็มเคลื่อนที่ลงมาเพียงเล็กน้อย (ซ้าย) ชิ้นงานทะลุไปพร้อมๆ กับเข็ม (ขวา)

บทที่ 5

สรุปโครงการ และข้อเสนอแนะ

5.1 สรุปผล

ในการออกแบบสร้างชุดทดลองประกอบด้วยแท่นจับยีดซิ้นงานที่สามารถเคลื่อนที่ได้ในแนวแกน X และแกน Y ด้วยความละเอียด 40 ไมโครเมตร มีการใช้เครื่อง UTM สำหรับการเคลื่อนที่แนวแกน Z ที่มีความละเอียด 1 ไมโครเมตร ระบบดีดสารอีเล็กโทรลิตไซร์ Peristaltic Pump ควบคุมด้วยบอร์ดไมโครคอนโ刁ลเลอร์ผ่านบอร์ดช่วยข้อมูลเตอร์ L298N ที่มีการโปรแกรมด้วยภาษา Labview

ในการศึกษาปัจจัยที่มีผลต่อการเจาะรูระดับไมโครด้วยไฟฟ้าเคมี พบร่วมกันว่าความต่างศักย์ที่เปลี่ยนไปนั้นจะส่งต่อขนาดของรูเจาะ โดยความต่างศักย์ที่สูงขึ้นจะทำให้อัตราการเกิดปฏิกิริยาเร็วขึ้น จึงส่งผลต่อระยะเวลาในการกัด และความเรียบของผิวชิ้นงานอย่างมาก ซึ่งเมื่อใช้ความต่างศักย์ที่สูง จะใช้เวลาในการเจาะให้หลุดน้ำอย่าง และจากการสังเกตชิ้นงานพบว่า การใช้ความต่างศักย์สูงจะทำให้ผิวของชิ้นงานขรุขระมากกว่าชิ้นงานที่ใช้ความต่างศักย์ต่ำ ในส่วนของอัตราเร็วการเคลื่อนที่ลงของอีเล็กโทรด เมื่ออัตราเร็วเพิ่มมากขึ้นควบคู่กับการใช้ความต่างศักย์ต่ำจะ เป็นการลดช่องว่างระหว่างอีเล็กโทรดกับชิ้นงานลง ซึ่งการปรับค่าปัจจัยที่เหมาะสมจะทำให้คุณภาพของรูเจาะดีขึ้นได้

ในการประเมินปัจจัยด้านสารละลายที่ใช้ พบร่วมกันว่าการใช้โซเดียมไนเตรทในการกัดจะทำให้ผิวชิ้นงานเรียบเนียนที่สุดรองลงมาคือการใช้กรดซัลฟิวริก และโซเดียมคลอไรด์ตามลำดับ เมื่อมองในด้านขนาดรูเจาะที่ได้จะพบว่า การใช้สารละลายอีเล็กโทรลิตที่ต่างชนิดกันนั้นจะไม่ค่อยส่งผลกระทบต่อขนาดรูเจาะ แต่อย่างที่กล่าวไว้ว่าข้างต้นขนาดรูจะขึ้นอยู่กับเวลาที่ใช้ในการเจาะ โดยถ้าใช้เวลามากก็จะทำให้ขนาดรูมากขึ้นตามไปด้วย ทั้งนี้ปัจจัยด้านรูปแบบการเคลื่อนตัวของอีเล็กโทรดในการเจาะก็มีส่วนสำคัญ โดยในงานวิจัยนี้มีจุดประสงค์เพื่อเจาะรูให้หลุดด้วยขนาดรูเจาะน้อยสุดเท่าที่ทำได้ จึงหยุดการเคลื่อนที่ลงของอีเล็กโทรดเมื่อพบว่ารูเจาะหลุดแล้วจากการสังเกตว่ามีสารละลายฉีดผ่านรูลงมาด้านล่างโดยที่แห้งอีเล็กโทรดยังไม่ได้หลุดชิ้นงานลงมา ซึ่งทำให้ระยะความลึกที่หยุดกระบวนการไม่เท่ากันส่งผลให้ควบคุมขนาดรูเจาะให้คงที่ได้ยาก

เวลาที่ใช้ในการเจาะ การใช้โซเดียมคลอไรด์ที่อัตราการเคลื่อนที่อีเล็กโทรด 10 ไมโครเมตร ต่อนาที และ 20 ไมโครเมตรต่อนาที ใช้เวลาเฉลี่ย 600 และ 588 วินาทีต่อหน่วยการใช้กรดซัลฟิวริก ที่อัตราการเคลื่อนที่อีเล็กโทรด 10 ไมโครเมตรต่อนาที และ 20 ไมโครเมตรต่อนาที ใช้เวลาเฉลี่ย 1731.8 และ 1186.75 วินาทีต่อหนึ่งรู และการใช้โซเดียมไนเตรทที่อัตราการเคลื่อนที่อีเล็กโทรด

10 ไมโครเมตรต่อนาที ใช้เวลาเฉลี่ย 2920 วินาทีต่อนั่งรูจังสรุปได้ว่าการใช้โซเดียมคลอไรด์ในกระบวนการ ECM นั้นจะทำให้เจาะรูได้เร็วกว่า

ระยะที่อิเล็กโทรดเคลื่อนที่ลงไปได้การใช้โซเดียมคลอไรด์ที่อัตราการเคลื่อนที่อิเล็กโทรด 10 ไมโครเมตรต่อนาทีและ 20 ไมโครเมตรต่อนาทีระยะที่อิเล็กโทรดเคลื่อนที่ลงไปได้เฉลี่ยเป็น 50 และ 146 ไมโครเมตร ในส่วนของการใช้กรดซัลฟิวริกที่อัตราการเคลื่อนที่อิเล็กโทรด 10 ไมโครเมตรต่อนาที และ 20 ไมโครเมตรต่อนาที ระยะที่อิเล็กโทรดเคลื่อนที่ลงไปได้เฉลี่ยเป็น 238 และ 345 ไมโครเมตร และในส่วนของการใช้โซเดียมไนเตรทที่อัตราการเคลื่อนที่อิเล็กโทรด 10 ไมโครเมตรต่อนาที ระยะที่อิเล็กโทรดเคลื่อนที่ลงไปได้เฉลี่ยเป็น 463 ไมโครเมตร ดังนั้นการใช้โซเดียมไนเตรทจะทำให้เกิดช่องว่างระหว่างปลายเข็มกับระยะที่เกิดการกัดขึ้นงาน น้อยที่สุด

จากการสังเกตชิ้นงานประกอบกับการวิเคราะห์ผลจากการทดลอง ทำให้สรุปได้ว่า ตัวแปรเด่นๆ ที่จะส่งผลต่อคุณภาพของรูเจาะคือ ช่องว่างระหว่างปลายเข็มกับระยะที่เกิดการกัดขึ้นงานซึ่งยังลดช่องว่างดังกล่าวนั้นลงได้มากที่จะได้รูที่มีคุณภาพมาก คือ มีขนาดรูที่สม่ำเสมอ ปากหลุมไม่กว้าง และการเลือกสารละลายอิเล็กโทรไลต์ที่ส่งผลต่อความเรียบของผิวย่างเห็นได้ชัด ดังนั้นจากผลการทดลองแสดงให้เห็นว่าการใช้สารละลายอิเล็กโทรไลต์เป็นโซเดียมไนเตรท ที่ความต่างศักย์ 9 โวลต์ และอัตราการเคลื่อนที่ของอิเล็กโทรด 10 ไมโครเมตรต่อนาที จึงทำให้ได้รูเจาะที่มีคุณภาพมากที่สุด

5.2 ข้อเสนอแนะ

- 5.2.1 ในการทดลองควรเปลี่ยนอิเล็กโทรด (เข็มฉีดยา) ใหม่บ่อยๆ เพื่อป้องกันการอุดตันของเข็ม
- 5.2.2 ในการทดลองไม่ควรนำสารละลายอิเล็กโทรไลต์ที่ผ่านกระบวนการ ECM มาแล้วกลับมาใช้ใหม่ เพราะสารละลายจะมีความเข้มข้นมากขึ้นอาจทำให้ได้ผลการทดลองที่ผิดพลาดได้
- 5.2.3 ควรใช้เครื่องมือในการวัดขนาดของรูเจาะที่แม่นยำกว่านี้ เพื่อให้ได้ผลการทดลองที่ถูกต้อง และแม่นยำมากขึ้น
- 5.2.4 ระหว่างการทดลองควรใส่อุปกรณ์ป้องกัน เช่น แว่นตา เพื่อป้องกันอันตรายจากสารเคมี
- 5.2.5 ในการสังเกตการสัมผัสกันระหว่างเข็มฉีดยา กับชิ้นงาน จะสังเกตจากการวัดกระแสไฟฟ้าที่จ่ายมายังเข็มฉีดยาและชิ้นงานจากมัลติมิเตอร์ โดยก่อนการทดลอง

นี้จะทำการทดสอบการลัดวงจรของระบบก่อนแล้วส่งเกตค่ากระแสไฟฟ้าที่แสดง-ออกมานอกมัลติมิเตอร์ เมื่อเริ่มทำ การทดลองแล้วถ้าเข้มฉีดยา กับชิ้นงานสัมผัสกัน ก็จะรู้ได้จากค่ากระแสไฟฟ้าที่เปลี่ยนไปจากการทดสอบการลัดวงจรก่อนการทดลอง

- 5.2.6 ในระหว่างการเกิดปฏิกิริยาของกระบวนการกัดวัสดุระดับไมโครด้วยไฟฟ้าเคมี จะมี ตะกอน เกิดออกมานะ เมื่อตะกอนไปสัมผัสกับเข้มฉีดยาเป็นกลุ่มๆ จำนวนมากตะกอน จะกลอยเป็นสื่อ - ทางไฟฟ้า และไปสัมผัสกับชิ้นงานทำให้เกิดการลัดวงจรซึ่งเป็น สาเหตุทำให้กระบวนการกัดวัสดุระดับไมโครด้วยไฟฟ้าเคมีนี้ไม่เกิดปฏิกิริยา และมี ผลทำให้เข้มฉีดยาตันได้ ซึ่งวิธีในการแก้ปัญหาควรจะมีการฉีดสารอีเล็กโทรไลต์ไปยัง ด้านบนพื้นผิวของชิ้นงาน เพื่อลái ตะกอนไม่ให้ติดกับเข้ม
- 5.2.7 ในเรื่องของการปรับปรุงคุณภาพของรูเจาะนั้น ควรจะหุ้มนวนโดยรอบให้กับเข้ม ฉีดยาแล้วเหลือส่วนของปลายเข้มฉีดยาไว้ จะช่วยให้ปฏิกิริยาเกิดที่ปลายเข้มฉีดยา เท่านั้น และก็จะไม่เกิดปฏิกิริยาต้านข้าง ทำให้ได้รูที่มีคุณภาพมากขึ้นโดยที่ปากรูไม่- กว้าง และในการลดความ เข้มข้นของสารละลายจะส่งผลต่อความสามารถเรียบของ ผิวชิ้นงานทำให้ชิ้นงานมีคุณภาพเพิ่มขึ้น

อ้างอิง

- [1] วิบูล ตั้งวีรธรรมนุกูล, การกัดวัสดุด้วยไฟฟ้าเคมี, technology pramation(2011)76-77
- [2] Minh DangNguyen n, Mustafizur Rahman,YokeSanWong, Transitions of micro-EDM/SEDCM/micro-ECM milling in low-resistivity deionized water, International Journal of Machine Tools & Manufacture 69 (2013) 48–56
- [3] Zhang Yan, Xu Zhengyang , Zhu Yun, Zhu Di,Machining of a film-cooling hole in a single-crystal superalloy by high-speed electrochemical discharge drilling,Chinese Journal of Aeronautics(2015)
- [4] Yong Liu , Huitao Cai , Hansong Li , Fabrication of micro spherical electrode by one pulse EDM and their application in electrochemical micromachining, Journal of Manufacturing Processes 17 (2015) 162–170
- [5] Xiaolei Chen, Ningsong Qu, Xiaolong Fang, Di Zhu Reduction of undercutting in electrochemical micro-machining of micro-dimple arrays by utilizing oxygen produced at the anode, Surface & Coatings Technology 277 (2015) 44–51
- [6] D. Zhu , Y.B. Zeng, Z.Y. Xu, X.Y. Zhang , Precision machining of small holes by the hybrid process of electrochemical removal and grinding , CIRP Annals - Manufacturing Technology 60 , (2011) , 247–250
- [7] Zhaoqi Zenga, Yukui Wang, Zhenlong Wang, Debin Shan, Xiaolong He , A study of micro-EDM and micro-ECM combined milling for 3D metallic micro-structures , Precision Engineering 36 , (2012) , 500– 509
- [8] L. Yong , H. RuiqinMicro ,electrochemical machining for tapered holes of fuel jet nozzles ,Procedia CIRP 6 (2013) 395 – 400
- [9] Xu Zhengyang, Liu Jia, Zhu Dong, Qu Ningsong, Wu Xiaolong, Chen ,XuezhenElectrochemical machining of burn-resistant Ti40 alloyChinese ,Journal of Aeronautics, (2015), 28(4): 1263–1272



ตาราง ก.1 รูปแบบการทดลองชุดที่ 1

การทดลองที่	ความต่างศักย์ (โวลต์)	ความเร็วในการเคลื่อนอีเล็กโทรด (ไมโครเมตรต่อนาที)
1-4	4.5	20
5-8	4.5	10
9-12	6	20
13-16	6	10
17-20	7.5	20
21-24	7.5	10
25-28	9	20
28-32	9	10

ตาราง ก.2 ผลการทดลองการเจาะรูครั้งที่ 1-16 (แผ่นที่ 1)

โวลต์	รูที่	อัตราการ เคลื่อนที่ของ อีเล็กโทรด (ไมโครเมตร ต่อนาที)	ทดลอง	ยก	เส้นผ่าน ศูนย์กลาง (ไมโครเมตร)	เส้นผ่าน ศูนย์กลาง เฉลี่ย (ไมโครเมตร)	เวลา (วินาที)
4.5	1	20	-142	-147	649	636.475	591
4.5	2	20	-235	-240	701		870
4.5	3	20	-247	-252	598		906
4.5	4	20	-206	-211	598		783
4.5	5	10	-100	-105	415	447.963	930
4.5	6	10	-118	-123	598		1038
4.5	7	10	-105	-110	363		960
4.5	8	10	-100	-105	415		930
6	9	20	-155	-160	571	552.037	630
6	10	20	-90	-95	519		435
6	11	20	-122	-127	571		531
6	12	20	-142	-147	546		591
6	13	10	-69	-74	494	539.273	744
6	14	10	-60	-65	519		690
6	15	10	-75	-80	598		780
6	16	10	-69	-74	546		744

ตาราง ก.3 ผลการทดลองการเจาะรูครั้งที่ 17-32 (แผ่นที่ 2)

โอลต์	รุ่นที่	อัตราการเคลื่อนที่ของอีเล็กโทรด (ไมโครเมตรต่อนาที)	thal	ยก	เส้นผ่านศูนย์กลาง (ไมโครเมตร)	เส้นผ่านศูนย์กลางเฉลี่ย (ไมโครเมตร)	เวลา (วินาที)
7.5	17	20	-156	-166	571	636.475	648
7.5	18	20	-140	-150	598		600
7.5	19	20	-132	-142	649		576
7.5	20	20	-218	-288	728		1014
7.5	21	10	-62	-67	571		702
7.5	22	10	-60	-66	571		696
7.5	23	10	-55	-60	546		660
7.5	24	10	-56	-61	571		666
9	25	20	-112	-122	649	629.848	516
9	26	20	-95	-105	623		465
9	27	20	-86	-96	571		438
9	28	20	-95	-99	676		447
9	29	10	-34	-39	546	558.665	534
9	30	10	-30	-35	623		510
9	31	10	-29	-34	546		504
9	32	10	-33	-38	519		528

ตาราง ก.4 รูปแบบการทดลองชุดที่ 2

การทดลองที่	ความต่างศักย์ (โวลต์)	ความเร็วในการเคลื่อนอีเล็กโทรด (ไมโครเมตรต่อนาที)
1-4	6	20
5-8	7.5	20
9-12	9	20
13-16	4.5	10
17-20	6	10
21-24	7.5	10
25-28	9	10

ตาราง ก.5 ผลการทดลองการเจาะรูครั้งที่ 1-12 (แผ่นที่ 3) ใช้อัตราการเคลื่อนที่ของอีเล็กโทรด 20 ไมโครเมตรต่อนาที

โวลต์	รูที่	ทะลุ	ยก	เส้นผ่านศูนย์กลาง (ไมโครเมตร)	เส้นผ่านศูนย์กลางเฉลี่ย (ไมโครเมตร)	เวลา (วินาที)
6	1	-400	-410	688	728	1380
6	2	-405	-415	875		1395
6	3	-385	-395	625		1335
6	4	-403	-413	725		1389
7.5	5	-319	-329	650		1137
7.5	6	-320	-330	613		1140
7.5	7	-315	-325	625		1125
7.5	8	-345	-355	688		1215
9	9	-288	-298	625	606	1044
9	10	-284	-294	588		1032
9	11	-261	-271	500		963
9	12	-272	-282	713		996

ตาราง ก. 6 ผลการทดลองการเจาะรูครั้งที่ 13-28 (แผ่นที่ 4) ใช้อัตราการเคลื่อนที่ของอิเล็กโทรด 10 ไมโครเมตรต่อนาที

โอล์ต	รูที่	ทะลุ	ยก	เส้นผ่านศูนย์กลาง (ไมโครเมตร)	เส้นผ่านศูนย์กลางเฉลี่ย (ไมโครเมตร)	เวลา (วินาที)
4.5	13	-348	-358	905	818	2448
4.5	14	-329	-339	838		2334
4.5	15	-315	-325	743		2250
4.5	16	-330	-340	784		2340
6	17	-228	-238	446	473	1728
6	18	-202	-212	486		1572
6	19	-224	-234	527		1704
6	20	-234	-244	432		1764
7.5	21	-188	-198	608	568	1488
7.5	22	-181	-191	514		1446
7.5	23	-193	-203	500		1518
7.5	24	-185	-195	649		1470
9	25	-174	-184	527	676	1404
9	26	-168	-178	743		1368
9	27	-185	-195	892		1470
9	28	-174	-184	541		1404

ตาราง ก.7 รูปแบบการทดลองชุดที่ 3

การทดลองที่	ความต่างศักย์ (โอล์ต)	ความเร็วในการเคลื่อนอิเล็กโทรด (มิลลิเมตรต่อนาที)
1-4	9	0.01
5-8	12	0.01

ตาราง ก.8 ผลการทดลองการเจาะรูครั้งที่ 1-8 (แผ่นที่ 5) ใช้อัตราการเคลื่อนที่ของอีเล็กโทรด 10 มิลลิเมตรต่อนาที

วอลต์	รูที่	ทะลุ	ยก	เส้นผ่านศูนย์กลาง (ไมโครเมตร)	เส้นผ่านศูนย์กลางเฉลี่ย (ไมโครเมตร)	เวลา (วินาที)
9	1	-433	-443	833	849.358	2958
9	2	-514	-524	872		3444
9	3	-520	-530	1026		3480
9	4	-382	-392	667		2652
12	5	-427	-437	846	772.435	2922
12	6	-389	-399	833		2694
12	7	-377	-387	692		2622
12	8	-372	-382	718		2592



การคำนวณหาปริมาณของสารประกอบที่ใช้ทำสารละลายอีเล็กโทรไลต์ 0.1 มोลาร์

โซเดียมคลอไรด์ (NaCl)

(มวลโมเลกุลของ Na = 23 , Cl = 35)

หามวลโมเลกุลของของผสมให้จากความสัมพันธ์ดังนี้

$$MW_{\text{mix}} = \sum_{i=1}^n x_i MW_i$$

จะได้มวลโมเลกุลของของผสมดังนี้

$$MW_{\text{NaCl}} = (1 \times 23) + (1 \times 35) = 58 \text{ g}$$

หาน้ำหนักของสารประกอบที่ใช้ในการผสมสารละลายอีเล็กโทรไลต์ 0.1 มोลาร์ ปริมาณ 1500 ml ได้ดังนี้

$$\frac{0.1 \text{ mol}}{1 \text{ l}} = \frac{A_{\text{NaCl}} \text{ g}}{1500 \text{ ml}} \times \frac{1 \text{ mol}}{58 \text{ g}} \times \frac{1000 \text{ ml}}{1 \text{ l}}$$

$$A_{\text{NaCl}} = 8.7 \text{ g}$$

เมื่อ A_{NaCl} คือ ปริมาณโซเดียมคลอไรด์ที่ใช้ในการทำสารละลายอีเล็กโทรไลต์ 0.1 มोลาร์ หน่วย กรัม (g)

กรดซัลฟิวริก (H_2SO_4)

(มวลโมเลกุลของ $H = 1$, $S = 32$, $O = 16$)

หามวลโมเลกุลของของผสมหาได้จากความสัมพันธ์ดังนี้

$$MW_{\text{mix}} = \sum_{i=1}^n x_i MW_i$$

จะได้มวลโมเลกุลของของผสมดังนี้

$$MW_{H_2SO_4} = (1 \times 2) + (1 \times 32) + (4 \times 16) = 98 \text{ g}$$

หนึ่งหนึ่งของสารประกอบที่ใช้ในการผสมสารละลายอีเล็กโทรไลต์ 0.1 โมลาร์ ปริมาณ 700 ml

โดยที่ ความเข้มข้นของ H_2SO_4 คือ 98% โดยน้ำหนักส่วนด้วยปริมาตร, ความหนาแน่น 1.83 g/ml

$$\therefore \text{ความเข้มข้นของ } H_2SO_4 \text{ ในขาวด} = \frac{1.83 \text{ g}}{1 \text{ ml}} \times \frac{1 \text{ mol}}{98 \text{ g}} \times \frac{1000 \text{ ml}}{1 \text{ l}} \times \frac{98}{100} = 18.3 \text{ mol/l}$$

ต้องการ H_2SO_4 0.1 M จาก H_2SO_4 18.3 M

$$C_1V_1 = C_2V_2$$

$$(18.3 \text{ M})V_1 = (0.1 \text{ M})(1000 \text{ ml})$$

$$V_1 = 5.46 \text{ ml} \text{ ต่อปริมาณสารอีเล็กโทรไลต์ 1 ลิตร}$$

\therefore จะได้ปริมาณ H_2SO_4 ต่อสารละลายอีเล็กโทรไลต์ 700 ml

$$A = \frac{5.46 \times 700}{1000} = 3.822 \text{ ml}$$

เมื่อ $A_{H_2SO_4}$ คือ ปริมาณกรดซัลฟิวริกที่ใช้ในการทำสารละลายอีเล็กโทรไลต์ 0.1 โมลาร์ หน่วย มิลลิลิตร (ml)

โซเดียมไนเตรท (NaNO_3)

(มวลโมเลกุลของ $\text{Na} = 23$, $\text{N} = 14$, $\text{O} = 16$)

หมายความว่าโมเลกุลของของผสมหาได้จากความสัมพันธ์ดังนี้

$$\text{MW}_{\text{mix}} = \sum_{i=1}^n x_i \text{MW}_i$$

จะได้มวลโมเลกุลของของผสมดังนี้

$$\text{MW}_{\text{NaNO}_3} = (1 \times 23) + (1 \times 14) + (3 \times 16) = 85 \text{ g}$$

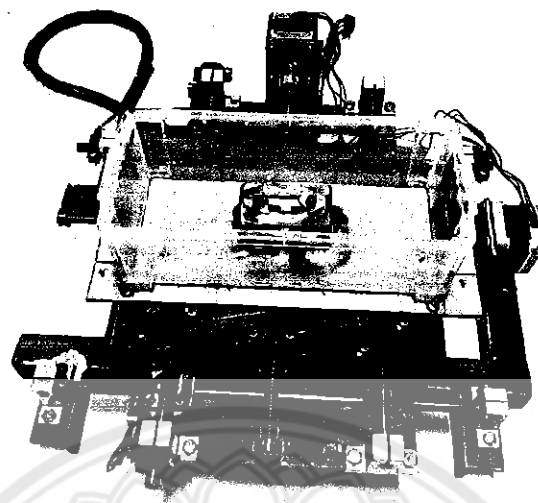
หน่วยหนักของสารประกอบที่ใช้ในการผสมสารละลายอีเล็กโทรไลต์ 0.1 มोลาร์ ปริมาณ 1000 ml

$$\frac{0.1 \text{ mol}}{1 \text{ l}} = \frac{A \text{ g}}{1000 \text{ ml}} \times \frac{1 \text{ mol}}{85 \text{ g}} \times \frac{1000 \text{ ml}}{1 \text{ l}}$$

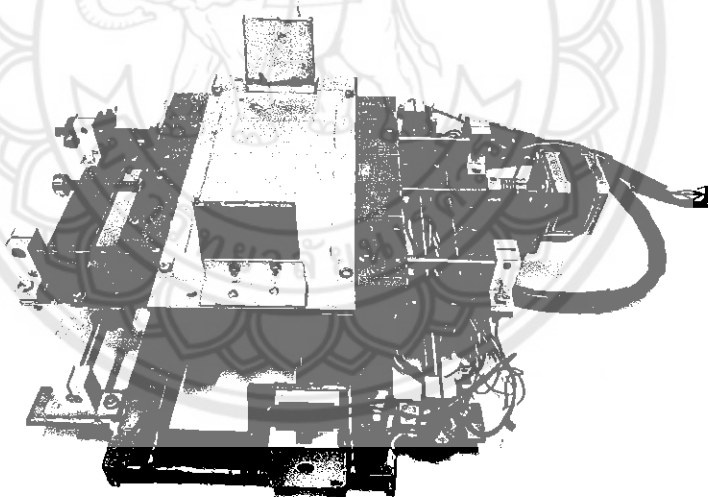
$$A = 8.5 \text{ g}$$

เมื่อ A_{NaNO_3} คือ ปริมาณโซเดียมไนเตรทที่ใช้ในการทำสารละลายอีเล็กโทรไลต์ 0.1 มोลาร์ หน่วย กรัม (g)

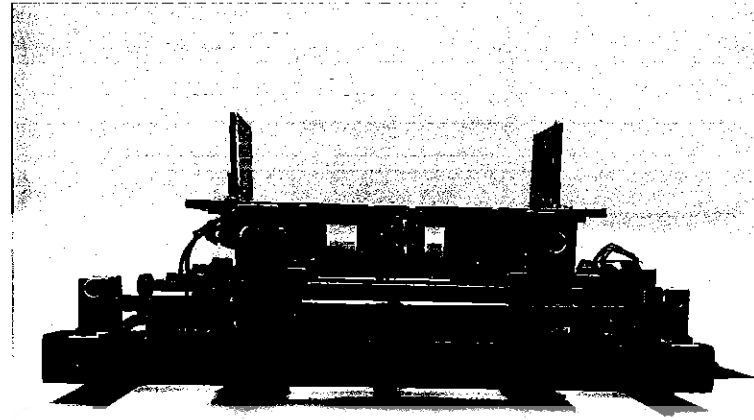




รูป ค.1 แสดงกระบวนการรับสารอิเล็กโทรไลต์และแท่นจับจับชิ้นงานแบบพร้อมใช้งานแล้ว



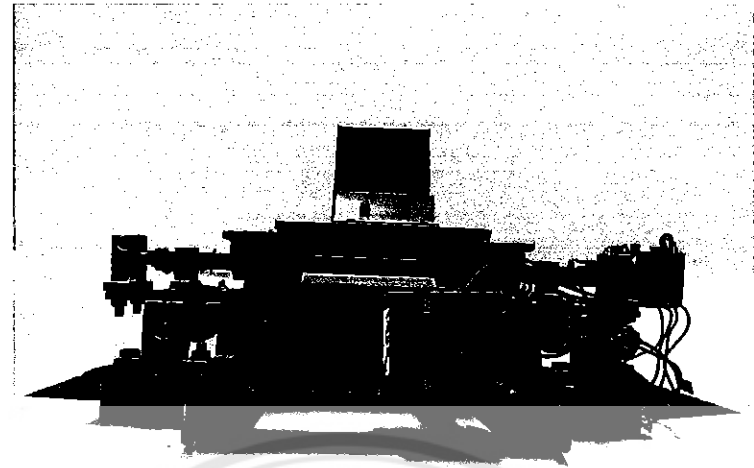
รูป ค.2 แสดงตัวล็อกกระบวนการรับสารอิเล็กโทรไลต์และแท่นจับจับชิ้นงาน



รูป ค.3 แสดง stage XY ด้านหน้า



รูป ค.4 แสดง stage XY ด้านหลัง



รูป ก.5 แสดง stage XY ข้างขวา



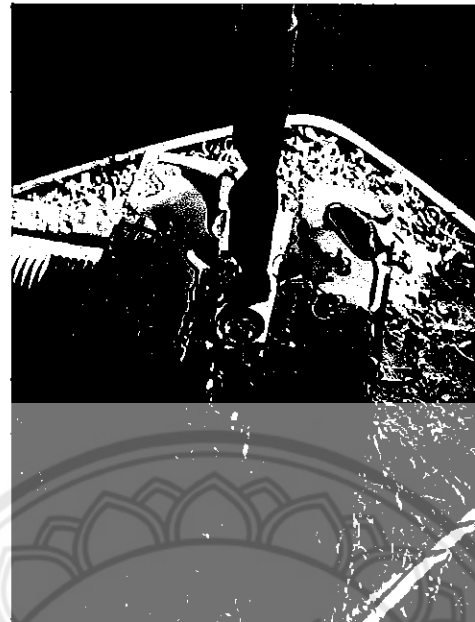
รูป ก.6 แสดง stage XY ข้างซ้าย



รูป ค.7 แสดงการวัดและตัดแผ่นสแตนเลส



รูป ค.8 แสดงการマーคต์ดำเนินเพื่อเจาะรู



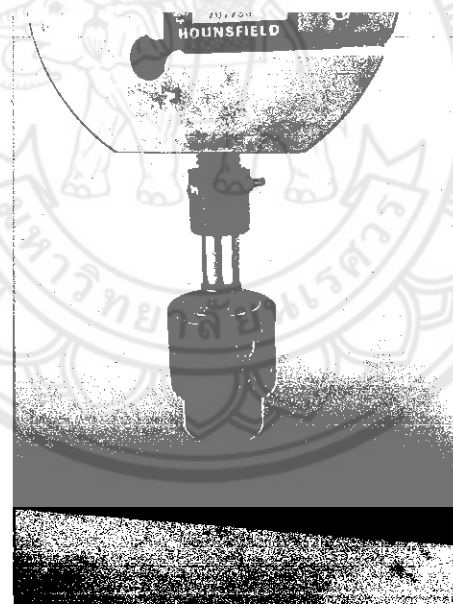
รูป ค.9 แสดงการเจาะรู



รูป ค.10 แสดงการเชื่อมฐาน stage XY



รูป ค.11 แสดงการตั้งระดับน้ำเพื่อทำการเจาะรูเบริงเข้ากับฐาน stage XY



รูป ค.12 แสดงชุดหัวเจาะเพื่อยืดกับเครื่อง UTM ที่ทำจากเครื่อง 3D Printer



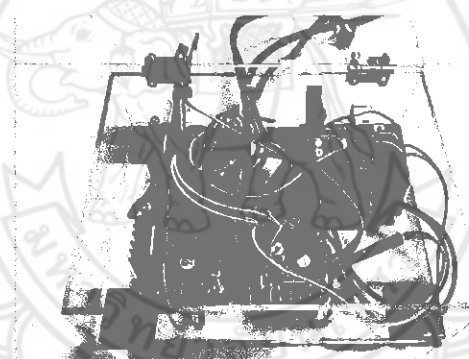
รูป ค.13 แสดงอุปกรณ์ใช้ทำแท่นจับชิ้นงาน



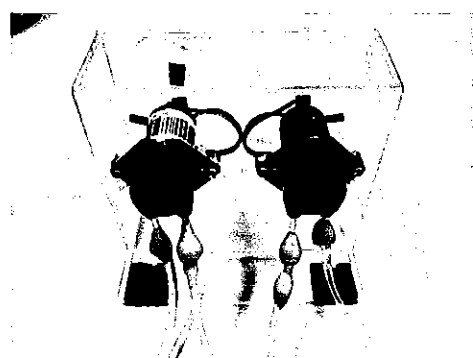
รูป ค.14 แสดงแท่นจับชิ้นงาน



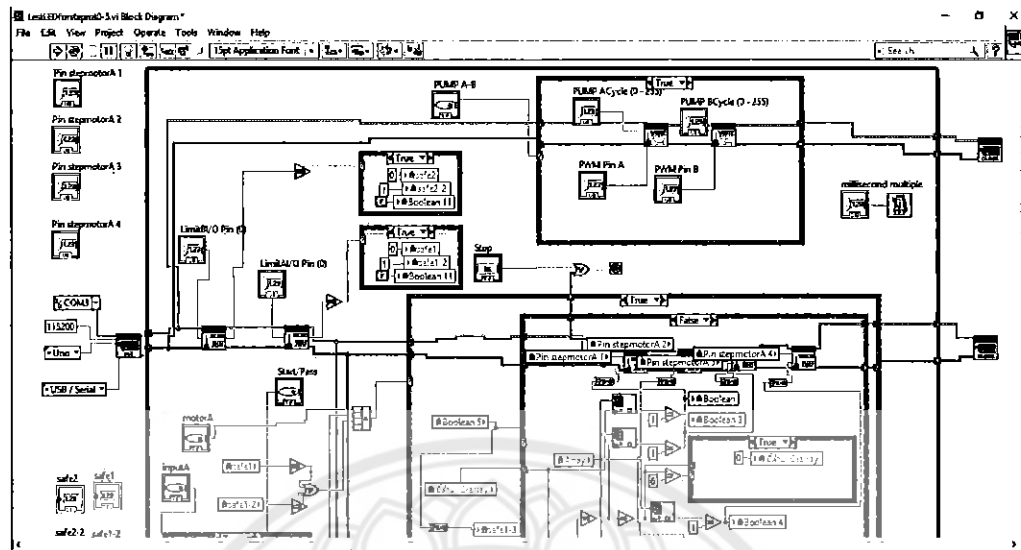
รูป ค.15 แสดงชุดลดแรงดันภายในสายยาง



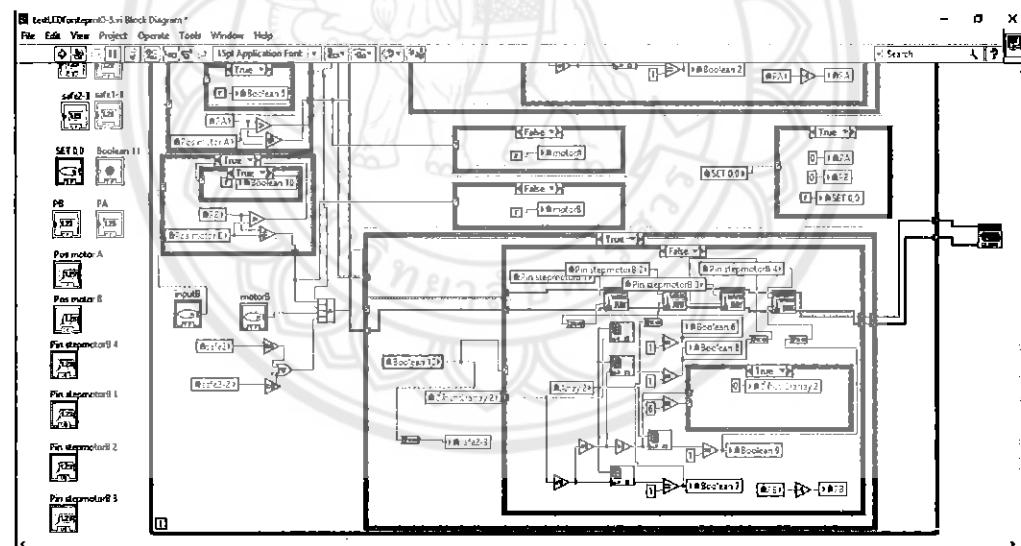
รูป ค.16 กล่องบอร์ดควบคุมการทำงานของ Stage และ Pump



รูป ค.17 แสดงปั๊มในการดูดสารละลายอีเล็กโทรไลต์ไปยังเข็มฉีดยา



รูป ค.18 แผนภาพโปรแกรมควบคุมชุดทดลอง 1



รูป ค.19 แผนภาพโปรแกรมควบคุมชุดทดลอง 2



ทำการทดสอบหาอัตราการไหลของ pump โดยการปรับเปลี่ยนค่า PWM ที่จ่ายให้กับ pump วัดความต่างศักย์ที่ตอกคร่อมขั้วของมอเตอร์ pump และวัดปริมาณน้ำที่ได้ในเวลา 60 วินาที

ตาราง ๔.๑ ผลการทดสอบ pump (หมุนตามเข็มนาฬิกา)

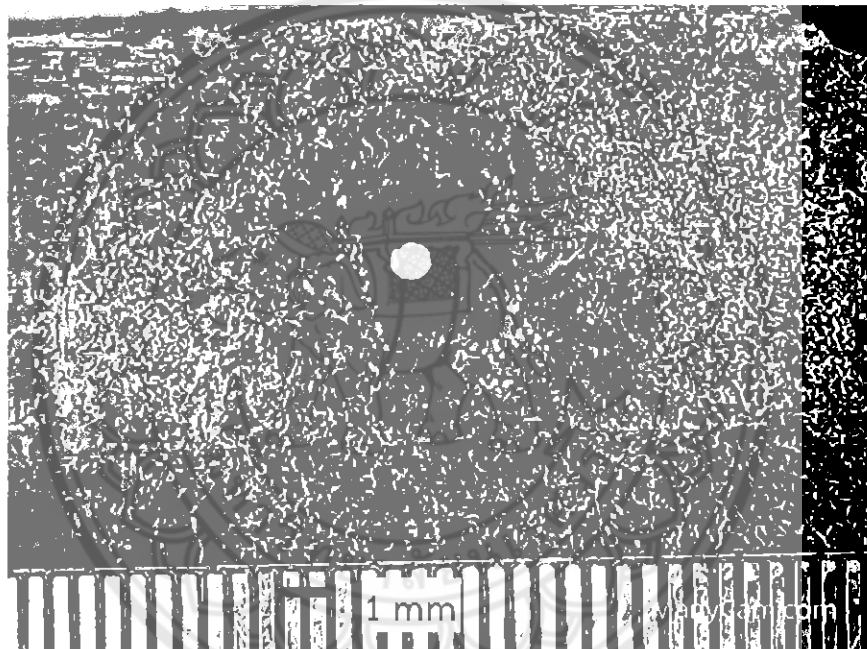
PWM	เวลา (วินาที)	ความต่างศักย์เฉลี่ย	อัตราการไหลเฉลี่ย (มิลลิตรต่อนาที)
255	60	-8.923	43.433
200	60	-8.547	42.133
150	60	-7.847	37.133
100	60	-6.600	28.867
80	60	-5.947	24.667

ตาราง ๔.๒ ผลการทดสอบ pump (หมุนวนเข็มนาฬิกา)

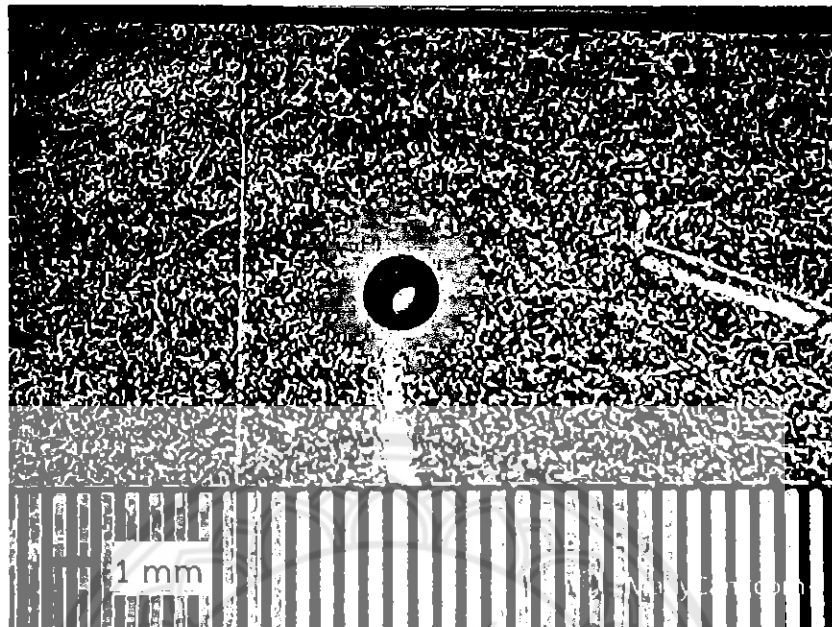
PWM	เวลา (วินาที)	ความต่างศักย์เฉลี่ย	อัตราการไหลเฉลี่ย (มิลลิตรต่อนาที)
255	60	8.787	41.133
200	60	8.390	38.500
150	60	7.573	33.267
100	60	6.260	24.800
80	60	5.520	19.033



การทดลองเจาะรูโดยการใช้โซเดียมคลอไรด์ และโซเดียมไนเตรทเป็นสารละลายอีเล็กโทรไลต์ในกระบวนการ เจาะวัสดุชิ้นงาน 3 แบบที่แตกต่างกันคือ สเตนเลสหนา 4000 ไมโครเมตร ทองแดงหนา 1300 ไมโครเมตร และอลูมิเนียม 400 ไมโครเมตร ความต่างศักย์ที่ใช้คือ 9 โวลต์ อัตราการเคลื่อนที่ของอีเล็กโทรด 20 ไมโครเมตรต่อนาที จะหยุดกระบวนการเมื่อเริ่มสังเกตเห็นน้ำสารละลายพุ่งลงได้แผ่นชิ้นงาน ทำการเบรียบเทียบเวลาที่ใช้ไป ระยะห่างซ่องว่างระหว่าง อีเล็กโทรด กับผิวชิ้นงานกับสารอีเล็กโทรไลต์ และเส้นผ่านศูนย์กลางของรูเจาะ ของแต่ละการทดลอง



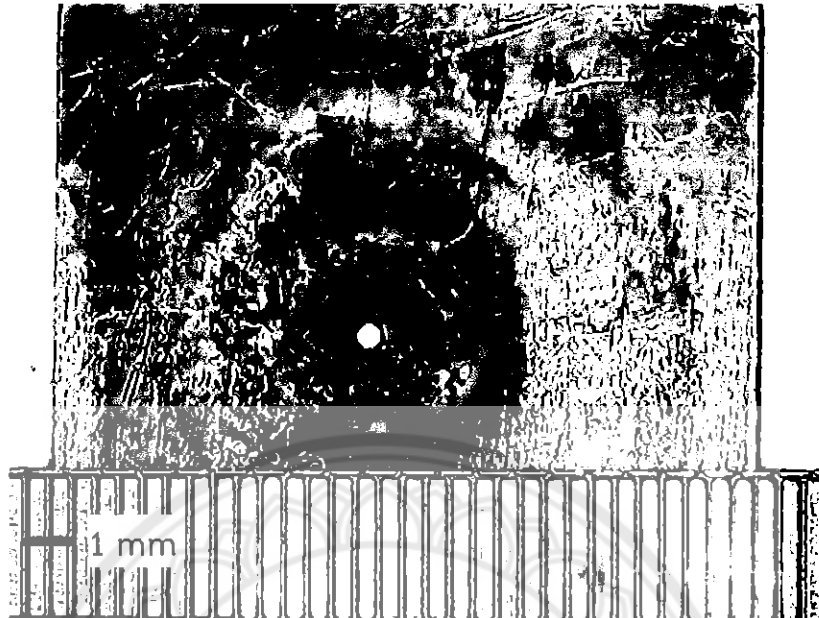
รูป จ.1 ภาพรูเจาะ แผ่นสเตนเลส 4000 ไมโครเมตร – โซเดียมคลอไรด์



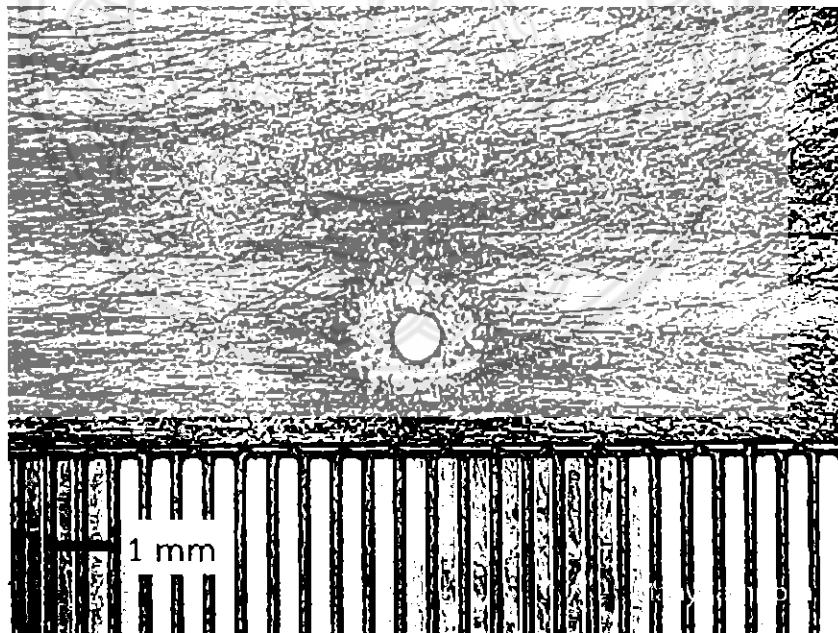
รูป จ.2 ภาพรูเจาะ แผ่นสแตนเลส 4000 ไมโครเมตร – โฉเดี่ยมไม้เทรา



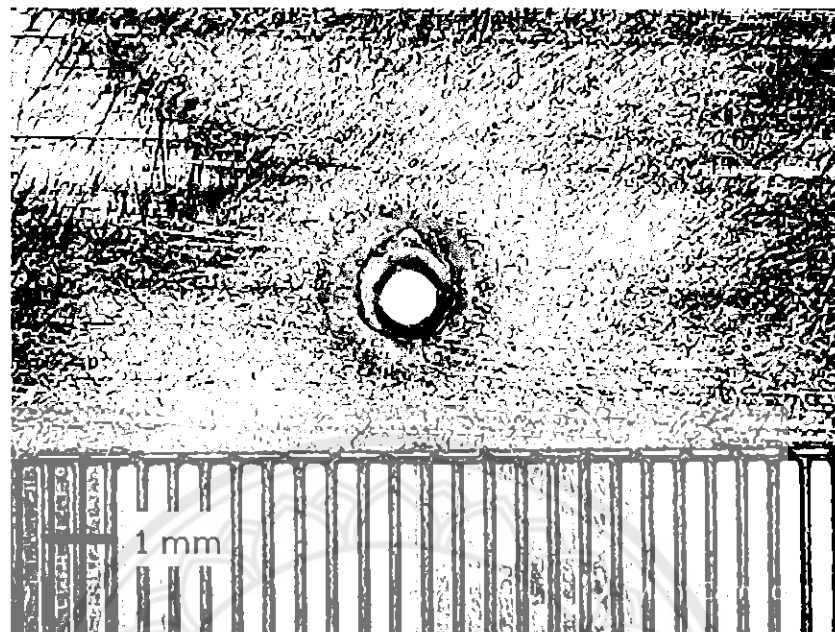
รูป จ.3 ภาพรูเจาะ แผ่นทองแดง 1300 ไมโครเมตร – โฉเดี่ยมคลอไรด์



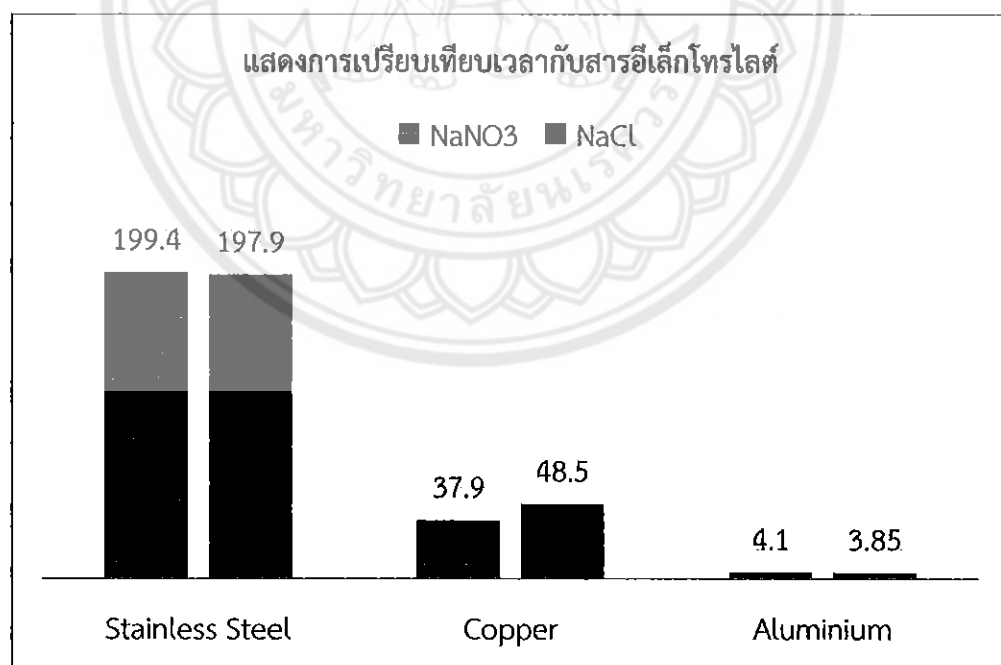
รูป จ.4 ภาพรูเจาะ แผ่นทองแดง 1300 ไมโครเมตร – โซเดียมไนเตรท



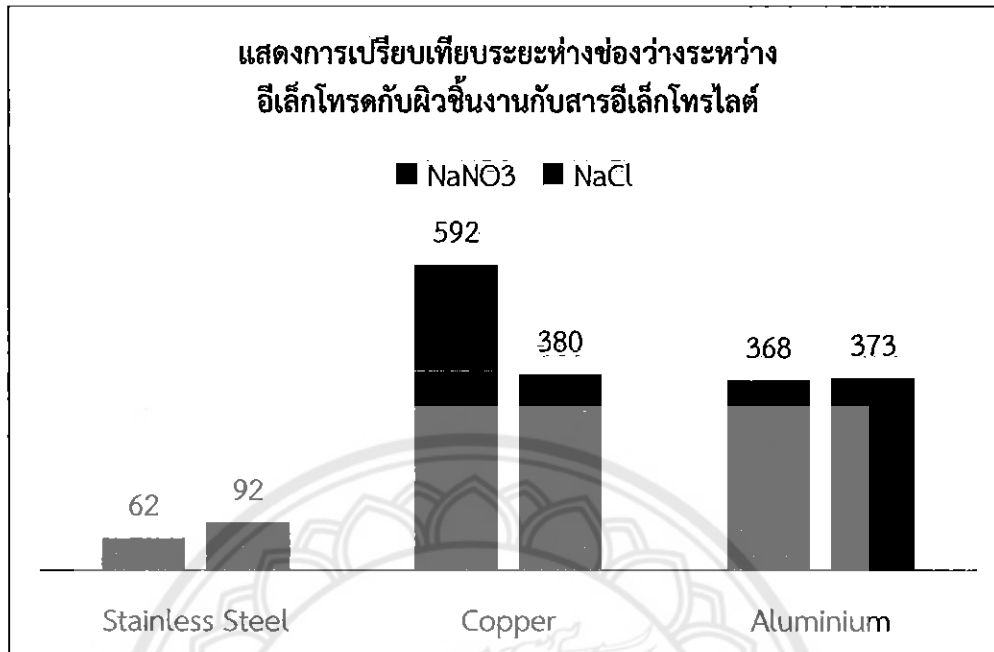
รูป จ.5 ภาพรูเจาะ แผ่นอลูมิเนียม 400 ไมโครเมตร – โซเดียมคลอไรด์



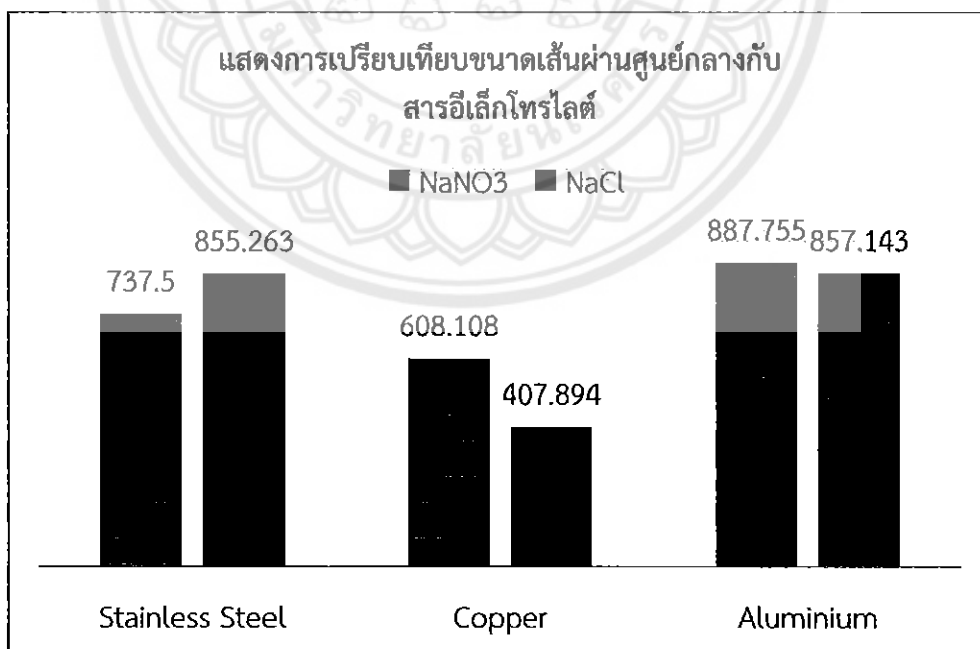
รูป จ.6 ภาพรูเจาะแผ่นอลูมิเนียม 400 ไมโครเมตร – โซเดียมไนเตรท



รูป จ.7 แสดงการเปรียบเทียบเวลาที่ใช้ในกระบวนการของแท่ละสารอีเล็กโทรไลต์



รูป จ.8 แสดงการเปรียบเทียบระยะห่างช่องว่างระหว่างอีเล็กโทรดกับผิวชั้นงานของแต่ละสารอีเล็กโทรไลต์



รูป จ.9 แสดงการเปรียบเทียบขนาดเส้นผ่านศูนย์กลางของแต่ละสารอีเล็กโทรไลต์

จากผลการทดลอง วัสดุทั้งสามชนิดที่ได้ทำการทดลองเพิ่มน้ำถือว่าสามารถทำการเจาะได้ ทั้งหมด แต่คุณภาพของรูเจาะนั้นก็แตกต่างกันไป ความหนาของวัสดุแต่ละชนิดก็แตกต่างกันจึงอาจจะไม่สามารถเปรียบเทียบกันได้ว่าวัสดุชนิดใดจะให้คุณภาพของรูเจาะที่ดีกว่ากัน แต่จากการ สังเกตชิ้นงานแล้ววัสดุสแตนเลส หนา 4000 ไมโครเมตรนั้นถือว่าได้คุณภาพผิว และรูที่ดี ดังแสดงใน รูป จ.2 ซึ่งใช้โซเดียมไนเตรทเป็นสารละลายอีเล็กโทรไลต์ ในส่วนของเวลาที่ใช้ในกระบวนการ จากรูป จ.7 อลูมิเนียมจะใช้เวลาน้อยที่สุดอาจจะเป็นเพราะมีความหนาไม่มาก วัสดุทองแดงก็ถือว่าทำการ เจาะได้เร็ว เนื่องจากมีความหนาถึง 1400 ไมโครเมตร จากรูป จ.8 ระยะห่างของช่องระหว่างอีเล็กโทร รดกับผิวชิ้นงานเป็นปัจจัยสำคัญที่มีผลต่อคุณภาพของรูเจาะ จากรูปเห็นได้ว่าวัสดุสแตนเลสนั้นจะทำ ให้เกิดช่องว่างดังกล่าวน้อยที่สุด ในส่วนของขนาดเส้นผ่านศูนย์กลางของรู จากรูป จ.9 จะเห็นได้ว่า วัสดุทองแดงมีขนาดรูเล็กกว่าวัสดุชนิดอื่น เป็นเพราะทางแดงเกิดระยะห่างช่องระหว่างอีเล็กโทรด กับผิวชิ้นงานมากที่สุด ส่งผลทำให้ชิ้นงานหลุดรื้อเกินไป แสดงเห็นว่า ช่องว่างระหว่างอีเล็กโทรดกับ ผิวชิ้นงาน นั้นก็จะส่งผลต่อขนาดของรูเจาะด้วยเช่นกัน

ประวัติผู้จัดทำ

ชื่อ - สกุล : นาย ภานุเดช ตัวงทำ
วัน เดือน ปี เกิด : 29 กรกฎาคม พ.ศ. 2536
ที่อยู่ปัจจุบัน : 144 หมู่ที่ 4 ตำบล หนองไข่ อำเภอ หล่มสัก จังหวัด เพชรบูรณ์ 67110

ประวัติการศึกษา

2558 : วศ.บ.(วิศวกรรมเครื่องกล) มหาวิทยาลัยนเรศวร
 2554 : มัธยมศึกษา โรงเรียน ผ้าเมืองวิทยาคม

ชื่อ - สกุล : นาย จักรพงศ์ จับแสงจันทร์
วัน เดือน ปี เกิด : 4 กันยายน พ.ศ. 2536
ที่อยู่ปัจจุบัน : 128 หมู่ที่ 5 ตำบล หนองกุลา อำเภอ บางระกำ จังหวัด พิษณุโลก 65140

ประวัติการศึกษา

2558 : วศ.บ.(วิศวกรรมเครื่องกล) มหาวิทยาลัยนเรศวร
 2554 : มัธยมศึกษา โรงเรียน ประชาสงเคราะห์วิทยา

ชื่อ - สกุล : นาย พฤตินัย มูลนี
วัน เดือน ปี เกิด : 28 ตุลาคม พ.ศ. 2537
ที่อยู่ปัจจุบัน : 68 หมู่ที่ 16 ตำบล ปากช่อง อำเภอ หล่มสัก จังหวัด เพชรบูรณ์ 67110

ประวัติการศึกษา

2558 : วศ.บ.(วิศวกรรมเครื่องกล) มหาวิทยาลัยนเรศวร
 2554 : มัธยมศึกษา โรงเรียน หล่มสักวิทยาคม